

อภินันทนาการ

สัญญาเลขที่ R2557B047

รายงานวิจัยฉบับสมบูรณ์



โครงการ การลดอุณหภูมิในการเตรียมผงผลึกสารจำพวกเฟอร์โรอิเล็กทริก



ผู้ช่วยศาสตราจารย์ ดร. ชมพนุช วรากคณาภูล

สังกัดภาควิชาพิสิกส์ คณะวิทยาศาสตร์ มหาวิทยาลัยนเรศวร จังหวัดพิษณุโลก

สำเนาของสมุด มากกว่าปีลับธรรมร
วันเดือนปี พ.ศ. ๑๗ ส.ค. ๒๕๕๙
เลขที่บัญชี ๑๐๑๕๐๙๔
เลขเรียกหนังสือ ๑ กบ ๔๔๒

๙๗๗
๒๕๘

สนับสนุนโดยงบประมาณแผ่นดิน

มหาวิทยาลัยนเรศวร

กิตติกรรมประกาศ

โครงการวิจัยนี้ได้รับทุนสนับสนุนงบประมาณแผ่นดินมหาวิทยาลัยนเรศวร ประจำปีงบประมาณ 2557 ทำการทำงานวิจัยสำเร็จ ลุล่วงไปด้วยดี ผู้ทำวิจัยขอขอบคุณเป็นอย่างสูงยิ่ง

ขอขอบพระคุณ ศาสตราจารย์ ดร.กาบบุษติ รุจิธนาภุล ภาควิชาพิสิกส์และวัสดุศาสตร์ คณะวิทยาศาสตร์ มหาวิทยาลัยเชียงใหม่ ที่ให้คำปรึกษาและนำทักษะในการทำงานวิจัย และขอขอบพระคุณ ศาสตราจารย์เกียรติคุณ ดร.ทวี ตันตระกิริ ที่เอื้ออำนวยความสะดวกในด้านสถานที่ อุปกรณ์และเครื่องมือในการทำวิจัย ณ ห้องปฏิบัติการวิจัยอิเล็กโทรเซรามิก คณะวิทยาศาสตร์ มหาวิทยาลัยเชียงใหม่ พร้อมให้การสนับสนุนในทุกด้าน จึงทำให้โครงการวิจัยนี้สำเร็จได้ด้วยดี

ขอขอบคุณ เจ้าหน้าที่ทุกท่าน ทั้งบุคคลที่มีส่วนเกี่ยวข้องรับโครงการวิจัยนี้ในห้องปฏิบัติการ วิจัยอิเล็กโทรเซรามิก มหาวิทยาลัยเชียงใหม่ และเจ้าหน้าที่ทุกท่านในภาควิชาพิสิกส์ ในสำนักงาน เลขานุการคณะของคณะวิทยาศาสตร์ มหาวิทยาลัยนเรศวร ที่ช่วยอำนวยความสะดวกในด้านต่างๆ

หากมีข้อผิดพลาดประการใด ผู้วิจัยขอภัย และขอรับคำแนะนำ เพื่อนำไปปรับปรุงการทำงานวิจัยต่อไป

ชุมพูนชัย วรร庄คงภูล

สิงหาคม 2558

บทคัดย่อ

รหัสโครงการ : R2557B047

ชื่อโครงการ : การลดอุณหภูมิในการเตรียมผงผลึกสารจำพวกเฟรโรอิเล็กทริก

ชื่อนักวิจัย : ผู้ช่วยศาสตราจารย์ ดร. ชุมพูนช วรangคณาภรณ

ภาควิชาฟิสิกส์ คณะวิทยาศาสตร์ มหาวิทยาลัยนเรศวร จังหวัดพิษณุโลก

E-mail Address : chompoonuchp@nu.ac.th

ระยะเวลาโครงการ : 1 ปี (1 ตุลาคม 2557 – 30 กันยายน 2558)

ในงานวิจัยเรื่องการลดอุณหภูมิในการเตรียมผงผลึกสารจำพวกเฟรโรอิเล็กทริก ได้ทำการหาเงื่อนไขที่เหมาะสมในการเตรียมผงผลึกที่มี และไม่มีสารตะกั่วเป็นองค์ประกอบ ใช้วิธีการเตรียมผงผลึกแบบมิกซ์ออกไซด์ เปรียบเทียบกับวิธีการเตรียมผงผลึกแบบเกลือหลอมเหลว โดยผงผลึกที่ไม่มีสารตะกั่วเป็นองค์ประกอบ ในงานวิจัยนี้ใช้ $(0.7)\text{BaTiO}_3-(0.3)\text{Bi}_{0.5}\text{Na}_{0.5}\text{TiO}_3$ โดยปริมาณอุณหภูมิในการเผาแคลโลไซน์เป็น 500, 600, 700, 800 และ 900°C เป็นเวลา 2 ชั่วโมง และทำการตรวจความบริสุทธิ์ของผงผลึก พบร่วมกันที่ 600 $^{\circ}\text{C}$ ขณะที่อุณหภูมิในการเผาแคลโลไซน์ในการเตรียมผงผลึกเดียวกันนี้โดยวิธีมิกซ์ออกไซด์ ให้ได้ความบริสุทธิ์ 100% เช่นเดียวกัน อยู่ที่ 900°C ดังนั้นจึงสามารถลดอุณหภูมิในการเตรียมผงผลึก $(0.7)\text{BaTiO}_3-(0.3)\text{Bi}_{0.5}\text{Na}_{0.5}\text{TiO}_3$ ได้ถึง 300°C สำหรับผงผลึกที่มีสารตะกั่วเป็นองค์ประกอบ ในงานวิจัยนี้ใช้ $\text{Pb}(\text{Zr}_{0.52}\text{Ti}_{0.48})\text{O}_3$ โดยปริมาณอุณหภูมิในการเผาแคลโลไซน์เป็น 600, 650, 700, 750 และ 800°C เป็นเวลา 2 ชั่วโมง และทำการตรวจความบริสุทธิ์ของผงผลึก พบร่วมกันที่ 750 $^{\circ}\text{C}$ ขณะที่อุณหภูมิในการเผาแคลโลไซน์ 700°C ขณะที่อุณหภูมิในการเผาแคลโลไซน์ในการเตรียมผงผลึกเดียวกันนี้โดยวิธีมิกซ์ออกไซด์ ให้ได้ความบริสุทธิ์ 100% เช่นเดียวกัน อยู่ที่ 750°C ดังนั้นจึงสามารถลดอุณหภูมิในการเตรียมผงผลึก $\text{Pb}(\text{Zr}_{0.52}\text{Ti}_{0.48})\text{O}_3$ ได้ 50°C

คำหลัก : ผงผลึก $(0.7)\text{BaTiO}_3-(0.3)\text{Bi}_{0.5}\text{Na}_{0.5}\text{TiO}_3$, ผงผลึก $\text{Pb}(\text{Zr}_{0.52}\text{Ti}_{0.48})\text{O}_3$, วิธีมิกซ์ออกไซด์, เกลือหลอมเหลว

Abstract

Project Code: R2557B047

Project Title: Reducing temperature for preparation ferroelectric powders

Researcher: Assistant Professor Dr. Chompoonuch Warangkanagool

Department of Physics, Faculty of Science, Naresuan University, Phitsanulok

E-mail Address: chompoonuchp@nu.ac.th

Project Period: 1 Year (1 October 2013 – 30 September 2014)

In this research, the reducing of temperature for preparation ferroelectric powders was investigated. Find the optimum condition for the powders of lead base and non-lead base. These powders were prepared by mixed oxide method compared with molten salt method. The powders of non-lead base in this research is $(0.7)\text{BaTiO}_3-(0.3)\text{Bi}_{0.5}\text{Na}_{0.5}\text{TiO}_3$ and calcined at 500, 600, 700, 800 and 900 °C for 2h and calculated the pure phase. It was found that, the optimum calcination temperature at 600 °C for $(0.7)\text{BaTiO}_3-(0.3)\text{Bi}_{0.5}\text{Na}_{0.5}\text{TiO}_3$ powders with molten salt method was 100% pure phase. The optimum calcination temperature at 900 °C for these powders with mixed oxide method. We can reduce 300 °C for perpaation $(0.7)\text{BaTiO}_3-(0.3)\text{Bi}_{0.5}\text{Na}_{0.5}\text{TiO}_3$ powders. For the powders of lead base in this research is $\text{Pb}(\text{Zr}_{0.52}\text{Ti}_{0.48})\text{O}_3$ and calcined at 600, 650, 700, 750 and 800 °C for 2h and calculated the pure phase. It was found that, the optimum calcination temperature at 700 °C for $\text{Pb}(\text{Zr}_{0.52}\text{Ti}_{0.48})\text{O}_3$ powders with molten salt method was 100% pure phase. The optimum calcination temperature at 750 °C for these powders with mixed oxide method. We can reduce 50 °C for perpaation $\text{Pb}(\text{Zr}_{0.52}\text{Ti}_{0.48})\text{O}_3$ powders.

Keywords : $(0.7)\text{BaTiO}_3-(0.3)\text{Bi}_{0.5}\text{Na}_{0.5}\text{TiO}_3$ powders, $\text{Pb}(\text{Zr}_{0.52}\text{Ti}_{0.48})\text{O}_3$ powders, Mixed oxide method, Molten salt method

Executive Summary

ในงานวิจัยเรื่องการลดอุณหภูมิในการเตรียมผงพลีกสารจำพวกเฟร์โรซิเล็กทริก ได้ทำการหาเงื่อนไขในการเตรียมผงพลีกที่มีแล็ป ไม่มีสารตะกั่วเป็นองค์ประกอบ ใช้วิธีการเตรียมผงพลีกแบบ มิกซ์ออกไซด์ เปรียบเทียบกับวิธีการเตรียมผงพลีกแบบเกลือหลอมเหลว โดยผงพลีกที่ไม่มีสารตะกั่ว เป็นองค์ประกอบ ในงานวิจัยนี้ใช้ $(0.7)\text{BaTiO}_3-(0.3)\text{Bi}_{0.5}\text{Na}_{0.5}\text{TiO}_3$ โดยปริมาณอุณหภูมิในการเผา แคลดไชน์เป็น 500, 600, 700, 800 และ 900°C เป็นเวลา 2 ชั่วโมง และทำการตรวจสอบความบริสุทธิ์ ของผงพลีก พบร้าอุณหภูมิการเผาแคลดไชน์ในการเตรียมผงพลีก $(0.7)\text{BaTiO}_3-(0.3)\text{Bi}_{0.5}\text{Na}_{0.5}\text{TiO}_3$ โดยวิธีการเกลือหลอมเหลวให้มีความบริสุทธิ์ 100% อยู่ที่ อุณหภูมิแคลดไชน์ 600°C ขณะที่อุณหภูมิ ในการเผาแคลดไชน์ในการเตรียมผงพลีกเดียวกันนี้โดยวิธีมิกซ์ออกไซด์ ให้ได้ความบริสุทธิ์ 100% เช่นเดียวกันอยู่ที่ 900°C ดังนั้นจึงสามารถลดอุณหภูมิในการเตรียมผงพลีก $(0.7)\text{BaTiO}_3-(0.3)\text{Bi}_{0.5}\text{Na}_{0.5}\text{TiO}_3$ ได้ถึง 300°C

สำหรับผงพลีกที่มีสารตะกั่วเป็นองค์ประกอบ ในงานวิจัยนี้ใช้ $\text{Pb}(\text{Zr}_{0.52}\text{Ti}_{0.48})\text{O}_3$ โดยปริมาณ อุณหภูมิในการเผาแคลดไชน์เป็น 600, 650, 700, 750 และ 800°C เป็นเวลา 2 ชั่วโมง และทำการ ตรวจสอบความบริสุทธิ์ของผงพลีก พบร้าอุณหภูมิการเผาแคลดไชน์ในการเตรียมผงพลีก $\text{Pb}(\text{Zr}_{0.52}\text{Ti}_{0.48})\text{O}_3$ โดยวิธีการเกลือหลอมเหลวให้มีความบริสุทธิ์ 100% อยู่ที่ อุณหภูมิแคลดไชน์ 700°C ขณะที่อุณหภูมิในการเผาแคลดไชน์ในการเตรียมผงพลีกเดียวกันนี้โดยวิธีมิกซ์ออกไซด์ ให้ได้ความ บริสุทธิ์ 100% เช่นเดียวกัน อยู่ที่ 750°C ดังนั้นจึงสามารถลดอุณหภูมิในการเตรียมผงพลีก $\text{Pb}(\text{Zr}_{0.52}\text{Ti}_{0.48})\text{O}_3$ ได้ 50°C

การเตรียมผงพลีกด้วยวิธีเกลือหลอมเหลวจะได้อุณหภูมิของผงพลีกมีขนาดเล็กกว่าการ เตรียมผงพลีกด้วยวิธีมิกซ์ออกไซด์เพียงอย่างเดียว ทั้งสารที่มีและไม่มีตะกั่วเป็นองค์ประกอบ

สารบัญเรื่อง

บทที่		หน้า
	กิจกรรมประจำ	ก
	บทคัดย่อภาษาไทย	ข
	บทคัดย่อภาษาอังกฤษ	ค
	Executive Summary	ง
	สารบัญเรื่อง	จ
	สารบัญตาราง	ช
	สารบัญรูป	ซ
	คำอธิบายสัญลักษณ์และคำย่อที่ใช้ในการวิจัย	ฉ
1	บทนำ	1
	วัตถุประสงค์ของโครงการโครงการวิจัย	1
	ขอบเขตโครงการวิจัย	2
	ประโยชน์ที่คาดว่าจะได้รับ	2
2	ทฤษฎีและงานวิจัยที่เกี่ยวข้อง	3
	2.1 อิเล็กโทรเซรามิก	3
	2.2 พโซอิเล็กทริก	5
	2.3 เฟร์โรอิเล็กทริก	7
	2.4 การบดย่อยแบบลูกบอลง	8
	2.5 แบเรียมไททาเนต	10
	2.6 ปิสมัทโซเดียมไททาเนต	11
	2.7 เลดเชอร์โคเนตไททาเนต	12
	2.8 งานวิจัยที่เกี่ยวข้อง	13
3	วิธีการวิจัย	16
	3.1 สารเคมี	16
	3.2 อุปกรณ์	16
	3.3 กระบวนการเตรียมผงผลึกผงผลึกสารเฟร์โรอิเล็กทริก โดยวิธีมิกซ์ออกไซด์ และวิธีเกลือหلامเหลว	17
	3.4 การตรวจสอบผลด้วยเทคนิคการเสี่ยงเบนของรังสีเอกซ์	28

สารบัญรูป

รูปที่		หน้า
2.1	การแบ่งกลุ่มของวัสดุใน 32 กลุ่ม	5
2.2	ปรากฏการณ์พิโซอิเล็กทริกในวัสดุ (ก) แบบตรง (ข) แบบผันกลับ	6
2.3	ความสัมพันธ์ระหว่างโพลาไรเซชันและสนามไฟฟ้าของสารเฟริร์อิเล็กทริก	8
2.4	ขนาดอนุภาคที่ได้ต่อเวลาในการบด	9
2.5	ลักษณะการหมุนของหม้อบด และการเคลื่อนที่ของลูกบด	9
2.6	โครงสร้างของสาร BaTiO ₃	11
2.7	โครงสร้างแบบเพอรอฟส์ไกต์	11
2.8	ลักษณะของค่า permittivity ของผลึก Bi _{0.5} Na _{0.5} TiO ₃ เมื่อมีการเปลี่ยนแปลงอุณหภูมิ ในการวัดที่ความถี่ 500 กิโลเฮิร์ตซ์	12
2.9	เฟล์డิโอะแกรมของสารในระบบ PZT	13
3.1	เตาอบไฟฟ้า	18
3.2	เครื่องชั่งสารความละเอียด 0.0001 กรัม	19
3.3	แท่นหมุนพร้อมมอเตอร์สำหรับหมุนกระปอง เพื่อบดย่อยผสมสารแบบ Ball milling	19
3.4	เตาเผาให้ความร้อนแบบมีเครื่องคนสารตัวย้ายแม่เหล็ก	20
3.5	เตาไฟฟ้าอุณหภูมิสูงสำหรับเผาแคลไซน์	20
3.6	แผนภาพการเผาแคลไซน์	21
3.7	แผนผังการเตรียมผงผลึก (0.7)BaTiO ₃ -(0.3)Bi _{0.5} Na _{0.5} TiO ₃ โดยวิธีมิกซ์ออกไซด์ และปรอุณหภูมิการเผาแคลไซน์	22
3.8	แผนผังการเตรียมผงผลึก (0.7)BaTiO ₃ -(0.3)Bi _{0.5} Na _{0.5} TiO ₃ โดยวิธีเกลือหลอมเหลว และปรอุณหภูมิการเผาแคลไซน์	23
3.9	แผนผังการเตรียมผงผลึก Pb(Zr _{0.52} Ti _{0.48})O ₃ โดยวิธีมิกซ์ออกไซด์ และปรอุณหภูมิการเผาแคลไซน์	25
3.10	แผนผังการเตรียมผงผลึก Pb(Zr _{0.52} Ti _{0.48})O ₃ โดยวิธีเกลือหลอมเหลว และปรอุณหภูมิการเผาแคลไซน์	26
3.11	การเลี้ยวเบนของรังสีเอกซ์จากระนาบของอะตอม	28
3.12	หลักการตรวจสอบเฟลส์ด้วยเทคนิค XRD และตัวอย่างรูปแบบการเลี้ยวเบนของรังสีเอกซ์	29

สารบัญรูป (ต่อ)

รูปที่		หน้า
4.18	ภาพถ่ายด้วยกล้องจุลทรรศน์แบบส่องกราดของผงผลึก $(0.7)\text{BaTiO}_3 - (0.3)\text{Bi}_{0.5}\text{Na}_{0.5}\text{TiO}_3$ ที่เตรียมโดยวิธีเกลือหลอมเหลว และเผาแคลไชน์ที่อุณหภูมิ 800°C เป็นเวลา 2 ชั่วโมง	50
4.19	ภาพถ่ายด้วยกล้องจุลทรรศน์แบบส่องกราดของผงผลึก $(0.7)\text{BaTiO}_3 - (0.3)\text{Bi}_{0.5}\text{Na}_{0.5}\text{TiO}_3$ ที่เตรียมโดยวิธีเกลือหลอมเหลว และเผาแคลไชน์ที่อุณหภูมิ 900°C เป็นเวลา 2 ชั่วโมง	50
4.20	ขนาดของอนุภาคเฉลี่ยของผงผลึก $(0.7)\text{BaTiO}_3 - (0.3)\text{Bi}_{0.5}\text{Na}_{0.5}\text{TiO}_3$ ที่เตรียมโดยวิธีเกลือหลอมเหลว และเผาแคลไชน์ที่อุณหภูมิ $600-900^\circ\text{C}$ เป็นเวลา 2 ชั่วโมง	52
4.21	ภาพถ่ายด้วยกล้องจุลทรรศน์แบบส่องกราดของผงผลึก $\text{Pb}(\text{Zr}_{0.52}\text{Ti}_{0.48})\text{O}_3$ ที่เตรียมโดยวิธีมิกซ์ ออกไซด์ และเผาแคลไชน์ที่อุณหภูมิ 600°C เป็นเวลา 2 ชั่วโมง	53
4.22	ภาพถ่ายด้วยกล้องจุลทรรศน์แบบส่องกราดของผงผลึก $\text{Pb}(\text{Zr}_{0.52}\text{Ti}_{0.48})\text{O}_3$ ที่เตรียมโดยวิธีมิกซ์ ออกไซด์ และเผาแคลไชน์ที่อุณหภูมิ 650°C เป็นเวลา 2 ชั่วโมง	54
4.23	ภาพถ่ายด้วยกล้องจุลทรรศน์แบบส่องกราดของผงผลึก $\text{Pb}(\text{Zr}_{0.52}\text{Ti}_{0.48})\text{O}_3$ ที่เตรียมโดยวิธีมิกซ์ ออกไซด์ และเผาแคลไชน์ที่อุณหภูมิ 700°C เป็นเวลา 2 ชั่วโมง	54
4.24	ภาพถ่ายด้วยกล้องจุลทรรศน์แบบส่องกราดของผงผลึก $\text{Pb}(\text{Zr}_{0.52}\text{Ti}_{0.48})\text{O}_3$ ที่เตรียมโดยวิธีมิกซ์ ออกไซด์ และเผาแคลไชน์ที่อุณหภูมิ 750°C เป็นเวลา 2 ชั่วโมง	55
4.25	ภาพถ่ายด้วยกล้องจุลทรรศน์แบบส่องกราดของผงผลึก $\text{Pb}(\text{Zr}_{0.52}\text{Ti}_{0.48})\text{O}_3$ ที่เตรียมโดยวิธีมิกซ์ ออกไซด์ และเผาแคลไชน์ที่อุณหภูมิ 800°C เป็นเวลา 2 ชั่วโมง	55
4.26	ขนาดของอนุภาคเฉลี่ยของผงผลึก $\text{Pb}(\text{Zr}_{0.52}\text{Ti}_{0.48})\text{O}_3$ ที่เตรียมโดยวิธีมิกซ์ ออกไซด์ และเผาแคลไชน์ที่อุณหภูมิ $700, 750$ และ 800°C เป็นเวลา 2 ชั่วโมง	57

คำอธิบายสัญลักษณ์และคำย่อที่ใช้ในการวิจัย

0.7BT-0.3BNT หรือ $(0.7)\text{BaTiO}_3-(0.3)\text{Bi}_{0.5}\text{Na}_{0.5}\text{TiO}_3$ คือ สารประกอบแบบเรียมไททาเนต-บิทมัสโซเดียมไททาเนต ที่มีอัตราส่วนจำนวนโมลของ BaTiO_3 : $\text{Bi}_{0.5}\text{Na}_{0.5}\text{TiO}_3$ เป็น 7:3

PZT หรือ $\text{Pb}(\text{Zr}_{0.52}\text{Ti}_{0.48})\text{O}_3$ คือ สารประกอบผลิตเซอร์โคเนตไททาเนต ที่มีอัตราส่วนของ $\text{Pb}:\text{Zr}:\text{Ti}$ เป็น 1:0.52:0.48

XRD คือ การเลี้ยวเบนของรังสีเอกซ์

SEM คือ กล้องจุลทรรศน์อิเล็กตรอนแบบส่องกราด



บทที่ 1

บทนำ

สารพิโซอิเล็กทริกที่แสดงสมบัติเฟร์โรอิเล็กทริกที่มีโครงสร้างแบบเพอร์อโอล์ฟไกเต้ เช่น เลดเซอร์โคเนตไทเทเนต (PZT) เลดแอลนาโนเมียมเซอร์โคเนตไทเทเนต (PLZT) แบเรียมไทเทเนต (BT) เลดไทเทเนต (PT) เลดแมกนีเซียมโนโนเบต (PMN) และเลดซิงค์โนโนเบต (PZN) เป็นสารประกอบที่นิยมนำมาใช้ในการอุตสาหกรรมทางด้านอุปกรณ์อิเล็กทรอนิกส์ เนื่องจากเซรามิกเหล่านี้มีสมบัติที่สามารถเปลี่ยนพลังงานกลไปเป็นพลังงานไฟฟ้าและเปลี่ยนพลังงานไฟฟ้าไปเป็นพลังงานกลได้ดี มีค่าคงที่โดยอิเล็กทริกสูงในช่วงอุณหภูมิที่กว้าง [1-3] แต่สารประกอบที่มีค่าคงที่โดยอิเล็กทริกสูงนั้นส่วนใหญ่จะมีตะกั่ว (Pb) เป็นองค์ประกอบหลัก ซึ่งจะทำให้เกิดมลพิษกับสิ่งแวดล้อม เนื่องจากเกิดตะกั่วออกไซด์ (PbO) เกิดขึ้น และมีการระเหยของตะกั่วออกไซด์ได้ง่าย ในกระบวนการเตรียมสาร จากการตระหนักถึงมลพิษอันเกิดจากสารที่มีตะกั่วเป็นองค์ประกอบดังกล่าว นักวิจัยจากทุกประเทศจึงเริ่มหันมาให้ความสนใจในการเตรียมสารประกอบเพร์โรอิเล็กทริกที่ไม่ใช้สารตะกั่วเป็นองค์ประกอบ เช่นสารประกอบในระบบแบเรียมไทเทเนต (BT) [4] แต่สารประกอบนี้ยังให้ค่าคงที่โดยอิเล็กทริกที่สูงไม่มากนักเมื่อเทียบกับในระบบที่มีตะกั่วเป็นองค์ประกอบ และในกระบวนการเตรียมสารจำพวกเพร์โรอิเล็กทริก เหล่านี้ยังใช้อุณหภูมิสูงในการเตรียมผงสีกอยู่ โดยสารประกอบเพร์โรอิเล็กทริกที่มีตะกั่วเป็นองค์ประกอบจะมีอุณหภูมิในการเผาแคลลใจน์ส่วนใหญ่สูงกว่า 700°C ขึ้นไป [5-7] ส่วนสารประกอบเพร์โรอิเล็กทริกที่ไม่มีตะกั่วเป็นองค์ประกอบนั้นจะมีอุณหภูมิในการเผาแคลลใจต์สูงกว่า 800°C บางชนิดมีอุณหภูมิในการเผาแคลลใจน์ถึง 1000°C ขึ้นไป เช่นสารเพร์โรอิเล็กทริกในระบบแบเรียมไอกอนโนโนเบต มีการเผาแคลลใจน์ ณ อุณหภูมิ 1200°C [8,9] และใช้เวลาเผาแซนนิถึง 4 ชั่วโมง สำหรับงานวิจัยนี้ผู้วิจัยสนใจที่จะศึกษาการเตรียมผงผลึกของสารจำพวกเพร์โรอิเล็กทริกทั้งแบบมีและไม่มีตะกั่วเป็นองค์ประกอบ โดยใช้วิธีเตรียมแบบเกลือหลอมเหลว (ซึ่งเป็นวิธีการทางเคมีอย่างหนึ่ง แต่สามารถนำมาใช้กับการเตรียมที่มีปริมาณมากๆ ได้ เช่นเดียวกับกับวิธีมิกซ์ออกไซต์อย่างเดียว) เพื่อลดอุณหภูมิในการเผาแคลลใจน์ โดยหาเงื่อนไขที่เหมาะสมในการเผาแคลลใจน์ (ทั้งอุณหภูมิ เวลาเผาแซน และอัตราการให้ความร้อน) ให้ได้ผลลัพธ์ในระบบเพร์โรอิเล็กทริกที่บริสุทธิ์ เปรียบเทียบกับวิธีมิกซ์ออกไซต์อย่างเดียว

วัตถุประสงค์ของโครงการวิจัย

- เพื่อศึกษาวิธีการเตรียมผงผลึกสารเฟริร์โรอิเล็กทริกหั้งแบบมีและไม่มีตะกั่วเป็นองค์ประกอบหลัก ด้วยวิธีเกลือหลอมเหลว และวิธีมิกซ์ออกไซด์อย่างเดียว โดยผงผลึกที่มีตะกั่วเป็นองค์ประกอบหลักที่ใช้ในการวิจัยคือ $PbZr_{0.52}Ti_{0.48}O_3$ และผงผลึกที่ไม่มีตะกั่วเป็นองค์ประกอบหลักที่ใช้ในการวิจัยคือ $(0.7)BaTiO_3-(0.3)Bi_{0.5}Na_{0.5}TiO_3$
- เพื่อหาเงื่อนไขที่เหมาะสมในการเตรียมผงผลึกสารเฟริร์โรอิเล็กทริกบางตัวหั้งแบบมีและไม่มีตะกั่วเป็นองค์ประกอบหลัก
- เพื่อศึกษาโครงสร้างเฟสและโครงสร้างจุลภาคของผงผลึกสารเฟริร์โรอิเล็กทริกบางตัวหั้งแบบมีและไม่มีตะกั่วเป็นองค์ประกอบหลัก
- เพื่อนำผลการวิจัยที่ได้ไปตีพิมพ์ในวารสารวิชาการระดับชาติ หรือนานาชาติ รวมทั้งการเสนอผลงานแก่นักวิชาการหั้งในและต่างประเทศ

ขอบเขตของโครงการวิจัย

- ศึกษาวิธีการเตรียมผงผลึกโดยวิธีเกลือหลอมเหลว และทำการเตรียมผงผลึกสารเฟริร์โรอิเล็กทริกบางตัวหั้งแบบมีและไม่มีตะกั่วเป็นองค์ประกอบหลัก โดยวิธีเกลือหลอมเหลว และโดยวิธีมิกซ์ออกไซด์อย่างเดียว โดยผงผลึกที่มีตะกั่วเป็นองค์ประกอบหลักที่ใช้ในการวิจัยคือ $PbZr_{0.52}Ti_{0.48}O_3$ และผงผลึกที่ไม่มีตะกั่วเป็นองค์ประกอบหลักที่ใช้ในการวิจัยคือ $(0.7)BaTiO_3-(0.3)Bi_{0.5}Na_{0.5}TiO_3$
- แปรค่าอุณหภูมิ ในการเผาแคลลไซน์
- ศึกษาโครงสร้างเฟส และร้อยละเฟสบริสุทธิ์
- หาเงื่อนไขที่เหมาะสมในการเผาแคลลไซน์ผงผลึกสารเฟริร์โรอิเล็กทริกบางตัวหั้งแบบมีและไม่มีตะกั่วเป็นองค์ประกอบหลัก โดยวิธีเกลือหลอมเหลว และโดยวิธีมิกซ์ออกไซด์อย่างเดียว

ประโยชน์ที่คาดว่าจะได้รับ

- สามารถพัฒนาองค์ความรู้ในการเตรียมผงผลึกสารประกอบเฟริร์โรอิเล็กทริกให้มีอุณหภูมิลดลง
- มีความร่วมมือในการทำวิจัย หั้งในประเทศและต่างประเทศ

บทที่ 2

ทฤษฎีและงานวิจัยที่เกี่ยวข้อง

กระบวนการผลิตเซรามิกเพื่อใช้งานทางด้านไฟฟ้ามีน้ำเริ่มตั้งแต่การเตรียมผงผลึกให้มีความบริสุทธิ์ การขึ้นรูปให้เป็นเม็ดหรือชิ้นงานที่ต้องการ ไปจนถึงการเผาซินเตอร์เพื่อเป็นเซรามิก ขั้นตอนเหล่านี้จะมีปัจจัยต่างๆ เข้ามาเกี่ยวข้อง ตั้งแต่สารตั้งต้น วิธีการเตรียมผงผลึก อัตราการให้ความร้อน อุณหภูมิในการเผาแคลริซ์ และในการเผาซินเตอร์ ความดันในการอัด ขึ้นรูป ตลอดจนตั้งต้นที่ใช้เพื่อให้เซรามิกในระบบที่ต้องการศึกษามีสมบัติที่เปลี่ยนแปลงไปตาม ความต้องการใช้งาน ซึ่งปัจจัยต่างๆ ที่กล่าวมานี้มีผลทำให้ได้เซรามิกที่มีคุณภาพแตกต่างกัน ตั้งนั้นขั้นตอนและเงื่อนไขต่างๆ ในกระบวนการผลิตเซรามิกจึงมีบทบาทสำคัญมากในการได้มา ซึ่งเซรามิกที่ใช้งานทางไฟฟ้าที่มีคุณภาพดี เพื่อใช้งานตามความต้องการ สำหรับในงานวิจัยนี้จึง มุ่งเน้นที่จะเตรียมผงผลึกที่มีความบริสุทธิ์สูง โดยเน้นการได้มาซึ่งการลดอุณหภูมิใน กระบวนการเตรียมสารเฟริโออิเล็กทริกบางตัวทั้งแบบมีและไม่มีตะกั่วเป็นองค์ประกอบหลัก เพื่อหาเสื่อมในเวลาสั้นในการเตรียมผงผลึกเหล่านี้

ในบทนี้จะกล่าวถึงอิเล็กโทรเซรามิก พิโซอิเล็กทริก เฟริโออิเล็กทริก การบดย่อยแบบ ลูกบดล แบบเรียบไทยเนต ปิสมัทโซเดียมไทยเนต เลดเซอร์โคเนตไทยเนต และงานวิจัย บางส่วนที่เกี่ยวข้องกับ BT-BNT และ PZT ดังรายละเอียดต่อไปนี้

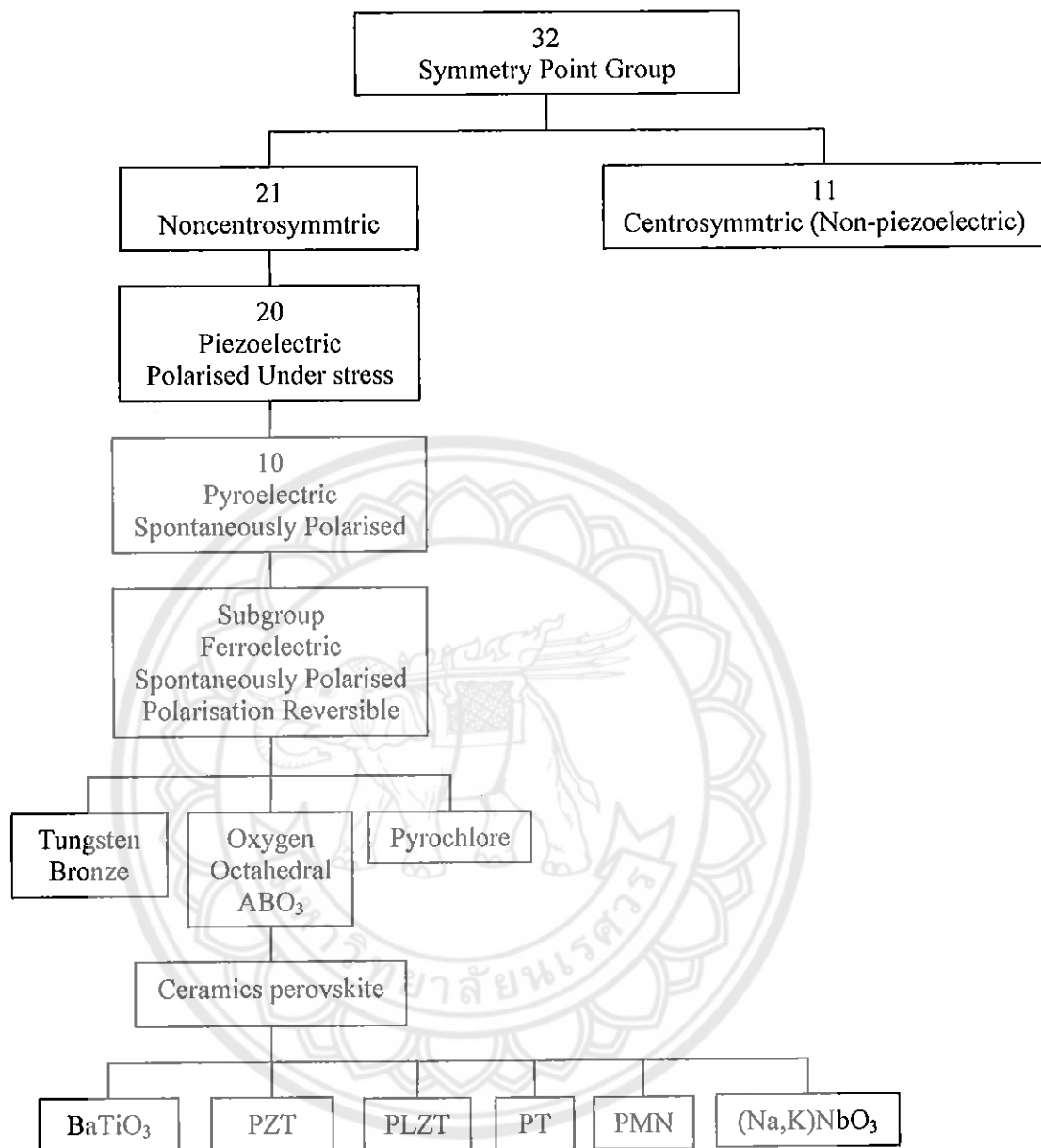
2.1 อิเล็กโทรเซรามิก (Electroceramics)

อิเล็กโทรเซรามิก เป็นวัสดุที่อยู่ในกลุ่มเซรามิกชั้นสูง (advanced ceramics) ที่มุ่งเน้น เรื่องสมบัติทางไฟฟ้าและแม่เหล็กเป็นหลัก ตัวอย่างเซรามิกในกลุ่มนี้คือเซรามิกพิโซอิเล็กทริก เช่น เซรามิกเลดเซอร์โคเนตไทด์เนต (lead zirconatetitanate, $Pb(Zr,Ti)O_3$) สำหรับใช้ทำ อุปกรณ์โซนาร์ได้ผิวน้ำ ทำหน้าเป็นหั้งตัวให้กำเนิดและตรวจจับสัญญาณ เซรามิกไดอิเล็กทริก เช่นแบบเรียบไทยเนต (barium titanate, $BaTiO_3$) สำหรับใช้ทำตัวเก็บประจุไฟฟ้า และเซรามิก แม่เหล็ก (magnetic ceramics) เช่นเฟอร์ไรต์ (ferrite, Fe_3O_4) ซึ่งใช้เป็นวัสดุบันทึกข้อมูลเป็นต้น

ระบบผลึกของวัสดุเป็นปัจจัยกำหนดสมบัติของอิเล็กโทรเซรามิกนักผลึกศาสตร์จึงแบ่ง ผลึกเป็น 32 กลุ่มแยกออกเป็น 2 ประเภทคือพวงที่มีศูนย์กลางของลักษณะสมมาตร (centrosymmetric) มี 11 กลุ่มและพวงที่ไม่มีสมมาตรของศูนย์กลาง (non centro-symmetric) มี 21 กลุ่ม โดยพบว่ามี 20 กลุ่มเป็นพวงพิโซอิเล็กทริก และมี 10 กลุ่มจาก 20 กลุ่มนี้เป็นพวงไฟ โรอิเล็กทริก (pyroelectric) ซึ่งวัสดุจะเกิดโพลาไรเซชันแบบถาวรในช่วงอุณหภูมินี้ๆ โดย

พบว่าวัสดุเฟร์โรอิเล็กทริกนั้นเป็นกลุ่มอย่างของสารไฟโรอิเล็กทริกดังรูป 2.1 เมื่อจากการไม่มีสมมاثรของศูนย์กลางเป็นสภาวะสำคัญทำให้เกิดพิโซอิเล็กทริกเนื่องจากแรงกลที่ให้กับวัสดุเป็นแบบไม่มีสมมاثรของศูนย์กลาง และไม่สามารถทำให้เกิดการโพลาไรเซชัน เช่นการเกิดโพลาไรเซชันแบบเวกเตอร์ (vector-quality-like-polarization) นอกจากว่าวัสดุนั้นจะไม่มีสมมاثรของศูนย์กลางอยู่เอง ซึ่งทำให้ผลกระทบของการเคลื่อนที่ของประจุบวกและลบสามารถสร้างได้โดยไฟฟ้า (electric dipole) หรือที่เรียกว่าเกิดโพลาไรเซชัน (polarization) ในวัสดุไฟโรอิเล็กทริกพัฒนาการเกิดโพลาไรเซชันด้วยตัวเอง และทำให้เกิดสภาพมีขั้วตัวในโครงสร้างการเกิดโพลาไรเซชันมีการเปลี่ยนแปลงตามอุณหภูมิ ดังนั้นจึงเรียกว่าสภาพไฟโรอิเล็กทริกซึ่งหมายถึงสภาพที่มีแกนขั้วแบบเฉพาะภายในระบบผลึกค่าไดโอล莫เมนต์ (dipole moment) ทั้งหมดแปรผันกับอุณหภูมิ ทำให้เกิดการเปลี่ยนแปลงเครื่องหมายของกระแสที่ได้จากผลึกส่วนวัสดุชนิดเฟร์โรอิเล็กทริกนั้นจะคล้ายกับวัสดุไฟโรอิเล็กทริกในด้านสามารถเกิดขึ้นได้เอง ดังนั้นจึงแยกวัสดุเฟร์โรอิเล็กทริกออกจากสารอื่นคือสามารถเกิดโพลาไรเซชันเองได้ และโพลาไรเซชันสามารถสลับทิศทางได้



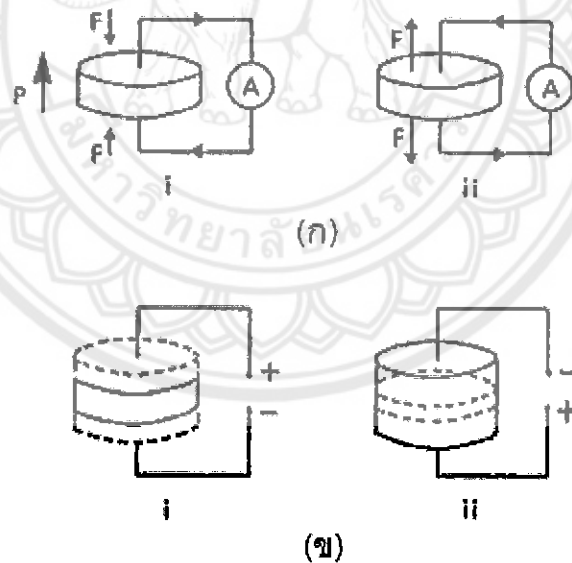


รูป 2.1 การแบ่งกลุ่มของวัสดุใน 32 กลุ่ม [10]

2.2 พิโซอิเล็กทริก (Piezoelectric)

ในปี ค.ศ. 1880 ชองส์ และปีแอร์ ครูรี (Jacques and Pierre Curie) ได้ค้นพบปรากฏการณ์พิโซอิเล็กทริก (piezoelectric effect) ในผลึกของสารเชิงเดี่ยว (single crystal compound) เช่นควอทซ์ (quartz), ซิงค์เบลนด์ (zincblende) และทัวมาลีน (tourmaline) คำว่า “พิโซอิเล็กทริก” มาจากภาษากรีกซึ่งแปลว่ากด ดังนั้นปรากฏการณ์พิโซอิเล็กทริกจึงเป็นปรากฏการณ์ที่แสดงถึงการสร้างประจุไฟฟ้าให้เกิดขึ้นขึ้นเป็นผลมาจากการกดอัดเชิงกล

(mechanical force) หรืออีกนัยหนึ่งคือ เป็นปรากฏการณ์ที่ใช้เรียกวิธีการเกิดกระบวนการแยกชั่วไฟฟ้า (electric polarization) ขึ้นในวัสดุเมื่อได้รับความเครียดเชิงกล (mechanical strain) ซึ่ง การแยกชั่วไฟฟ้าที่เกิดขึ้นนี้ จะเป็นสัดส่วนกับความเครียดที่วัสดุนั้นได้รับไม่สามารถเกิดการโพลาไรเซชันได้ด้วยตัวเองเมื่อกับวัสดุเฟอร์โรอิเล็กทริก และโพโรอิเล็กทริก สภาพพิโซอิเล็กทริกเกิดได้ 2 แบบ คือ ถูกแรงกลมภาระทำให้เกิดความเด่น (stress) ขึ้น เช่นแรงกดหรือแรงอัดจะส่งผลให้เกิดการแยกชั่วไฟฟ้า และเกิดการสะสมของประจุบวก และลบบนผิวของวัสดุโดยเรียกปรากฏการณ์แบบนี้ว่า ปรากฏการณ์ตรง (direct effect) ส่วนผิวด้านไหนของวัสดุจะมีประจุบวก หรือลบที่ขึ้นกับแรงเด่นที่ให้เข้าไปกับวัสดุว่าเป็นแบบแรงดึง (tensile stress) หรือแรงกด (compressive stress) ในทำนองกลับกัน เมื่อสารได้รับสนามไฟฟ้าทำให้เกิดการยืดหดตัวคือปรากฏการณ์ย้อนกลับ (converse effect) หรือปรากฏการณ์มอเตอร์ (motor effect) ดังรูป 2.2 จากปรากฏการณ์ข้างต้นนี้ พบว่าปริมาณของโพลาไรเซชันจะขึ้นกับขนาดของความเด่นที่ให้กับสารและประจุไฟฟ้าที่เกิดขึ้นจะมีค่าขึ้นอยู่กับชนิดของแรงที่กระทำ เช่นเป็นแรงกดหรือแรงดึงเป็นต้น [4, 10]



รูป 2.2 ปรากฏการณ์พิโซอิเล็กทริกในวัสดุ (g) แบบตรง (h) แบบผันกลับ

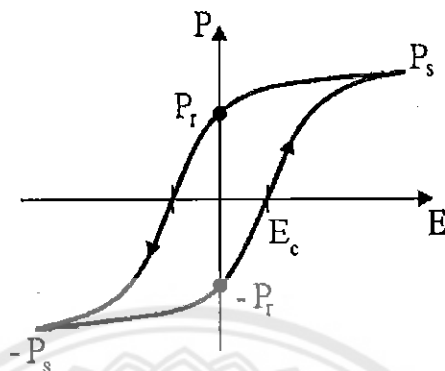
สมบัติตั้งกล่าวอาจจะพบในสารพิโซอิเล็กทริกเซรามิก ซึ่งก็คือเฟอร์โรอิเล็กทริกที่ผ่านการทำข้าว (Poling) คือการให้สนามไฟฟ้ากระแสตรงให้ชั่วไฟฟ้าที่เรียงตัวกันในทิศทางต่างๆ ในหลายๆ เกรนเน็น ให้หันไปในทิศทางเดียวกัน ซึ่งความสมบูรณ์ของการทำข้าวขึ้นอยู่กับโครงสร้างของวัสดุได้ด้วย เช่นเฟสเตรตระgonอลทำได้ถึงร้อยละ 83 เฟสромบอสกอร์ร้อยละ 86 และ

สำหรับเฟสออร์ทรอเมปิกนั้นมากกว่าร้อยละ 91 ซึ่งเป็นค่าที่สูงเมื่อเทียบกับค่าที่ได้จากการผลักเดี่ยวน้ำที่มีโดเมนเดี่ยว (single domain) ซึ่งถือว่าเป็นวัสดุให้ค่าทางพิโซไซเล็กทริก และค่าคงที่ไดอิเล็กทริกที่ดีที่สุด กล่าวคือเซรามิกทุกชนิดที่ผ่านกระบวนการเผาชิมเตอร์แล้วจะมีสภาพโดยรวม มีสมบัติเหมือนกันทุกทิศทาง (isotropic) เมื่อผ่านการทำข้าวทำให้วัสดุนั้นเป็นสารเฟริโอเล็กทริกและเป็นสารพิโซไซเล็กทริกด้วยเช่นกัน

2.3 เฟรโรอิเล็กทริก (Ferroelectrics)

สารเฟรโรอิเล็กทริก (ferroelectrics) จัดอยู่ในผลึกประเภทพารกที่ไม่มีสมมาตรของศูนย์กลาง (non centro-symmetric) โดยมี 21 กลุ่ม พบว่ามี 20 กลุ่ม เป็นพวกพิโซอิเล็กทริก ดังนั้นจึงกล่าวได้ว่าวัสดุเฟรโรอิเล็กทริกจะเป็นสารพิโซอิเล็กทริก แต่วัสดุพิโซอิเล็กทริกไม่จำเป็นต้องเป็นสารเฟรโรอิเล็กทริก สามารถเกิดโพลาไวเรชันเกิดขึ้นได้เอง (spontaneous polarization) ในวัสดุนั้นคือข้าไฟฟ้ามีการจัดเรียงไปในทิศทางเดียวกัน ถึงแม้จะไม่มีสนามมากกระทำก็ตาม ทั้งนี้เนื่องจากข้าไฟฟ้าที่เกิดขึ้นภายในวัสดุสามารถส่งแรงที่มีขนาดสูงมากพอที่จะทำให้ข้าไฟฟ้าที่อยู่ใกล้เคียงจัดเรียงในทิศทางเดียวกัน และวัสดุสามารถกลับทิศ (reverse) โดยการให้สนามไฟฟ้าเข้าไปโดยที่สนามไฟฟ้านั้นจะต้องไม่มีค่าสูงไปกว่าค่า dielectric breakdown ซึ่งเป็นค่าสนามไฟฟ้าสูงสุดก่อนที่วัสดุนั้นจะลายเป็นตัวนำไฟฟ้า (electrical conductor) วัสดุเฟรโรอิเล็กทริกมีการเปลี่ยนแปลงกับความถี่ของสนามไฟฟ้า และอุณหภูมิอีกด้วย ถือว่าเป็นวัสดุโดยอิเล็กทริกที่มีค่าคงที่โดยอิเล็กทริกมากกว่า 1000 เป็นวัสดุที่มีสมบัติพิเศษที่ถูกนำมาใช้งานอย่างกว้างขวาง ในที่นี้จะกล่าวถึงการนำวัสดุเฟรโรอิเล็กทริกมาใช้ประโยชน์เฉพาะในมุมมองของการเป็นวัสดุโดยอิเล็กทริก เช่น แบตเตอรี่ BaTiO₃ ซึ่งเป็นเซรามิกชนิดแรกที่มีการดัชนพฤติกรรมเฟรโรอิเล็กทริกนำมาใช้งานเป็นตัวเก็บประจุ และถือว่าเป็นแบบจำลองในอุดมคติที่สามารถนำไปใช้ประโยชน์ทางไฟฟ้าจากโครงสร้างผลึกและโครงสร้างทางจลภาค เมื่อมีการนำสารโดยอิเล็กทริกมาวางในสนามไฟฟ้าจะเกิดการโพลาไวเรชันขึ้นภายในสารนั้น และเมื่อลดสนามไฟฟ้าที่ให้จนกลับเป็นศูนย์ โพลาไวเรชันในสารโดยอิเล็กทริกก็จะกลับเป็นศูนย์ทันที แต่มีสารบางอย่างเมื่อเราให้สนามไฟฟ้าอยู่นานอกเข้าไปทำให้เกิดมีการโพลาไวเรชัน และเมื่อลดสนามไฟฟ้าลงจนเป็นศูนย์ โพลาไวเรชันจะไม่เป็นศูนย์ในสารโดยอิเล็กทริก แต่มากจะเป็นศูนย์เมื่อ $E = -E_c$ (เมื่อ $-E_c$ = ค่าสนามลบล้างโพลาไวเรชัน) ทำให้เกิดวงของไฮสเตโรเชส (hysteresis loop) ซึ่งเป็นลักษณะของสารเฟรโรอิเล็กทริกดังรูป 2.3 แสดงว่าในสารนี้มีโมเมนต์คู่ข้าวธรรมอยู่แม้ไม่มีการให้สนามไฟฟ้า ทำให้มีการลดอุณหภูมิแทน โดยปกติสถานะเฟรโรอิเล็กทริกไม่ปราฏที่อุณหภูมิสูงกว่าอุณหภูมิที่ແนน่อนค่าหนึ่ง ที่เรียกว่าอุณหภูมิ

วิกฤต (T_c) ณ อุณหภูมิที่สูงกว่าอุณหภูมิวิกฤตนั้น ผลึกจะอยู่ในสถานะพาราอิเล็กทริก (paraelectric)



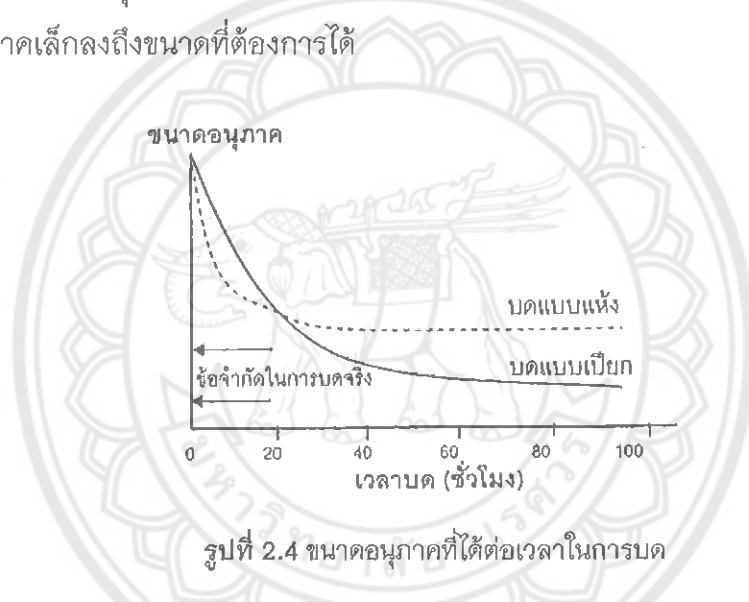
รูป 2.1 ความสัมพันธ์ระหว่างโพลาโรเซ็นและสนามไฟฟ้าของสารเฟริร์โรอิเล็กทริก [11]

2.4 การบดย่อยแบบลูกบอลง

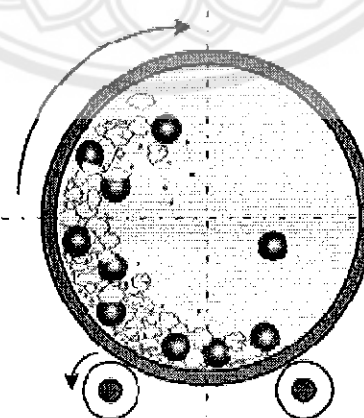
เม็ดบอลสามารถบดอนุภาคผงได้ละเอียดน้อยกว่า 10 ไมครอน เทคนิคการบดย่อยแบบนี้ยังไม่เหมาะสมที่จะใช้บดหินในสภาพเปียกและแห้ง กระบวนการบดย่อยด้วยลูกบอลงนี้ค่อนข้างจะซับซ้อนที่จะหาทฤษฎีมาอธิบาย อัตราการบดจะขึ้นกับหลายปัจจัย รวมทั้งตัวแปรในการบด เช่น ขนาด ความเร็ว และจำนวนของเม็ดบด ขึ้นกับสมบัติของเม็ดบด เช่น ขนาด ความแข็ง และรูปร่าง และสุดท้ายจะขึ้นกับสมบัติของอนุภาคที่บดด้วย โดยทั่วไปการบดด้วยเม็ดบอลงที่ใช้ความเร็วต่ำ เนื่องมาจาก การใช้เม็ดบดขนาดใหญ่ ทั้งนี้ เพราะพลังงานกลที่ให้กับอนุภาคจะอยู่ในรูปของพลังงานศักย์ (potential energy) ในขณะที่การบดที่กระทำที่ความเร็วสูงมาก เนื่องจากเม็ดบอลขนาดเล็ก พลังงานที่ให้กับอนุภาคของการบดแบบนี้จะอยู่ในรูปของพลังงาน化 (kinetic energy) สำหรับขนาดของเม็ดบดเฉพาะขนาดหนึ่งที่มีมวลเป็นสัดส่วนกับความหนาแน่น เม็ดบดที่ใช้ควรจะทำมาจากวัสดุที่มีความหนาแน่นสูงมากที่สุดเท่าที่จะเป็นไปได้ แต่ในทางปฏิบัติการเลือกใช้เม็ดบดนั้นมักจะถูกจำกัดด้วยราคาที่ค่อนข้างสูง

นอกจากนี้ขนาดของเม็ดบดก็มีความสำคัญที่จะต้องพิจารณาด้วย โดยปกติแล้วเม็ดบดที่มีขนาดเล็กจะดีกว่าเม็ดบดขนาดใหญ่ เนื่องจากที่ปริมาตรเดียวกันจะได้จำนวนเม็ดบดมากกว่าถ้าเม็ดบดยิ่งมีขนาดเล็กลง ถ้าสมมติให้อัตราการบดขึ้นกับจำนวนจุดสัมผัสระหว่างเม็ดบolg กับอนุภาคผง และในขณะที่จำนวนจุดสัมผasn นี้ขึ้นกับพื้นที่ผิวของเม็ดบด ดังนั้นอัตราการบดจะเพิ่มขึ้นเมื่อพื้นที่ผิวเพิ่มขึ้น นั่นก็คือ ขนาดของเม็ดบดเล็กลงนั่นเอง แต่อย่างไรก็ตามเม็ดบดก็ไม่ควรจะมีขนาดเล็กจนเกินไป ทั้งนี้อาจทำให้เม็ดบดไม่มีแรงมากพอที่จะทำให้ออนุภาคผง

แตกได้ ยิ่งไปกว่านี้อัตราการบดยังขึ้นกับขนาดของอนุภาคผงตัวอย่าง อัตราการบดนี้จะลดลงถ้าอนุภาคมีขนาดเล็กลง ยิ่งถ้าทำการบดไปเรื่อยๆ และอนุภาคยิ่งละเอียดมาก จนมีขนาดประมาณ 1 ไมครอน จะทำให้การบดเป็นไปได้ยากยิ่งขึ้น ได้มีการวิจัยถึงขีดจำกัดในการบดแสดงดังรูปที่ 2.4 พนงว่าขีดจำกัดนี้จะขึ้นกับหลายปัจจัย โดยปัจจัยที่สำคัญคือ แนวโน้มของ การเกิดการเกาะกลุ่มของอนุภาคที่สัมพันธ์กับขนาดอนุภาค การบดจะลดลงเมื่อขนาดของอนุภาคลดลง และทำให้ในอนุภาคมีขนาดเล็กลงและปริมาณลดลงเมื่ออนุภาคเล็กลง ซึ่งจะทำให้อนุภาคมีความแข็งแรงมากขึ้น เพื่อลดข้อจำกัดของขนาดอนุภาคต่อการบด ควรใช้การบดแบบเปียกแทนการบดแบบแห้ง โดยการใช้สารช่วยกระจาย (dispersing agent) ในระหว่างการบด และเมื่อขนาดอนุภาคเล็กลงระดับหนึ่ง อาจจะทำการเปลี่ยนเทคนิคการบดย่อย เพื่อให้ได้ขนาดอนุภาคเล็กลงถึงขนาดที่ต้องการได้



รูปที่ 2.4 ขนาดอนุภาคที่ได้ต่อเวลาในการบด

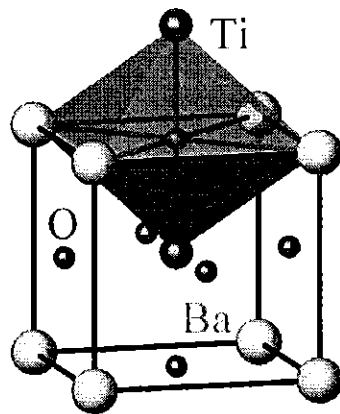


รูปที่ 2.5 ลักษณะการหมุนของหม้อบด และการเคลื่อนที่ของสูญบด [12]

รูปที่ 2.5 แสดงลักษณะการหมุนของหม้อบด ซึ่งหม้อบดจะบรรจุเม็ดบด วัสดุที่ต้องการจะลดขนาด และของเหลวที่ช่วยในการกระจายอนุภาคจะถูกปิดอย่างแน่นหนาและหมุนในแนวอนบนสายพานที่ขับเคลื่อนด้วยมอเตอร์ ภายในหม้อบดจะถูกบุดด้วยยางเพื่อป้องกันการสึกหรอเนื่องจากการกระแทกของเม็ดบดกับผัง คือเม็ดบดจะมีการเคลื่อนที่คล้ายอักษรรูปตัว D โดยจะเคลื่อนที่เลื่อนໄไปจากตำแหน่ง B ไปตำแหน่ง A แล้วตกลงมากระแทกกับวัสดุด้านล่างและหมุนเรียนด้วยลักษณะเช่นนี้ไปเรื่อยๆจนขนาดอนุภาคเล็กลงจนไม่สามารถบดให้ละเอียดลงไปได้อีก จะเห็นได้ว่าอัตราเร็วการหมุนหม้อบดนี้จะส่งผลต่อแนวการเคลื่อนที่ของเม็ดบด และพลังงานกลที่ให้กับอนุภาคคง โดยต้องการทำให้มีเม็ดบดเคลื่อนไปยังตำแหน่งบนสุดของเส้นทางการเคลื่อนที่ ทั้งนี้มีเปรียบเทียบการบดแบบเบี้ยก กับการบดแบบแห้ง พบร่องรอยแบบเบี้ยกจะมีข้อดีเหนือกว่าตรงที่พลังงานที่ใช้ในการบดจะมากกว่าประมาณร้อยละ 10-20 แต่ก็มีข้อเสียตรงที่การบดแบบเบี้ยกนี้จะทำให้เกิดการสึกหรอของเม็ดบดได้มากกว่า แต่การบดทั้งสองนี้จะมีข้อเสียหลัก คือการเจือปนของเศษเม็ดบดที่เกิดการสึกหรอหรือแตกในระหว่างการบด ดังนั้นจึงจำเป็นต้องแก้ไข โดยอาจจะเลือกใช้เม็ดบดเซอร์โคเนียมที่ถืออยู่ในปฏิกริยาเคมีที่อ่อนหักมิเพาเซินเตอร์ หรือใช้เม็ดบดเหล็กที่สามารถทำการล้างหรือใช้สบายน้ำแม่เหล็กดูดออกจากผงได้ รวมถึงหลีกเลี่ยงการใช้เม็ดบดที่มีความหนาแน่นต่ำ เช่น พอร์ซแอล และอะลูมินา

2.5 แบนเรียมไททาเนต (BaTiO_3)

แบเรียมไททาเนต (BaTiO_3) ดังรูปที่ 2.6 เป็นสารในกลุ่มที่ไม่มีอะก้าเป็นองค์ประกอบที่มีการค้นพบพฤติกรรมเฟริโอเล็กทริกและมีการเปลี่ยนแปลงโครงสร้างผลึกเกิดขึ้นทำให้สมบัติไดอะลีคทริกและโครงสร้างทางอุลตราซีวิค (ประมาณ 130°C) unit cell ของ BaTiO_3 จะเป็นแบบสูญกานต์ (cubic) ที่มีการจัดเรียงไอออน ดังรูปที่ 2.6 ที่อุณหภูมิต่ำกว่าอุดคูรีลงมาันน์ โครงสร้างของ BaTiO_3 จะเกิดการบิดเบี้ยวขึ้นเล็กน้อย เข้าสู่รูปแบบของเตต拉โนโนแอล (tetragonal) และจะมีโมเมนต์ชาร์จเกิดขึ้นมาทิศทางตามแนวแกน c

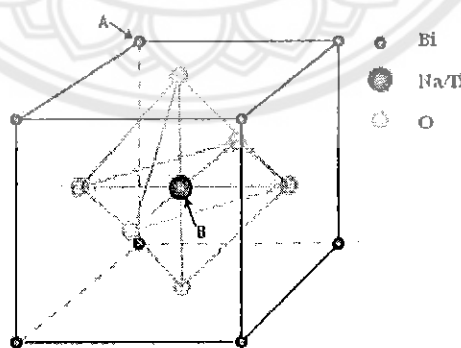


รูปที่ 2.6 โครงสร้างของสาร BaTiO_3 [13]

2.6 บิสมัทโซเดียมไททาเนต (BNT) [14]

บิสมัทโซเดียมไททาเนต (bismuth sodium titanate, $\text{Bi}_{0.5}\text{Na}_{0.5}\text{TiO}_3$) หรือ BNT เป็นสารประกอบพิโซไซด์เล็กทริกที่มีโครงสร้างเพอร์อฟส์ไกท์ ที่มีความซับซ้อน โดยทั่วไปสารประกอบซึ่งมีโครงสร้างแบบเพอร์อฟส์ไกท์จะมีสูตรโครงสร้างเป็น ABO_3 ดังรูปที่ 2.7

จากการศึกษาลักษณะผลลัพธ์ที่มีค่าคงที่ไดอีเล็กทริกที่สูงพบว่า สารที่มีค่าความสามารถในการโพลาไรซ์เชิงไฟฟ้า (electronic polarizability) สูงมีสาเหตุมาจากการ oxygen octahedron ของไอออนประจุบวกซึ่งอยู่ที่ B-site และที่ A-site ในกรณีของไอออนของตะกั่ว (Pb^{2+}) เนื่องจากมีอิเล็กตรอนที่ไม่ได้ถูกใช้ร่วมอยู่ในชั้น 6s จึงทำให้มีค่าความสามารถในการโพลาไรซ์เชิงไฟฟ้าที่สูงซึ่งมีผลต่อสารประกอบของไอออนชนิดนี้



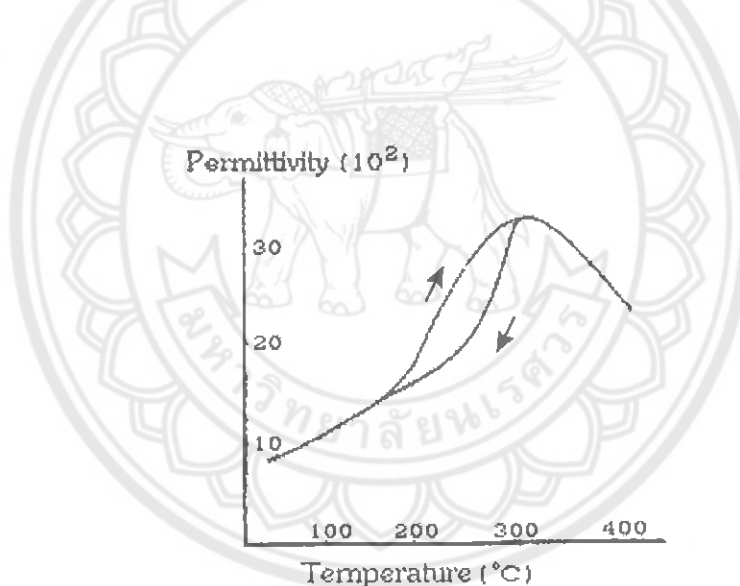
รูปที่ 2.7 โครงสร้างแบบเพอร์อฟส์ไกท์ (perovskite)

จากข้อสมมติฐานที่ว่า ความสามารถในการโพลาไรซ์เอง (spontaneous polarizability) ของสารประกอบที่มีโครงสร้างเพอร์อฟส์ไกท์ที่ไอออนของ A-site ซึ่งอาจจะเป็นไดทั้งแทลเลียม หรือบิสมัทก่อให้เกิดสารประกอบหลายชนิด สำหรับสารประกอบที่ผ่านใจ คือสาร

บิสมัทโซเดียมไทดานาเตเฟอร์โรอิเล็กทริก (bismuth sodiumtitanate ferroelectric) เนื่องจากสารประกอบระบบนี้ มีความเป็นไปได้ที่จะมีสมบัติที่สามารถนำมาทดแทนการใช้สารประกอบที่มีอุณหภูมิที่ต่ำกว่าเป็นองค์ประกอบ

โครงสร้าง BNT มีลักษณะเป็นเพอร์อฟลักก์ ซึ่งพบว่า มีการเปลี่ยนแปลงระบบผลึกตามอุณหภูมิที่เปลี่ยนแปลงไป ณ อุณหภูมิห้อง (27°C) ระบบผลึกของ BNT เป็นรอมโบไฮดรอล ซึ่งมีสมบัติทางไฟฟ้าเป็นเฟอร์โรอิเล็กทริก เมื่ออุณหภูมิสูงขึ้น ระบบผลึกจะเปลี่ยนไปเป็นเตตราゴโนอล และผลึกสูญ Barton ตามลำดับ ซึ่งจะมีผลกระทบต่อสมบัติทางไฟฟ้า เช่น กันโดยที่จะเปลี่ยนไปเป็นแอนไฟเฟอร์โร อิเล็กทริก (antiferroelectric) และพาราเฟอร์โรอิเล็กทริก (paraferroelectric) ตามลำดับระบบผลึกของ BNT ซึ่งเปลี่ยนแปลงตามอุณหภูมิ

ผลกระทบที่มีต่อสมบัติทางไฟฟ้าจะแตกต่างกัน เนื่องจากการเปลี่ยนแปลงระบบผลึก หลังจากการให้ความร้อนหรือลดอุณหภูมิ พบร่วมกับการเปลี่ยนแปลงอุณหภูมิ ดังรูปที่ 2.8



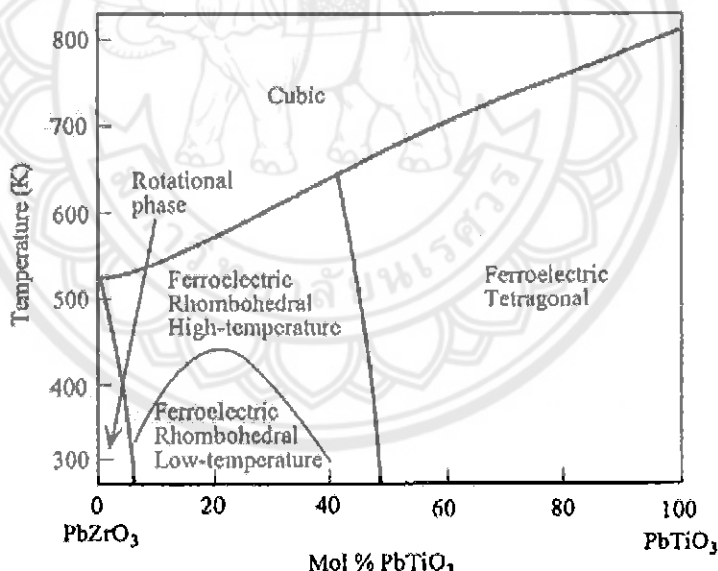
รูปที่ 2.8 ลักษณะของค่า permittivity ของผลึก $\text{Bi}_{0.5}\text{Na}_{0.5}\text{TiO}_3$ เมื่อมีการเปลี่ยนแปลงอุณหภูมิ ในการรัดที่ความถี่ 500 กิโลเฮิร์ต [15]

2.7 เลดเซอร์โคเนตไทดานาเต (Lead zirconate titanate)

เลดเซอร์โคเนตไทดานาเต เป็นสารพิโซดิอิเล็กทริกที่มีการนิยมนำมาใช้อย่างแพร่หลายในวงการอุตสาหกรรม เนื่องจากแสดงสมบัติพิโซดิอิเล็กทริกได้ดี [16] มีค่าสัมประสิทธิ์คู่ควรไฟฟ้า เชิงกลสูง มีอุณหภูมิคริวท์ที่สูงส่งผลให้สามารถใช้งานได้ที่อุณหภูมิสูงสุดได้ดี ที่สำคัญสามารถ

ເທົ່ານີ້ໄດ້ຈໍາເລັດຫລາກຫລາຍອົງປະກອບ ອຸນຫກຸມທີ່ໃຊ້ກີ່ມີສູງມາກັນຈຶ່ງທຳໃຫ້ເຊຣາມິກເລັດເຊໂຮງໂຄນົດໄທຫາເນັດເປັນທີ່ນີ້ຢູ່ມ

ເຊຣາມິກເລັດເຊໂຮງໂຄນົດໄທຫາເນັດ (PZT) ມີອຸນຫກຸມຄູ່ອູ່ທີ່ປະມາດ 390°C [4] ທີ່ອຸນຫກຸມຄູ່ນີ້ ຈະເປັນແປລັງເມື່ອອົງປະກອບຂອງສານເປັນແປລັງໄປໂດຍ ຄູ່ທີ່ອຸນຫກຸມສູງກວ່າອຸນຫກຸມຄູ່ເລັດເຊໂຮງໂຄນົດໄທຫາເນັດຈະມີໂຄຮ່າງພລິກເປັນແບບເພອຂອບໄກດ໌ ທີ່ມີໜ່າຍເໜຸລ໌ແບບຄົວປົກສິ່ງສົ່ງຜລໃຫ້ແສດງສມັບຕິເປັນພາຣາອີເລັກທີກ ເມື່ອທຳກາລດອຸນຫກຸມໃຫ້ຕໍ່າລົງກວ່າອຸນຫກຸມຄູ່ລັກນະຂອງໜ່າຍເໜຸລ໌ຈະເປັນແປລັງໄປເປັນແບບເຕຕະໂກນອລ (tetragonal) ພົບມີໂປ່ງໂຄຮ່າງ (rhombohedral) ທີ່ຜລໃຫ້ສມັບຕິຂອງເຊຣາມິກເປັນເຟຣີໂຮອີເລັກທີກ ໂດຍໃນການປົກກົດການໂພລາໄຣເໜັ້ນເຈັ້ນໄດ້ເອງໃນທີ່ຕໍ່າງ (100) ສ່ວນໃນການປົກກົດການໂພລາໄຣເໜັ້ນຈະເກີດກະນະການໂພລາໄຣເໜັ້ນໄດ້ເອງໃນທີ່ຕໍ່າງ (111) ແລະຍັງພບອືກວ່າສມັບຕິທັງດ້ານໄຟຟ້າຂອງເລັດເຊໂຮງໂຄນົດໄທຫາເນັດນີ້ ແສດງສມັບຕິທີ່ໂດດເດັ່ນມາກໃນສັດສ່ວນຂອງ Zr:Ti ອູ່ທີ່ 52:48 ພົບມີໂປ່ງໂຄຮ່າງ (rhombohedral) ທີ່ອູ່ ດັ່ງລົງທຶນທີ່ເວົ້າວ່າ ຮອຍຕ່ອົກສັນກັນທີ່ມີສັນສູານເໝືອນກັນ (Morphotropic Phase Boundary : MPB) [17] ດັ່ງເພື່ອໄດ້ແກ່ມາໃນຮູ່ປ. 2.9



ຮູ່ປ. 2.9 ເພື່ອໄດ້ແກ່ມາໃນຮູ່ປ. 2.9

2.8 ຈາກວິຊ້ທີ່ເກີຍວ້າຂອງ

ປີ ດ.ສ. 2002 Bao-Jin Chu ແລະຄະນະ [19] ໄດ້ທຳກາລສົກພາສມັບຕິທັງໄຟຟ້າຂອງເຊຣາມິກ $(\text{Bi}_{0.5}\text{Na}_{0.5})\text{TiO}_3-\text{BaTiO}_3$ ໂດຍເນັ້ນໄປທີ່ສມັບຕິທັງພື້ນຖານເລັກທີກຂອງ $(1-x)(\text{Bi}_{0.5}\text{Na}_{0.5})\text{TiO}_3-(x)\text{BaTiO}_3$ ($x=0.02, 0.04, 0.06, 0.08$ ແລະ 0.1) ອາດວາມສ້າງສັນພັນທີ່ຮ່ວງກ່າວກ່ຽວຂ້ອງພື້ນຖານທີ່ເພີ້ມໂສົງເລັກທີກ ແລະອຸນຫກຸມທີ່ທຳໃຫ້ເກີດກະນະການກົດກົດ (depolarization temperature) ຂອງສາຣເຕີມ

สารเจือของเซรามิก ซึ่งพบว่า โดยส่วนใหญ่แล้วเซรามิก $(1-x)(\text{Bi}_{0.5}\text{Na}_{0.5})\text{TiO}_3-(x)\text{BaTiO}_3$ นั้น depolarization temperature จะมีค่าที่ต่ำกว่าอุณหภูมิสูงสุดของค่าคงที่ไดอิเล็กทริก ซึ่งเป็นปรากฏการณ์ที่จะต้องนำมาศึกษาเพิ่มเติมต่อไป

ปี ค.ศ. 2006 Huang Xingyou และคณะ [20] ได้ทำการศึกษาอิทธิพลขององค์ประกอบต่อสมบัติพิโซเซรามิกไม่มีตะกั่วของ BNT-BT โดยเน้นเซรามิกพิโซอิเล็กทริกไม่มีสารตะกั่วของ $(\text{Bi}_{1/2}\text{Na}_{1/2})\text{TiO}_3-\text{BaTiO}_3$ (BNT-BT) ได้ทำการเตรียมโดยเทคนิคเซรามิกพิโซอิเล็กทริกแบบดั้งเดิม (เผาชิ้นเตอร์ร์ไม่มีอากาศ) พบว่าสมบัติพิโซอิเล็กทริกและสมบัติไดอิเล็กทริกของเซรามิก BNT จะเริ่มเพิ่มขึ้นและลดลงในขณะที่การเติมปริมาณ BaTiO_3 เพิ่มขึ้น

ปี ค.ศ. 2006 Su-Ho Lee และคณะ [21] ได้ทำการศึกษาปรากฏการณ์ความร้อนของเซรามิก BNT-BT ใน การศึกษานี้ใช้ปริมาณ BaTiO_3 (BT) เล็กน้อย ซึ่งมีลักษณะของเฟรโรอิเล็กทริก และโครงสร้าง เตรตระgon ออลที่อุณหภูมิปกติใน BNT อุณหภูมิสูงขึ้นอย่างรวดเร็วจนถึงระดับสูงสุด 100°C สำหรับ 3 นาทีแรก จากนั้นก็จะอีมตัว ดังนั้นในการศึกษานี้เราจึงแสดงปรากฏการณ์ความร้อนและการรักษาเสถียรภาพอุณหภูมิเซรามิก BNT-BT ที่สามารถนำมาใช้เป็นข้อมูลอ้างอิงในการพัฒนา เซรามิก BNT-BT ที่ดีขึ้น

ปี ค.ศ. 2007 Lanfang Gao และคณะ [22] ได้ทำการศึกษาสมบัติไดอิเล็กทริกและเฟรโรอิเล็กทริกของเซรามิกของ $(1-x)\text{BaTiO}_3-x\text{Bi}_{0.5}\text{Na}_{0.5}\text{TiO}_3$ โดยเน้นไปที่สมบัติไดอิเล็กทริกและเฟรโรอิเล็กทริกของเซรามิกที่ไม่มีตะกั่ว $(1-x)\text{BaTiO}_3-x\text{Bi}_{0.5}\text{Na}_{0.5}\text{TiO}_3$ ($x = 0.01, 0.02, 0.05, 0.1, 0.2, 0.3$) เตรียมโดยวิธีเทคนิคเซรามิกแบบดั้งเดิม ทำการซินเตอร์ ณ อุณหภูมิ 1200°C เป็นเวลา 2 – 4 ชั่วโมง พบว่าการศึกษาสมบัติไดอิเล็กทริกและเฟรโรอิเล็กทริก ค่าคงที่ไดอิเล็กทริก ณ อุณหภูมิห้อง มีค่าลดลงเมื่อปริมาณ BNT เพิ่มขึ้น สำหรับสารตัวอย่างที่มี BNT 0.3 มอล พบว่าแสดงพฤติกรรมเป็นแบบรีแลกเซอร์ อุณหภูมิคู่รี (T_c) มีการเลื่อนเล็กน้อย เมื่อเติม BNT ต่ำกว่า 0.1 มอล อุณหภูมิคู่รี (T_c) สูงสุด (ประมาณ 150°C) พบว่า เมื่อเติม BNT 0.2 มอล ค่าโพลาไรเซชันคงค้าง (P_r) จะลดลงในขณะที่ ค่าสนามไฟฟ้าลบล้าง (E_c) จะเพิ่มขึ้น เมื่อปริมาณ BNT เพิ่มขึ้น

ในปี ค.ศ. 1981 Hankey และ Biggers [5] ทำการศึกษาอุณหภูมิที่เหมาะสมในการเกิดเฟสของ PZT ด้วยการเตรียมแบบมิกซ์ออกไซด์ (Mixed oxides) พบว่า PZT เกิดเฟสที่สมบูรณ์ที่อุณหภูมิ 775°C และมีการระเหยของตะกั่ว

และในปีเดียวกันนี้เอง ChandraTreya [6] ได้ทำการศึกษา PZT ที่เตรียมจาก PZ และ PT เป็นสารทั้งทั้งนั้นพบว่าเกิดการขยายตัวเชิงปริมาตร (volume Expansion) ในช่วงอุณหภูมิ

450 – 600^oC และ 700 – 800^oC สำหรับ PZ และ PT ตามลำดับ และยังพบการเกิด PZT ที่ อุณหภูมิสูงกว่า 700^oC ขึ้นไป

เมื่อถึงปี ค.ศ. 1983 Cho และ Biggers [7] ทำการเตรียม PZT ด้วยวิธีการเตรียม 2 แบบ คือ การมิกซ์ออกไซด์ และวิธีการเกลือหลอมเหลว (Molten SoH) ซึ่งอาศัยหลักการเติม เกลือโซเดียมคลอไรด์-โพแทสเซียมคลอไรด์ (NaCl-KCl) ลงไปคอยช่วยในการทำปฏิกิริยาให้ ผงผลึก PZT ที่มีความบริสุทธิ์สูงที่อุณหภูมิต่ำได้ และยังพบอีกว่าขนาดและการกระจายตัว ของอนุภาค PZT ที่เตรียมได้จากวิธีมิกซ์ออกไซด์จะสูงกว่าที่เตรียมได้จากโนห์เทนซอลท์ จากนั้นก็มีการเตรียมสารประกอบเฟอร์โรอิเล็กทริกในระบบ PZT อีกหลายรูปแบบ ทั้งทาง เคมี และทางปฏิกิริยาของแข็ง เพื่อให้ได้สารที่บริสุทธิ์

จนกระทั่งในปี ค.ศ. 2004 Bruncková และคณะ [23] ได้ทำการเตรียม PZT ด้วยวิธี ชล-เจล พบร่วมกันว่า เมื่อเผาแคลไชน์ที่อุณหภูมิ 500^oC มีการก่อตัวของเฟส PZT ขึ้น แต่ยังมีเฟส ที่ไม่บริสุทธิ์ มีเฟสไฟrocloreปนอยู่ และมีทำการเผาอบอ่อน (anneal) ณ อุณหภูมิ 700 °C เป็นเวลา 2 ชั่วโมง จะมีการเปลี่ยนจากเฟสไฟrocloreไปเป็นเฟสสมรรถว่างไฟroclore และ เฟสบริสุทธิ์

บทที่ 3

วิธีการวิจัย

3.1 สารเคมี

- 3.1.1 แบบเรียมคาร์บอเนต (BaCO_3) ความบริสุทธิ์ 99% ผลิตโดยบริษัท Fluka
- 3.1.2 บิสมัทไตรออกไซด์ (Bi_2O_3) ความบริสุทธิ์ 98% ผลิตโดยบริษัท Fluka
- 3.1.3 โซเดียมคาร์บอเนต (Na_2CO_3) ความบริสุทธิ์ 99.5% ผลิตโดยบริษัท Sigma-Aldrich
- 3.1.4 ไททาเนียมไดออกไซด์ (TiO_2) ความบริสุทธิ์ร้อยละ 99.0 บริษัท Sigma-Aldrich
- 3.1.5 เลตอกออกไซด์ (PbO) ความบริสุทธิ์ร้อยละ 99.9 บริษัท Sigma-Aldrich
- 3.1.6 เชอร์โคเนียมไดออกไซด์ (ZrO_2) ความบริสุทธิ์ร้อยละ 99.0 บริษัท Sigma-Aldrich
- 3.1.7 โพแทสเซียมคลอไรด์ (KCl) ความบริสุทธิ์ร้อยละ 99.5 บริษัท Merck
- 3.1.8 โซเดียมคลอไรด์ (NaCl) ความบริสุทธิ์ร้อยละ 99.0 บริษัท RCI Labscan
- 3.1.9 สารละลายซิลเวอร์ไนเตรต (AgNO_3)
- 3.1.7 เอทิลแอลกอฮอล์ (Ethyl alcohol) ความบริสุทธิ์ร้อยละ 99.8 บริษัท Liquor Distillery Organization Excise Department
- 3.1.12 น้ำกลั่น
- 3.1.13 น้ำปราศจากไอโอน (Deionized water)
- 3.1.10 น้ำยาล้างจาน

3.2 อุปกรณ์

- 3.2.1 เครื่องชั่งดิจิตอลความละเอียด 0.0001 กรัม บริษัท OHAUS รุ่น PA-214 สหรัฐอเมริกา
- 3.2.2 กระป๋องพลาสติกพร้อมฝาปิด
- 3.2.3 ลูกบดอิเทียม-เชอร์โคเนียม (Y-ZrO_2)
- 3.2.4 แท่งแม่เหล็กสำหรับกวนสาร (magnetic bar)
- 3.2.6 แท่นหมุนพร้อมมอเตอร์สำหรับหมุนกระป๋องเพื่อบดย่อยผสมสารแบบ ball-milling
- 3.2.6 ปีกเกอร์ขนาด 250, 600 และ 1000 มิลลิลิตร
- 3.2.7 กระดาษพอยล์ (foil)
- 3.2.8 กระดาษรองชั่งสาร (weighing paper) บริษัท Whiteman
- 3.2.9 ตะแกรงร่อนสาร
- 3.2.12 ครกบดสาร (agate)

3.2.12 ช้อนตักสาร

3.2.13 ไดร์เปาผ้า สำหรับเป่าอุปกรณ์หรือชิ้นงานหลังทำความสะอาด

3.2.14 แบรงล้างขวด

3.2.15 ถ้วยอะลูมีนา (alumina crucible)

3.2.16 เทปการคาร์บอน

3.2.17 เตาแผ่นให้ความร้อนพร้อมเครื่องคนสารด้วยแม่เหล็ก (hot plate & magneticstir)
ยี่ห้อ IKA รุ่น C-MAG HS7 ประเทศเยอรมัน

3.2.18 เตาอบไฟฟ้า ยี่ห้อ HOUSE WORTH รุ่น HW-8085

3.2.19 เตาไฟฟ้าอุณหภูมิสูงสำหรับเผาสาร ผลิตโดยบริษัท ชาชิติ จำกัด อุณหภูมิสูงสุด
1200 °C รุ่น L9/12P ประเทศไทย

3.2.20 ติดตออลเดอร์เนี่ยคลิปอร์ ยี่ห้อ ZIMM – ZEEM

3.2.21 ติดตออลมัลติมิเตอร์ ยี่ห้อ YUGO รุ่น M920

3.2.22 ติดตออลเทอร์โมมิเตอร์ ยี่ห้อ OAKTON

3.2.23 เครื่องตรวจสอบการเสี้ยวเบนของรังสีเอกซ์ (X-ray diffractometer) รุ่น X'Pert
บริษัท Philips

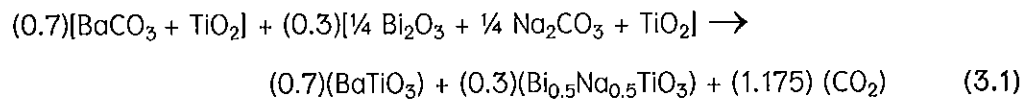
3.2.24 เครื่อง Sputter Coater บริษัท The Polaron รุ่น SC7620

3.2.25 กล้องจุลทรรศน์อิเล็กตรอนแบบส่องกราด (Scanning electron microscope) บริษัท
LEO รุ่น 1455VP

3.3 กระบวนการเตรียมผงผลึกผงผลึกสารเฟอร์โรอิเล็กทริก โดยวิธีมิกซ์ออกไซด์ และวิธี เกลือหลอมเหลว

3.3.1 เตรียมผงผลึกแบบเรียบไททาเนต-บิสมัทโซเดียมไททาเนต สูตร $(0.7)BaTiO_3-(0.3)Bi_{0.5}Na_{0.5}TiO_3$

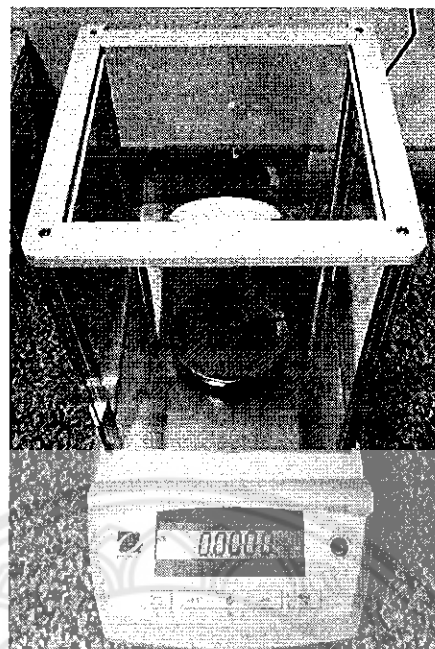
เตรียมผงผลึกแบบเรียบไททาเนต-บิสมัทโซเดียมไททาเนต สูตร $(0.7)BaTiO_3-(0.3)Bi_{0.5}Na_{0.5}TiO_3$ ด้วยวิธีมิกซ์ออกไซด์ โดยนำสารตั้งต้น $BaCO_3$, TiO_2 , Bi_2O_3 และ Na_2CO_3 ที่จะใช้ไปทำการอบด้วยเตาอบตามรูป 3.1 ทำการซึ้งสารตั้งต้น $BaCO_3$, TiO_2 , Bi_2O_3 และ Na_2CO_3 ที่อบแล้วตามสมการที่ดูลสมการเคมีตามสมการ (3.1) จากนั้นซึ้งสารตามปริมาณที่คำนวณโดยใช้เครื่องซึ้งสารที่มีความละเอียด 0.0001 กรัม ดังรูป 3.2 การดูลสมการเคมีเป็นดังสมการ
ข้างล่างนี้



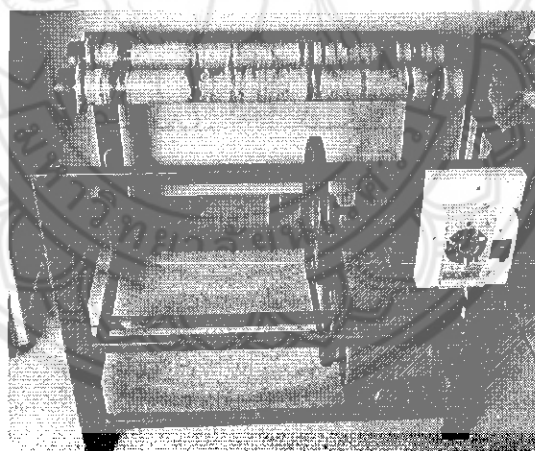
นำสารตั้งต้นมาใส่ในกระป๋องพลาสติกที่บรรจุกับดินเทียม-เซอร์โคเนียมแล้วเติมเข็มแข็ง แลกอหอส์ลงไปด้วยเพื่อเป็นตัวช่วยในการหล่อสีน้ำยาให้สนิทแล้วนำไปอบบนแท่นหมุนพร้อมมอเตอร์สำหรับหมุนกระป๋องเพื่อบดโดยผสมสารแบบ ball-milling ตามรูป 3.3 ทำการบดอย่างผสมการเป็นเวลา 24 ชั่วโมง แล้วกรองเอาของเหลวที่ผสมแล้วใส่ปีกเกอร์ นำไปทำให้แห้งโดยใช้เตาแผ่นให้ความร้อนแบบมีเครื่องควบคุมตัววายแม่เหล็กดังรูป 3.4 ใช้ความร้อนประมาณ $120-130^{\circ}\text{C}$ เมื่อของเหลวันั้นแห้งแล้ว นำไปอบอีกครึ่งเพื่อให้แห้งสนิทเป็นเวลาอย่างน้อย 2 ชั่วโมง ทำการร่อนผสมด้วยตะแกรงร่อน พักสารผสมที่ได้ไว้ (เพื่อผสมกับเกลือผสมเป็นวิธีเกลือหลอมเหลว) แต่ถ้านำผงผสมที่ร่อนไว้ไปเผาเคลือบเซนทิอุณหภูมิ 500, 600, 700, 800 และ 900°C ตามแผนภาพ 3.6 (เป็นวิธีมิกซ์ออกไซด์ ขั้นตอนการเตรียมผงผลึก $(0.7)\text{BaTiO}_3-(0.3)\text{Bi}_{0.5}\text{Na}_{0.5}\text{TiO}_3$ โดยวิธีมิกซ์ออกไซด์ แสดงดังแผนภาพในรูป 3.7) นำผงผลึก $(0.7)\text{BaTiO}_3-(0.3)\text{Bi}_{0.5}\text{Na}_{0.5}\text{TiO}_3$ ไปกิ่วเคราะห์การก่อเกิดเฟลที่เกิดขึ้นด้วยเทคนิคการเลี้ยวเบนของรังสีเอกซ์ และตรวจสอบโครงสร้างจุลภาคของผงผลึกที่ได้โดยใช้กล้องจุลทรรศน์อิเล็กตรอนแบบส่องกราด



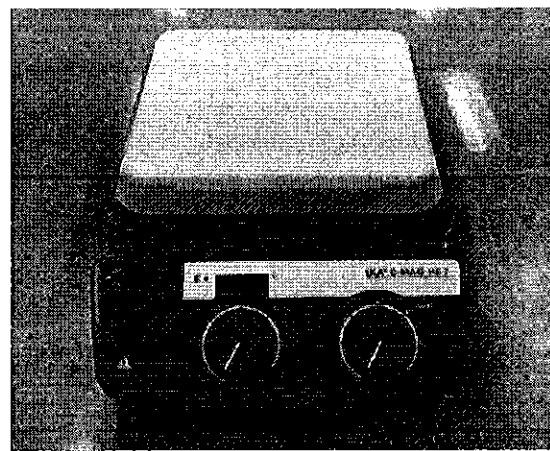
รูป 3.1 เตาอบสาร



รูป 3.2 เครื่องชั่งสารความละเอียด 0.0001 กรัม

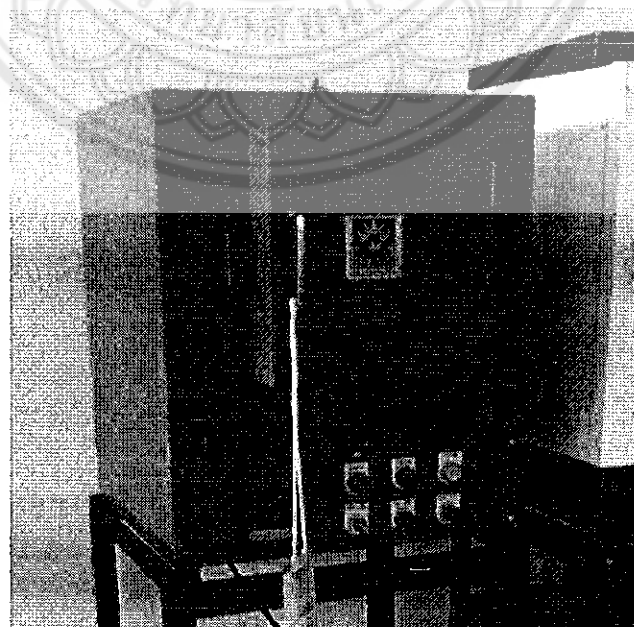


รูป 3.3 แท่นหมุนพร้อมมอเตอร์สำหรับหมุนกระปองเพื่อบดย่อยผสมสารแบบ Ball milling

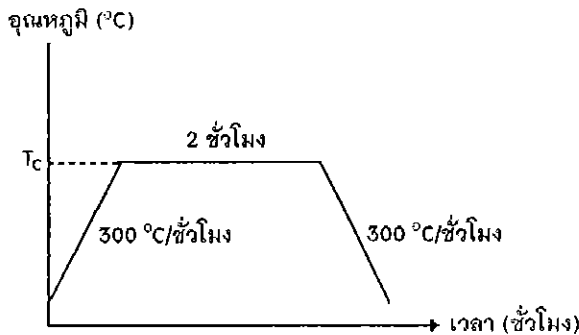


รูป 3.4 เตาเผนให้ความร้อนแบบมีเครื่องควบคุมด้วยแม่เหล็ก

ทำการเตรียมผงเกลือโดยนำเกลือ 2 ชนิด ได้แก่ NaCl และ KCl อบด้วยเตาอบตามรูป 3.1 เป็นเวลา 1 ชั่วโมง ทำการซึ่งสารตั้งต้น NaCl และ KCl ที่อบแล้วตามสัดส่วนจำนวนโมล NaCl:KCl เป็น 1:1 บดเกลือทั้งสองผสมกันในครกหยกเป็นเวลา 10 นาที จากนั้นนำเกลือที่ผสมได้นี้ไปบดผสมกับสารผสมที่พักไว้ ในสัดส่วน 1:1 โดยน้ำหนัก [24-26] นำผงผสมที่ผสมกับเกลือผสมแล้วที่ได้ใส่ถ้วยอะลูมิเนียมปิดฝาแล้วนำไปเผาแคลเซน์ด้วยเตาไฟฟ้า (รูป 3.5) โดยปรับค่าอุณหภูมิในการเผาแคลเซน์ที่อุณหภูมิ 500, 600, 700, 800 และ 900 °C เป็นเวลากัน 2 ชั่วโมง ด้วยอัตราการให้ความร้อน 5 °C/นาที แผนภาพการเผาแคลเซน์แสดงดังรูป 3.6



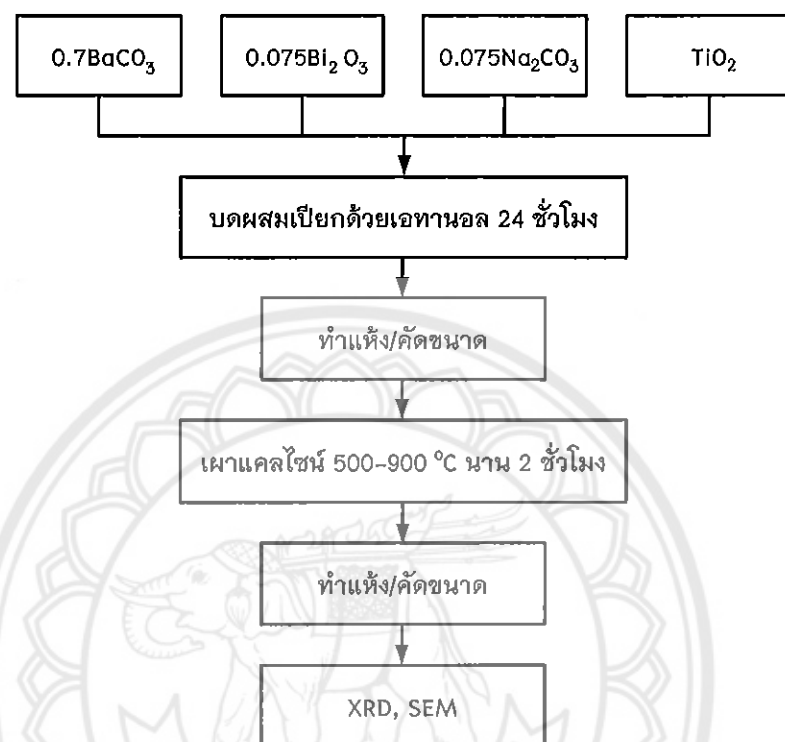
รูป 3.5 เตาเผาไฟฟ้าอุณหภูมิสูง สำหรับเผาแคลเซน์



รูป 3.6 แผนภาพการเผาแคลไชน์ (โดย T_c คือ อุณหภูมิที่ใช้ในการเผาแคลไชน์)

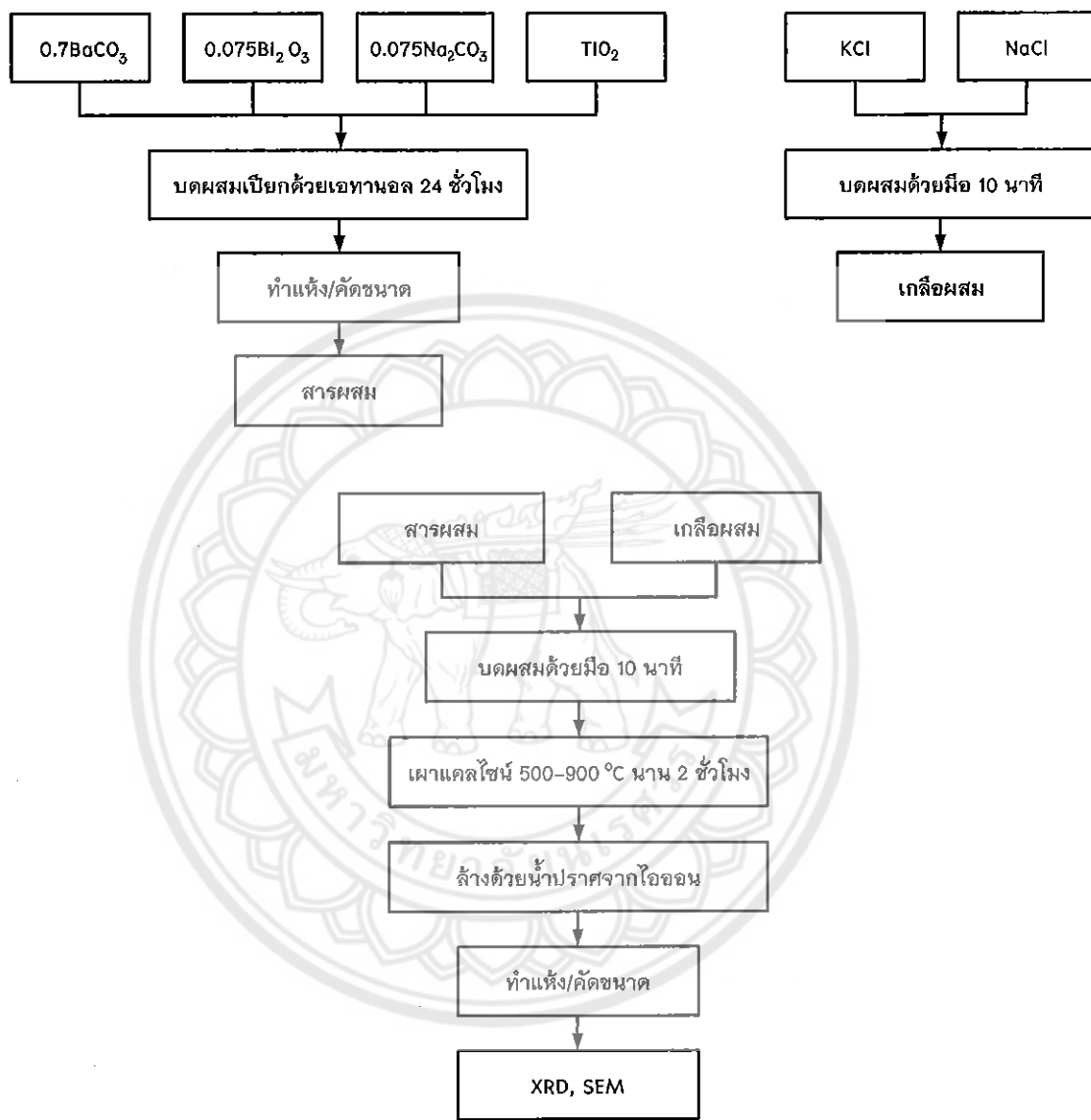
นำผงพลีกที่ได้จากการเผาแคลไชน์แล้ว ณ อุณหภูมิต่างๆ ไปแยกเกลือออก โดยการล้างด้วยน้ำที่ปราศจากโซเดียมที่ต้มจนร้อน จนกระถังเคลือริดโซเดียมอิสระหมดไป โดยการทดสอบว่ายังมีเคลือริดโซเดียมเหลืออยู่หรือไม่ด้วยการหยดสารละลายซิลเวอร์ในเตรตลงในน้ำทึบที่ล้างเกลือออกจากผงพลีก (ซึ่งควรทำการล้างเกลือออกก่อนทดสอบประมาณ 3-4 รอบ ก่อน จึงทดสอบน้ำทึบในรอบท้ายๆ) ถ้ายังมีตะกอนขาวขุ่น ซึ่งเป็นตะกอนของ AgCl และคงว่าล้างเกลือออกจากผงพลีกไม่หมด ทำการล้างจนกระถังไม่มีเกลือเหลืออยู่แล้ว จึงนำแห้งผงพลีก $(0.7)\text{BaTiO}_3-(0.3)\text{Bi}_{0.5}\text{Na}_{0.5}\text{TiO}_3$ นำผงพลีก $(0.7)\text{BaTiO}_3-(0.3)\text{Bi}_{0.5}\text{Na}_{0.5}\text{TiO}_3$ ที่ล้างเกลือหมดแล้วทุกอุณหภูมิแคลไชน์ไปวิเคราะห์การก่อเกิดเฟสที่เกิดขึ้นด้วยเทคนิคการเลี้ยวเบนของรังสีเอกซ์ และตรวจสอบโครงสร้างจุลภาคของผงพลีกที่ได้โดยใช้กล้องจุลทรรศน์อิเล็กตรอนแบบส่องกราด แผนผังแสดงขั้นตอนการเตรียมและตรวจสอบผงพลีก $(0.7)\text{BaTiO}_3-(0.3)\text{Bi}_{0.5}\text{Na}_{0.5}\text{TiO}_3$ และแสดงตั้งแผนผังในรูป 3.8

**ขั้นตอนการเตรียมผงผลึก $(0.7)\text{BaTiO}_3-(0.3)\text{Bi}_{0.5}\text{Na}_{0.5}\text{TiO}_3$ โดยวิธีมิกซ์ออกไซด์ และ
แปรค่าอุณหภูมิการเผาเคลล์ไซน์**



รูป 3.7 แผนผังการเตรียมผงผลึก $(0.7)\text{BaTiO}_3-(0.3)\text{Bi}_{0.5}\text{Na}_{0.5}\text{TiO}_3$ โดยวิธีมิกซ์ออกไซด์ และแปรค่าอุณหภูมิ
การเผาเคลล์ไซน์

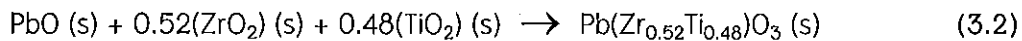
ขั้นตอนการเตรียมผงพลีก $(0.7)\text{BaTiO}_3-(0.3)\text{Bi}_{0.5}\text{Na}_{0.5}\text{TiO}_3$ โดยวิธีเกลือหลอมเหลว และแปรค่าอุณหภูมิการเผาแคลเซี่ยน



รูป 3.8 แผนผังการเตรียมผงพลีก $(0.7)\text{BaTiO}_3-(0.3)\text{Bi}_{0.5}\text{Na}_{0.5}\text{TiO}_3$ โดยวิธีเกลือหลอมเหลว และแปรค่าอุณหภูมิการเผาแคลเซี่ยน

3.3.2 เตรียมผงพลีกเลดเชอร์โคเนตไททาเนต สูตร ($Pb(Zr_{0.52}Ti_{0.48})O_3$)

เตรียมผงพลีกเลดเชอร์โคเนตไททาเนตสูตร $Pb(Zr_{0.52}Ti_{0.48})O_3$ ด้วยวิธีมิกซ์ออกไซด์เริ่มจากการนำสาร PbO , TiO_2 และ ZrO_2 ที่จะใช้ไปทำการอบด้วยเตาอบตามรูป 3.1 แล้วซึ่งสารตั้งต้น PbO , TiO_2 และ ZrO_2 ตามสัดส่วนจำนวนโมล $Pb : Zr : Ti$ เป็น $1 : 0.52 : 0.48$ ด้วยการดุลสมการเคมีตามสมการ (3.2) จากนั้นหั่งสารตามปริมาณที่คำนวณโดยใช้เครื่องหั่งสารที่มีความละเอียด 0.0001 กรัม (รูป 3.2) สมการการดุลสมการเคมีเป็นดังสมการข้างล่างนี้



นำสารตั้งต้นมาใส่ในกระป๋องพลาสติกที่บรรจุกับอิเทียม-เซอร์โคเนียมแล้วเติมเมอทิลแอลกอฮอลล์ลงไปด้วยเพื่อเป็นตัวช่วยในการหล่อลินปิดฝาให้สนิทแล้วนำไปวางบนแท่นหมุนพร้อมมอเตอร์สำหรับหมุนกระป๋องเพื่อบดอย่างผสมสารแบบ ball-milling ตามรูป 3.3 ทำการบดอย่างผสมการเป็นเวลา 24 ชั่วโมง แล้วกรองเอาของเหลวที่ผสมแล้วใส่ปีกเกอร์ นำไปทำให้แห้งโดยใช้เตาแห่งให้ความร้อนแบบมีเครื่องคนสารด้วยแม่เหล็กดังรูป 3.4 ใช้ความร้อนประมาณ $120-130^{\circ}\text{C}$ เมื่อของเหลวนั้นแห้งแล้ว นำไปอบอีกครั้งเพื่อให้แห้งสนิทเป็นเวลาอย่างน้อย 2 ชั่วโมง ทำการร่อนผงผสมด้วยตะแกรงร่อน พักสารผสมที่ได้ไว้ (เพื่อผสมกับเกลือผสมเป็นวิธีเกลือหลอมเหลว) แต่ถ้าผงผสมที่ร่อนให้ไปเผาเคลือบไซน์ที่อุณหภูมิ 600, 650, 700, 750 และ 800°C ตามแผนภาพในรูป 3.6 (เป็นวิธีมิกซ์ออกไซด์ ขั้นตอนการเตรียมผงพลีก $Pb(Zr_{0.52}Ti_{0.48})O_3$ สารโดยวิธีมิกซ์ออกไซด์ แสดงตั้งแผนภาพในรูป 3.9) นำผงพลีก $Pb(Zr_{0.52}Ti_{0.48})O_3$ ไปวิเคราะห์การก่อเกิดเฟสที่เกิดขึ้นด้วยเทคนิคการเลี้ยวเบนของรังสีเอกซ์และตรวจสอบโครงสร้างอุลตราซาวด์ของผงพลีกที่ได้โดยใช้กัลวามทรานส์ฟอร์มเมอร์แบบส่องกระด

นำเกลือผสมที่เตรียมโดยเกลือ 2 ชนิด ได้แก่ NaCl และ KCl อบด้วยเตาอบตามรูป 3.1 เป็นเวลา 1 ชั่วโมง ทำการซั่งสารตั้งต้น NaCl และ KCl ที่อบแล้วตามสัดส่วนจำนวนโมล $\text{NaCl}:\text{KCl}$ เป็น $1:1$ บดเกลือทั้งสองผสมกันในครกหยกเป็นเวลา 10 นาที จากนั้นนำเกลือที่ผสมได้นี้ไปบดผสมกับสารผสมที่พักไว้ ในสัดส่วน $1:1$ โดยน้ำหนัก [24-26] นำผงผสมที่ผสมกับเกลือผสมแล้วที่ได้ใส่ถวยอะลูมินาปิดฝาแล้วนำไปเผาเคลือบไซน์ด้วยเตาไฟฟ้า (รูป 3.5) โดยปรับค่าอุณหภูมิในการเผาเคลือบไซน์ที่อุณหภูมิ 600, 650, 700, 750 และ 800°C เป็นเวลานาน 2 ชั่วโมง ด้วยอัตราการให้ความร้อน $5^{\circ}\text{C}/\text{นาที}$ แผนภาพการเผาเคลือบไซน์แสดงดังรูป 3.6

นำผงพลีกที่ได้จากการเผาเคลือบไซน์แล้ว ณ อุณหภูมิต่างๆ ไปแยกเกลือออก โดยการล้างด้วยน้ำที่ปราศจากไอออนที่ตั้มจนร้อน จนกระทั่งคลอร์ไรด์ไอออนอิสระหมดไป โดยการทดสอบว่ายังมีคลอร์ไรด์ไอออนเหลืออยู่หรือไม่ด้วยการหยดสารละลายซิลเวอร์ในเตตรคลิงในน้ำ

๒๗๐
๘๑๒
๑๑๑๒
๒๕๕๔

25

17 ส.ค. 2559

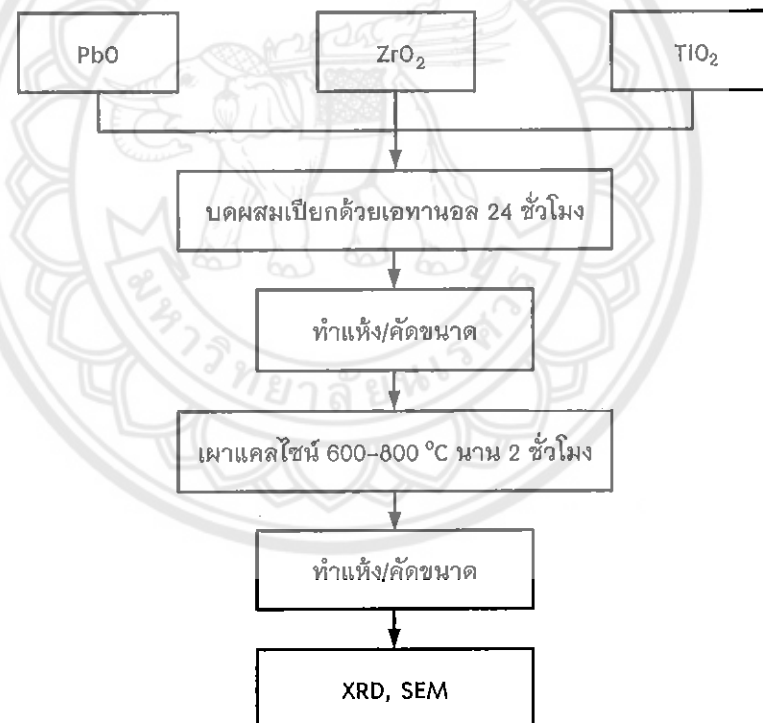


๑. ๗๐๑๕๐๙๔

สำนักหอสมุด

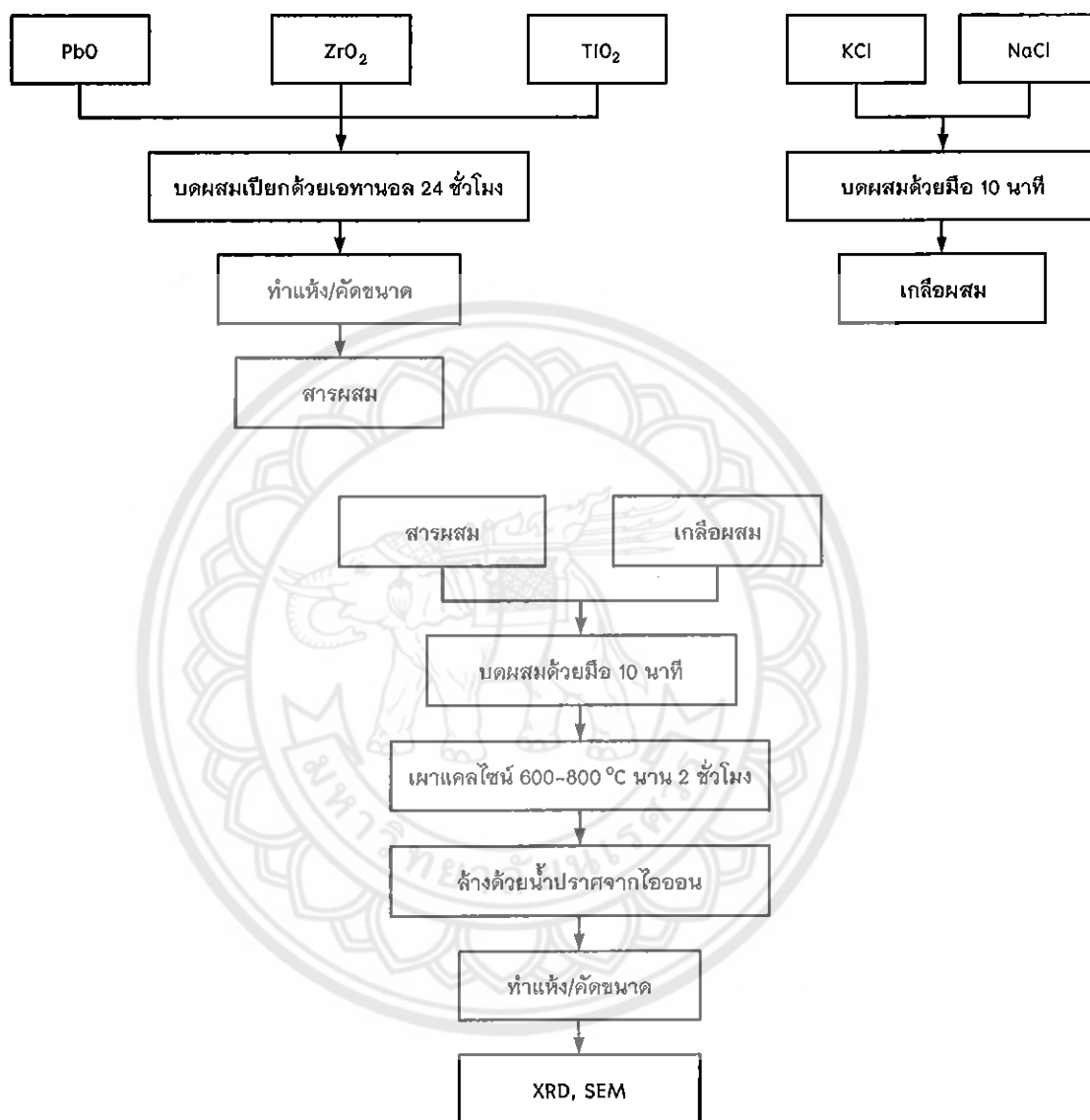
ทึ้งที่ล้างเกลือออกจากการผงผลึก (ซึ่งควรทำการล้างเกลือออกก่อนทดสอบประมาณ 3-4 รอบ ก่อน จึงทดสอบน้ำทึ้งในรอบท้ายๆ) ถ้ายังมีตะกอนขาวขุ่น ซึ่งเป็นตะกอนของ AgCl แสดงว่ายัง ล้างเกลือออกจากการผงผลึกไม่หมด ทำการล้างจนกระทั่งไม่มีเกลือเหลืออยู่แล้ว จึงทำแห้งผงผลึก $Pb(Zr_{0.52}Ti_{0.48})O_3$ นำผงผลึก $Pb(Zr_{0.52}Ti_{0.48})O_3$ ที่ล้างเกลือหมดแล้วทุกอุณหภูมิแคลใจน์ไป รีเคราะห์การก่อเกิดเฟสที่เกิดขึ้นด้วยเทคนิคการเสี่ยงเบนของรังสีเอกซ์ และตรวจสอบ โครงสร้างจุลภาคของผงผลึกที่ได้โดยใช้กล้องจุลทรรศน์อิเล็กตรอนแบบส่องกราด แผนผัง แสดงขั้นตอนการเตรียมและตรวจสอบผงผลึก $Pb(Zr_{0.52}Ti_{0.48})O_3$ แสดงดังแผนผังในรูป 3.10

ขั้นตอนการเตรียมผงผลึก $Pb(Zr_{0.52}Ti_{0.48})O_3$ โดยวิธีมิกซ์օกไซด์ และperc่าอุณหภูมิ การเผาแคลใจน์



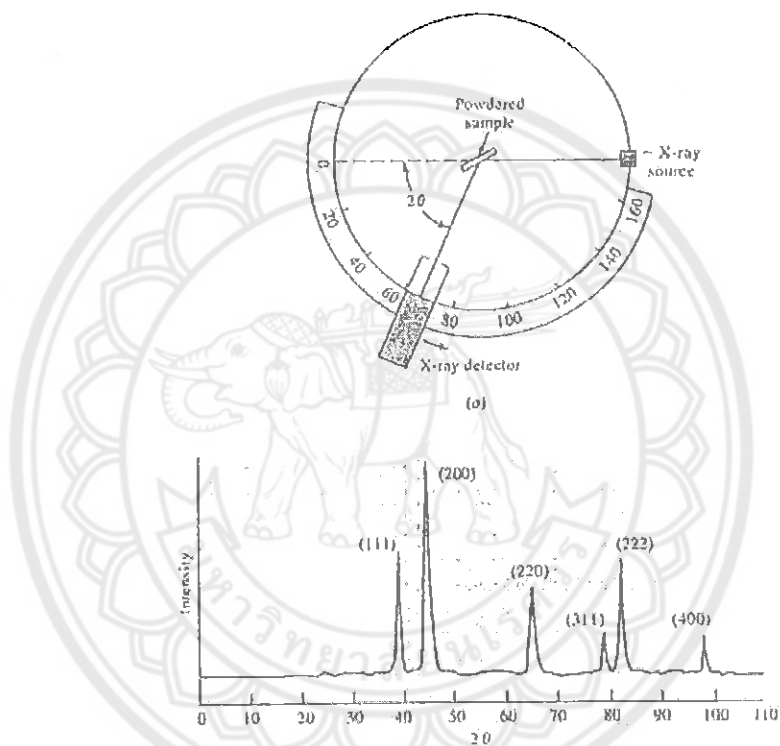
รูป 3.9 แผนผังการเตรียมผงผลึก $Pb(Zr_{0.52}Ti_{0.48})O_3$ โดยวิธีมิกซ์օกไซด์ และperc่าอุณหภูมิการเผาแคลใจน์

ขั้นตอนการเตรียมผงพลีก $Pb(Zr_{0.52}Ti_{0.48})O_3$ โดยวิธีเกลือหลอมเหลว และแปรค่าอุณหภูมิการเผาเคลือบไซน์

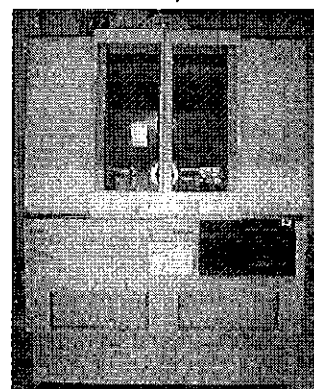


รูป 3.10 แผนผังการเตรียมผงพลีก $Pb(Zr_{0.52}Ti_{0.48})O_3$ โดยวิธีเกลือหลอมเหลว และแปรค่าอุณหภูมิการเผาเคลือบไซน์

ของการเลี้ยวเบนของรังสีเอกซ์ที่ตรวจสอบได้มาเปรียบเทียบกับข้อมูลของสารชนิดต่างๆ ที่มีอยู่ในฐานข้อมูลมาตรฐาน (JCPDS files) เพื่อตรวจสอบชนิดของเฟสที่เกิดขึ้นได้ โดยเริ่มจากการนำผงและชิ้นงานเซรามิกที่เตรียมได้มาแพดใส่ใน holder จากนั้นนำไปวางที่บริเวณซองสำหรับวิจัยในเครื่อง X-ray diffractometer (รูป 3.13) และจึงเดินเครื่องโดยใช้เบ้าทองแดง (CuK_{α}) ที่ให้รังสีเอกซ์ค่าความยาวคลื่นประมาณ 1.540562 \AA ออกมาด้วย step ประมาณ 0.01 องศาต่อวินาที จากค่ามุม 2 θ ที่ 10 องศา ไปจนถึงค่ามุม 2 θ ที่ 60 องศา



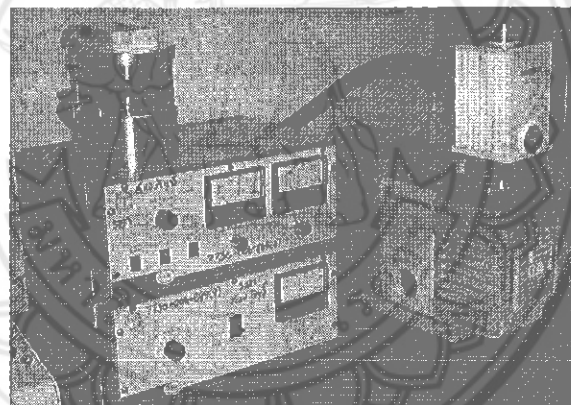
รูป 3.12 หลักการตรวจสอบเฟสด้วยเทคนิค XRD และตัวอย่างรูปแบบการเลี้ยวเบนของรังสีเอกซ์



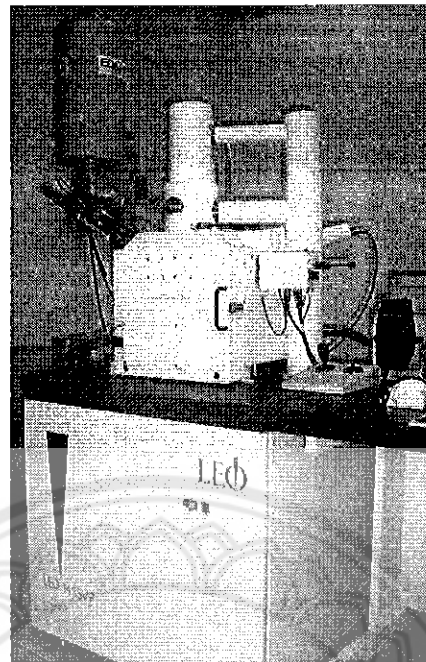
รูป 3.13 เครื่อง X-ray diffractometer รุ่น X'Pert บริษัท Philips

3.5 การตรวจสอบโครงสร้างจุลภาคของผงพลีก $(0.7)\text{BaTiO}_3-(0.3)\text{Bi}_{0.5}\text{Na}_{0.5}\text{TiO}_3$ และผงพลีก $\text{Pb}(\text{Zr}_{0.52}\text{Ti}_{0.48})\text{O}_3$

นำผงพลีก $(0.7)\text{BaTiO}_3-(0.3)\text{Bi}_{0.5}\text{Na}_{0.5}\text{TiO}_3$ ที่เผาแคลไชน์ที่อุณหภูมิ 500, 600, 700, 800 และ 900°C เป็นเวลา 2 ชั่วโมง ที่เตรียมโดยวิธีมิกซ์ออกไซด์ และวิธีเกลือหลอมเหลว และผงพลีก $\text{Pb}(\text{Zr}_{0.52}\text{Ti}_{0.48})\text{O}_3$ ที่เผาแคลไชน์ที่อุณหภูมิ 600, 650, 700, 750 และ 800°C เป็นเวลา 2 ชั่วโมง เตรียมโดยวิธีมิกซ์ออกไซด์ และวิธีเกลือหลอมเหลว มาทำการตรวจสอบลักษณะของโครงสร้างจุลภาค เพื่อนำข้อมูลที่ได้มาใช้ประกอบในการอธิบายลักษณะรูปร่างและการเก้าอี้ตัวของผงเซรามิก โดยนำผงเซรามิกที่ต้องการตรวจสอบมาโรยบนฐานว่างสาร (sample holder) ที่ติดด้วยเทปภาวดี (carbon tape) และทำการเคลือบผิวของชิ้นงานด้วยทองคำโดยใช้เทคนิค sputtering ด้วยเครื่อง Sputter Coater ดังรูป 3.14 จากนั้นจึงนำไปทำการตรวจสอบด้วยกล้องจุลทรรศน์อิเล็กตรอนแบบส่องกราด (SEM) ดังรูป 3.15



รูป 3.14 เครื่อง Sputter coater รุ่น SC7620



รูป 3.15 กล้องจุลทรรศน์อิเล็กตรอนแบบส่องกราด บริษัท LEO รุ่น 1455VP

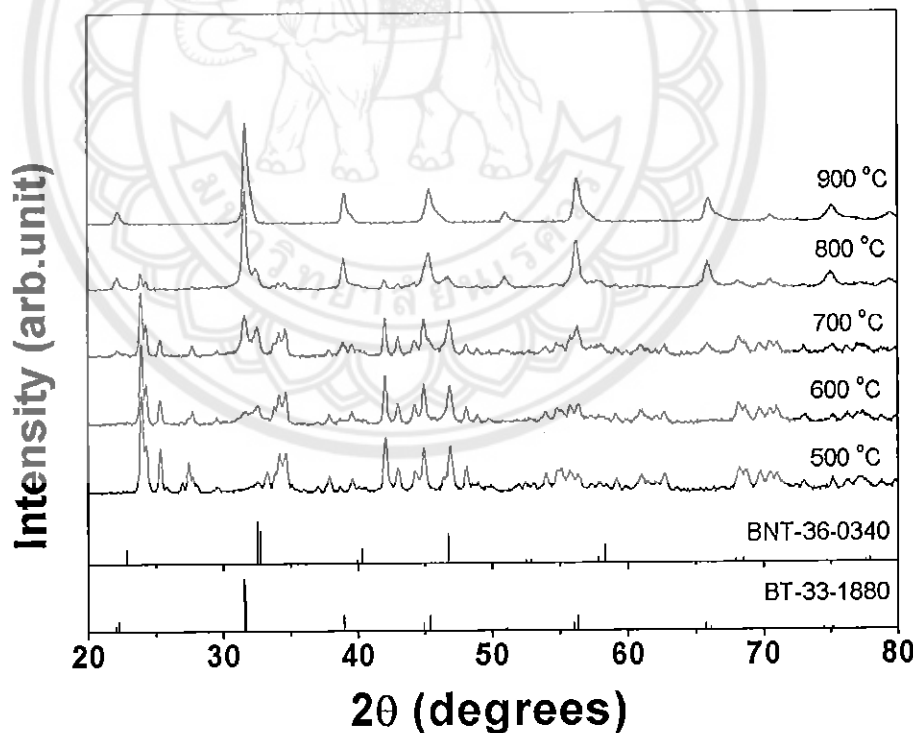
บทที่ 4

ผลการวิจัย และการอภิปรายผล

4.1 ผลการตรวจสอบโครงสร้างเฟสของผงพลีก $(0.7)\text{BaTiO}_3-(0.3)\text{Bi}_{0.5}\text{Na}_{0.5}\text{TiO}_3$ ที่เตรียมโดยวิธีมิกซ์ออกไซด์

จากการเตรียมผงพลีก $(0.7)\text{BaTiO}_3-(0.3)\text{Bi}_{0.5}\text{Na}_{0.5}\text{TiO}_3$ โดยวิธีมิกซ์ออกไซด์ ได้ทำการแปรค่าอุณหภูมิในการเผาแคลไนซ์ที่ $500, 600, 700, 800$ และ $900\text{ }^{\circ}\text{C}$ เป็นเวลา 2 ชั่วโมง ด้วยอัตราการให้ความร้อน $5\text{ }^{\circ}\text{C}/\text{นาที}$ นำมาอีกคราวหนึ่งที่ $500\text{ }^{\circ}\text{C}$ สำหรับการก่อเกิดเฟสโดยใช้เทคนิคการเลี้ยวเบนของรังสีเอกซ์ (XRD) เพื่อหาเงื่อนไขที่เหมาะสมในการเผาแคลไนซ์แล้วให้ได้เฟสบริสุทธิ์ของผงพลีก รูปแบบการเลี้ยวเบนของรังสีเอกซ์ของผงพลีก $(0.7)\text{BaTiO}_3-(0.3)\text{Bi}_{0.5}\text{Na}_{0.5}\text{TiO}_3$ ที่เผาแคลไนซ์ที่อุณหภูมิต่างๆ ที่เตรียมโดยวิธีมิกซ์ออกไซด์ แสดงได้ดังรูป

4.1



รูป 4.1 รูปแบบการเลี้ยวเบนของรังสีเอกซ์ของผงพลีก $(0.7)\text{BaTiO}_3-(0.3)\text{Bi}_{0.5}\text{Na}_{0.5}\text{TiO}_3$ ที่เผาแคลไนซ์ ณ อุณหภูมิ $500 - 900\text{ }^{\circ}\text{C}$ เป็นเวลา 2 ชั่วโมง ด้วยอัตราการให้ความร้อน $5\text{ }^{\circ}\text{C}/\text{นาที}$ ที่เตรียมโดยวิธีมิกซ์ออกไซด์

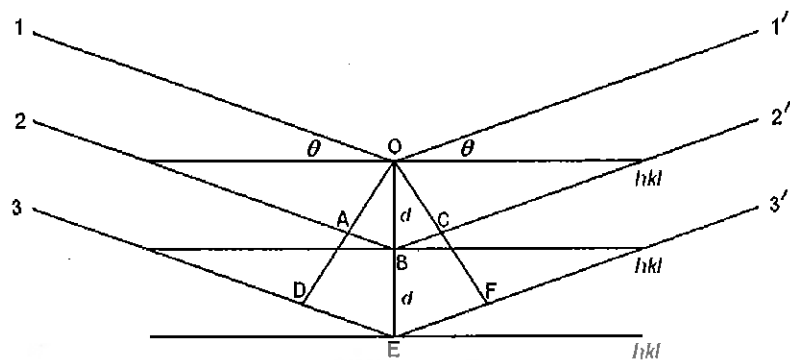
ตรวจสอบความบริสุทธิ์ของผงผลึก $(0.7)\text{BaTiO}_3-(0.3)\text{Bi}_{0.5}\text{Na}_{0.5}\text{TiO}_3$ และผงผลึก $\text{Pb}(\text{Zr}_{0.52}\text{Ti}_{0.48})\text{O}_3$ ที่เตรียมโดยวิธีมิกซ์ออกไซด์ และวิธีเกลี่อหลอมเหลว และเพาแคลลไซน์ทุกอุณหภูมิตัวอย่างเทคนิคการเลี้ยวเบนของรังสีเอกซ์ (XRD) และคำนวณหาความบริสุทธิ์จากสมการที่ (3.3) [27]

$$\text{ร้อยละความบริสุทธิ์ (\%)} = \frac{I_p}{(I_p + I_i)} \times 100 \quad (3.3)$$

โดยที่ I_p แทนค่าความเข้มสูงสุดของพีด X-ray ของเฟสหลัก I_i แทนค่าความเข้มสูงสุดของพีด X-ray ของเฟสแบลกบลอน



3.4 การตรวจสอบเฟสด้วยเทคนิคการเลี้ยวเบนของรังสีเอกซ์



รูป 3.11 การเลี้ยวเบนของรังสีเอกซ์จากการนาบของอะตอม [28]

ผลึกที่มีการวางแผนเรียงตัวของอะตอมอย่างเป็นระเบียบเป็นชั้นๆ บนชุดระนาบ (hkl) ดังรูป 3.11 เมื่อเกิดการกระเจิงของรังสีเอกซ์จากชั้นอะตอมเหล่านี้ ณ มุม θ ถ้าคลื่นที่เลี้ยวเบนออกมานี้มีเฟสเดียวกัน จะเกิดการรวมกันแบบเสริมกันได้เมื่อจะต้องมีระยะทางเดินของคลื่นต่างกันอยู่เป็นจำนวนเท่าของความยาวคลื่น ซึ่งสามารถเขียนได้ดังสมการ (3.4) โดยเรียกสมการนี้ว่ากฎของแบร็ก (Bragg's law)

$$2d \sin \theta = n\lambda \quad (3.4)$$

เมื่อ d เป็นระยะห่างระหว่างระนาบของผลึก ($h k l$)

θ เป็นมุมระหว่างรังสีตกกระทบกับระนาบของผลึก

n เป็นเลขจำนวนเต็มใดๆ $= 1, 2, 3, \dots$

λ เป็นความยาวคลื่นของรังสีเอกซ์

ผลึกแต่ละชนิดจะมีขนาดและการจัดเรียงตัวของอะตอมภายในที่แตกต่างกัน เมื่อนำมาตรวจสอบด้วยวิธีการเลี้ยวเบนของรังสีเอกซ์ จะได้รูปแบบการเลี้ยวเบนที่แตกต่างกัน โดยที่รูปแบบของการเลี้ยวเบนของรังสีเอกซ์ของรัศดูแต่ละชนิดนั้นก็จะมีความเฉพาะเจาะจงสำหรับวัสดุนั้นๆ ดังนั้นเมื่อนำเครื่องมือสำหรับตรวจวัด (detector) มารองรับรังสีเอกซ์ที่กระเจิงออกมารากวัสดุในตำแหน่งต่างๆ ก็จะสามารถตรวจสอบได้ว่าวัสดุนั้นเป็นวัสดุหรือสารชนิดใด โดยพิจารณาจากข้อมูลของความสัมพันธ์ระหว่างค่ามุมของแบร็ก (Bragg's angle) และความเข้มของพิครังสีเอกซ์ของรูปแบบการเลี้ยวเบนที่ปรากฏ (รูป 3.12) ซึ่งดังที่ได้กล่าวมาแล้วว่าสารแต่ละชนิดจะมีรูปแบบของการเลี้ยวเบนที่เป็นลักษณะเฉพาะแตกต่างกันไป จึงสามารถนำรูปแบบ

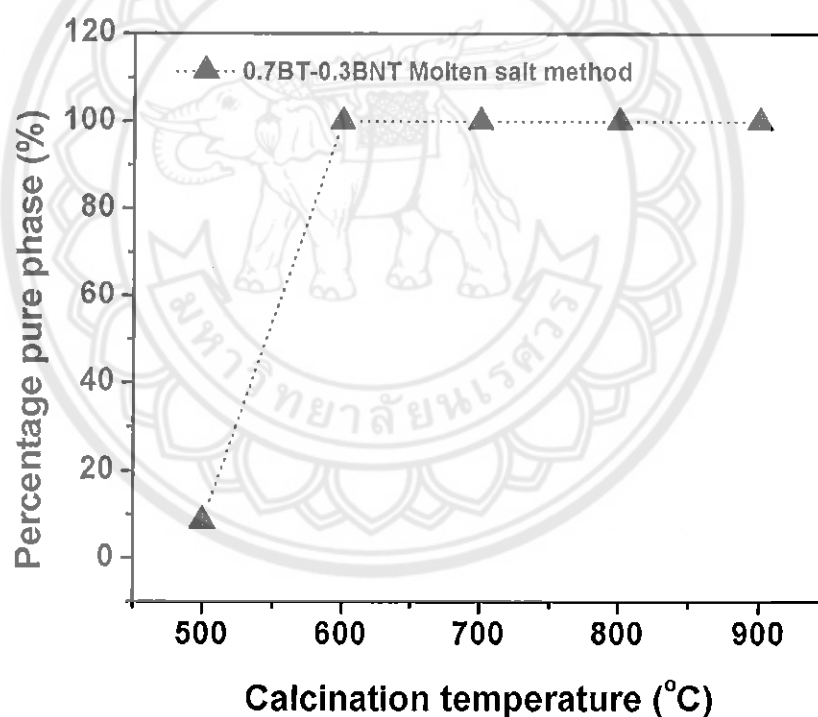
จากรูป 4.1 พบว่ารูปแบบการเลี้ยวเบนของรังสีเอกซ์ของผงผลึก $(0.7)\text{BaTiO}_3-(0.3)\text{Bi}_{0.5}\text{Na}_{0.5}\text{TiO}_3$ ที่ทำการเผาเคลือบใน อุณหภูมิ $500 - 700^\circ\text{C}$ นั้น พบว่ายังไม่เป็นเฟลบริสุทธิ์เมื่อเทียบกับข้อมูลมาตรฐานของผงผลึก BaTiO_3 ในแฟ้มข้อมูลมาตรฐาน JCPDS หมายเลข 33-1880 [29] และข้อมูลมาตรฐานของผงผลึก $\text{Bi}_{0.5}\text{Na}_{0.5}\text{TiO}_3$ ในแฟ้มข้อมูลมาตรฐาน JCPDS หมายเลข 36-0340 [30] และเมื่ออุณหภูมิเคลือบในแฟ้มขึ้นเป็น 800°C พบว่ามีการฟอร์มตัวเป็นเฟลบริสุทธิ์ของผงผลึก $(0.7)\text{BaTiO}_3-(0.3)\text{Bi}_{0.5}\text{Na}_{0.5}\text{TiO}_3$ มากขึ้น จนกระทั่งอุณหภูมิในการเผาเคลือบเป็น 900°C พบว่าผงผลึก $(0.7)\text{BaTiO}_3-(0.3)\text{Bi}_{0.5}\text{Na}_{0.5}\text{TiO}_3$ มีเฟลบริสุทธิ์ทั้งหมด เมื่อทำการคำนวณหาร้อยละความบริสุทธิ์ของผงผลึก $(0.7)\text{BaTiO}_3-(0.3)\text{Bi}_{0.5}\text{Na}_{0.5}\text{TiO}_3$ ที่เตรียมโดยวิธีมิกซ์ออกไซด์ และเผาเคลือบใน อุณหภูมิต่างๆ ตามสมการที่ (3.3) [27] ได้ดังตาราง 4.1 และดังกราฟในรูป 4.2

ตาราง 4.1 ค่าร้อยละความบริสุทธิ์ของผงผลึก $(0.7)\text{BaTiO}_3-(0.3)\text{Bi}_{0.5}\text{Na}_{0.5}\text{TiO}_3$ ที่เตรียมโดยวิธีมิกซ์ออกไซด์ เผาเคลือบใน อุณหภูมิ $500-900^\circ\text{C}$

อุณหภูมิเคลือบ ($^\circ\text{C}$)	ร้อยละความบริสุทธิ์ (%)
500	7.32
600	9.69
700	20.82
800	51.69
900	100.00

ตาราง 4.2 ค่าร้อยละความบริสุทธิ์ของผงพลีก $(0.7)\text{BaTiO}_3-(0.3)\text{Bi}_{0.5}\text{Na}_{0.5}\text{TiO}_3$ ที่เตรียมโดยวิธีเกลือหลอมเหลว เผาเคล็อกซ์ ณ อุณหภูมิ $500\text{--}900\text{ }^\circ\text{C}$

อุณหภูมิเคล็อกซ์ ($^\circ\text{C}$)	ร้อยละความบริสุทธิ์ (%)
500	8.54
600	100.00
700	100.00
800	100.00
900	100.00



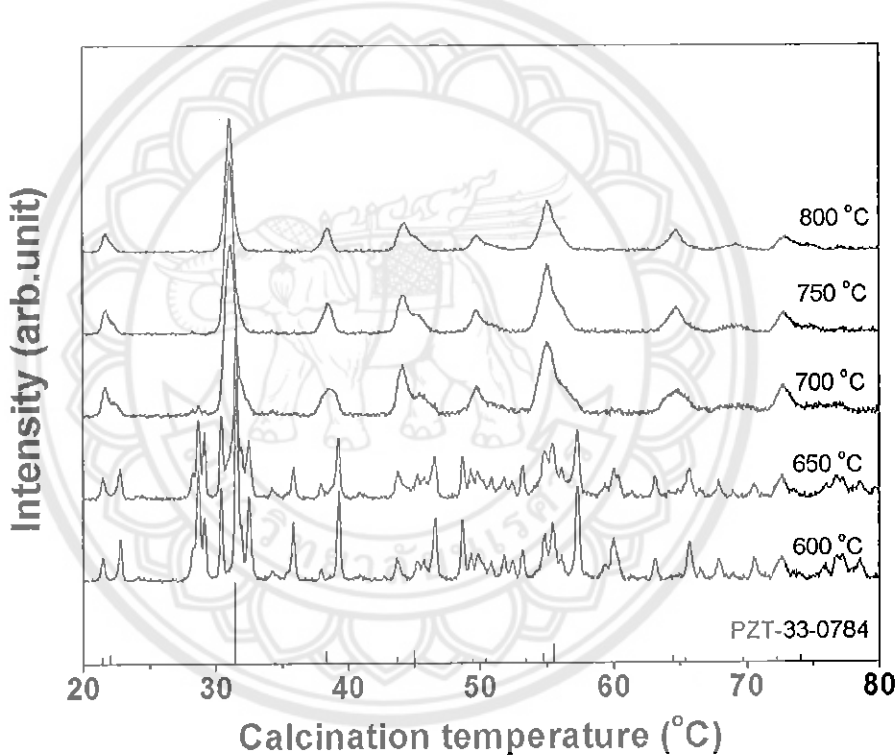
รูป 4.4 กราฟร้อยละความบริสุทธิ์ของผงพลีก $(0.7)\text{BaTiO}_3-(0.3)\text{Bi}_{0.5}\text{Na}_{0.5}\text{TiO}_3$ ที่เผาเคล็อกซ์ ณ อุณหภูมิ $500\text{--}900\text{ }^\circ\text{C}$ เป็นเวลา 2 ชั่วโมง ด้วยอัตราการให้ความร้อน $5\text{ }^\circ\text{C}/\text{นาที}$ ที่เตรียมโดยวิธีเกลือหลอมเหลว

จากตาราง 4.2 และจากการพิจารณาในรูป 4.4 พบว่าความบริสุทธิ์ของผงผลึก $(0.7)\text{BaTiO}_3 - (0.3)\text{Bi}_{0.5}\text{Na}_{0.5}\text{TiO}_3$ ที่เตรียมโดยวิธีเกลือหลอมเหลวันั้น มีความบริสุทธิ์ของผงผลึกเป็น 100% ตั้งแต่อุณหภูมิการเผาแคลเซนเป็น $600\text{ }^{\circ}\text{C}$ ขึ้นไป โดยเผาแห้ง 2 ชั่วโมง ซึ่งเมื่อเทียบกับวิธีการเตรียมผงผลึกเดียว กันนี้โดยวิธีมิกซ์ออกไซด์เพียงอย่างเดียวพบว่า สามารถลดอุณหภูมิในการเผาแคลเซนได้ถึง $300\text{ }^{\circ}\text{C}$ แต่เงื่อนไขที่เหมาะสมนี้ จะพิจารณาลักษณะของผงผลึกจากภาพถ่าย SEM ร่วมด้วย



4.3 ผลการตรวจสอบโครงสร้างเฟสของผงผลึก $Pb(Zr_{0.52}Ti_{0.48})O_3$ ที่เตรียมโดยวิธีมิกซ์ออกไซด์

จากการเตรียมผงผลึก $Pb(Zr_{0.52}Ti_{0.48})O_3$ โดยวิธีมิกซ์ออกไซด์ ได้ทำการแปรค่าอุณหภูมิในการเผาแคลไชน์ที่ 600, 650, 700, 750 และ 800 °C เป็นเวลา 2 ชั่วโมง ด้วยอัตราการให้ความร้อน 5 °C/นาที นำมาวิเคราะห์การก่อเกิดเฟสโดยใช้เทคนิคการเลี้ยวเบนของรังสีเอกซ์ (XRD) เพื่อหาเงื่อนไขที่เหมาะสมในการเผาแคลไชน์แล้วให้ได้เฟสบริสุทธิ์ของผงผลึก รูปแบบการเลี้ยวเบนของรังสีเอกซ์ของผงผลึก $Pb(Zr_{0.52}Ti_{0.48})O_3$ ที่เผาแคลไชน์ที่อุณหภูมิต่างๆ ที่เตรียมโดยวิธีมิกซ์ออกไซด์ แสดงได้ดังรูป 4.5



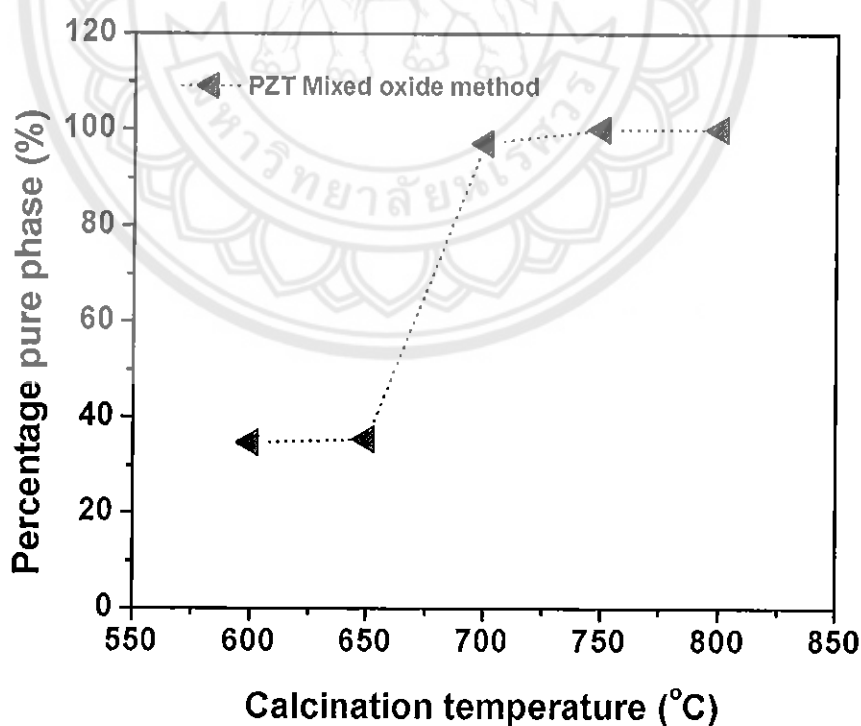
รูป 4.5 รูปแบบการเลี้ยวเบนของรังสีเอกซ์ของผงผลึก $Pb(Zr_{0.52}Ti_{0.48})O_3$ ที่เผาแคลไชน์ ณ อุณหภูมิ 600 – 800 °C เป็นเวลา 2 ชั่วโมง ด้วยอัตราการให้ความร้อน 5 °C/นาที ที่เตรียมโดยวิธีมิกซ์ออกไซด์

จากรูป 4.5 พบรูปแบบการเลี้ยวเบนของรังสีเอกซ์ของผงผลึก $Pb(Zr_{0.52}Ti_{0.48})O_3$ ที่ทำการเผาแคลไชน์ ณ อุณหภูมิ 600 – 650 °C นั้น พบร่วมกับเป็นเฟสบริสุทธิ์เมื่อเทียบกับข้อมูลมาตรฐานของผงผลึก $Pb(Zr_{0.52}Ti_{0.48})O_3$ ในแฟ้มข้อมูลมาตรฐาน JCPDS หมายเลข 33-0784 [31] และเมื่ออุณหภูมิแคลไชน์เพิ่มขึ้นเป็น 700 °C พบร่วมกับการพอร์เมต์เป็นเฟสบริสุทธิ์ของผงผลึก $Pb(Zr_{0.52}Ti_{0.48})O_3$ หากขึ้นจนกระทั่งอุณหภูมิในการเผาแคลไชน์เป็น 750 °C พบร่วม

ผงพลีก $\text{Pb}(\text{Zr}_{0.52}\text{Ti}_{0.48})\text{O}_3$ มีเฟสบริสุทธิ์ทั้งหมด และพบว่าพีคที่ได้จะเป็นพีคเดียวเป็นส่วนมาก เมื่อทำการคำนวณหาร้อยละความบริสุทธิ์ของผงพลีก $\text{Pb}(\text{Zr}_{0.52}\text{Ti}_{0.48})\text{O}_3$ ที่เตรียมโดยวิธีมิกซ์ออกไซด์ เผาเคลล์ไซน์ ณ อุณหภูมิต่างๆ ตามสมการที่ (3.3) [27] ได้ดังตาราง 4.3 และดังกราฟในรูป 4.6

ตาราง 4.3 ค่าร้อยละความบริสุทธิ์ของผงพลีก $\text{Pb}(\text{Zr}_{0.52}\text{Ti}_{0.48})\text{O}_3$ ที่เตรียมโดยวิธีมิกซ์ออกไซด์ เผาเคลล์ไซน์ ณ อุณหภูมิ $600\text{--}800\text{ }^\circ\text{C}$

อุณหภูมิเคลล์ไซน์ ($^\circ\text{C}$)	ร้อยละความบริสุทธิ์ (%)
600	34.72
650	35.50
700	97.14
750	100.00
800	100.00

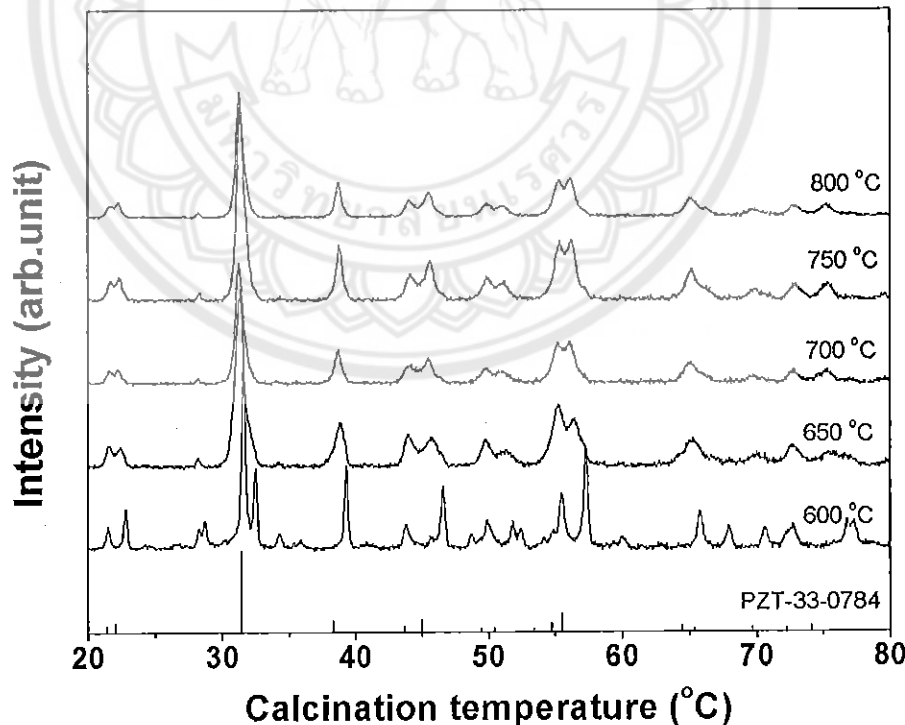


รูป 4.6 กราฟร้อยละความบริสุทธิ์ของผงพลีก $\text{Pb}(\text{Zr}_{0.52}\text{Ti}_{0.48})\text{O}_3$ ที่เผาเคลล์ไซน์ ณ อุณหภูมิ $600\text{--}800\text{ }^\circ\text{C}$ เป็นเวลา 2 ชั่วโมง ด้วยอัตราการให้ความร้อน $5\text{ }^\circ\text{C}/\text{นาที}$ ที่เตรียมโดยวิธีมิกซ์ออกไซด์

จากตาราง 4.3 และจากการในรูป 4.6 พบว่าความบริสุทธิ์ของพงผลีก $\text{Pb}(\text{Zr}_{0.52}\text{Ti}_{0.48})\text{O}_3$ ที่เตรียมโดยวิธีมิกซ์ออกไซด์เพียงอย่างเดียวันนี้มีค่าเพิ่มขึ้นเมื่ออุณหภูมิในการเผาแคล์ไซน์สูงขึ้น และมีความบริสุทธิ์ของพงผลีกเป็น 100% เมื่ออุณหภูมิการเผาแคล์ไซน์เป็น 750°C โดยเผาชั้นนาน 2 ชั่วโมง

4.4 ผลการตรวจสอบโครงสร้างเฟสของพงผลีก $\text{Pb}(\text{Zr}_{0.52}\text{Ti}_{0.48})\text{O}_3$ ที่เตรียมโดยวิธีเกลือหลอมเหลว

จากการเตรียมพงผลีก $\text{Pb}(\text{Zr}_{0.52}\text{Ti}_{0.48})\text{O}_3$ โดยวิธีเกลือหลอมเหลว ได้ทำการแบรคต์อุณหภูมิในการเผาแคล์ไซน์ที่ $600, 650, 700, 750$ และ 800°C เป็นเวลานาน 2 ชั่วโมง ด้วยอัตราการให้ความร้อน $5^{\circ}\text{C}/\text{นาที}$ นำมายังเครื่องการก่อเกิดเฟสโดยใช้เทคนิคการเลี้ยวเบนของรังสีเอกซ์ (XRD) เพื่อหาเงื่อนไขที่เหมาะสมในการเผาแคล์ไซน์แล้วให้ได้เฟสบริสุทธิ์ของพงผลีก รูปแบบการเลี้ยวเบนของรังสีเอกซ์ของพงผลีก $\text{Pb}(\text{Zr}_{0.52}\text{Ti}_{0.48})\text{O}_3$ ที่เผาแคล์ไซน์ที่อุณหภูมิต่างๆ ที่เตรียมโดยวิธีเกลือหลอมเหลว แสดงได้ดังรูป 4.7

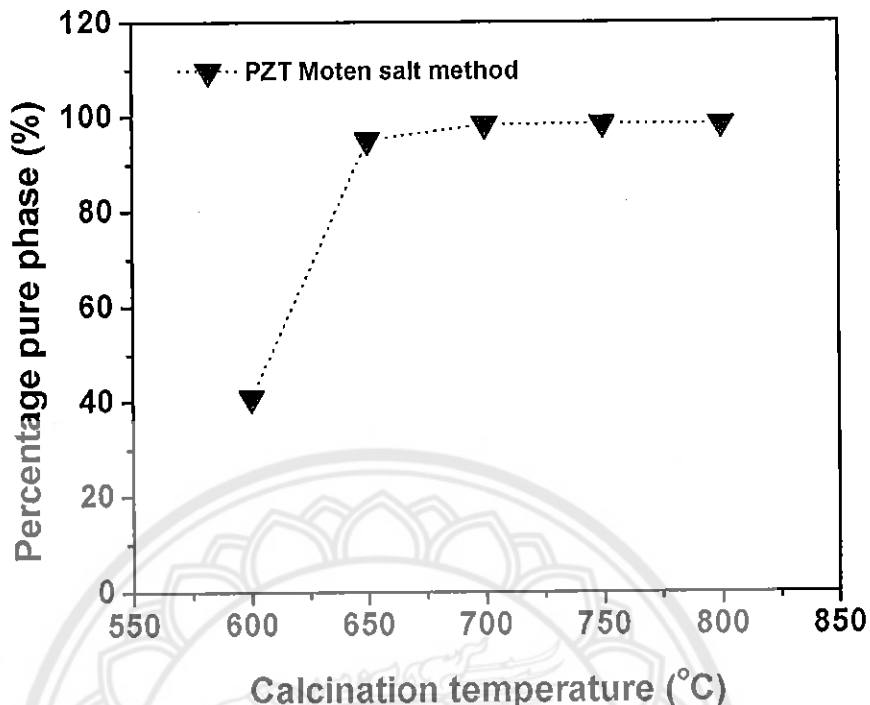


รูป 4.7 รูปแบบการเลี้ยวเบนของรังสีเอกซ์ของพงผลีก $\text{Pb}(\text{Zr}_{0.52}\text{Ti}_{0.48})\text{O}_3$ ที่เผาแคล์ไซน์ ณ อุณหภูมิ $600 - 800^{\circ}\text{C}$ เป็นเวลา 2 ชั่วโมง ด้วยอัตราการให้ความร้อน $5^{\circ}\text{C}/\text{นาที}$ ที่เตรียมโดยวิธีเกลือหลอมเหลว

จากรูป 4.7 พบร้ารูปแบบการเสี้ยวเบนของรังสีเอกซ์ของผงลีก $Pb(Zr_{0.52}Ti_{0.48})O_3$ ที่ทำการเผาเคลือบใน อุณหภูมิ $600^{\circ}C$ นั้น พบร้ายังไม่เป็นเฟสบริสุทธิ์เมื่อเทียบกับข้อมูลมาตรฐานของผงลีก $Pb(Zr_{0.52}Ti_{0.48})O_3$ ในแฟ้มข้อมูลมาตรฐาน JCPDS หมายเลข 33-0784 [31] และเมื่ออุณหภูมิเคลือบไชน์เพิ่มขึ้นเป็น $600^{\circ}C$ พบร้ามีการฟอร์มตัวเป็นเฟสบริสุทธิ์ของผงลีก $Pb(Zr_{0.52}Ti_{0.48})O_3$ สูงขึ้นมาก และพบว่าผงลีก $Pb(Zr_{0.52}Ti_{0.48})O_3$ มีเฟสเกิอบจะบริสุทธิ์ทั้งหมดที่อุณหภูมิเคลือบไชน์ $700, 750, 800^{\circ}C$ และพบว่าผีคที่ได้จะมีความเป็นเตตระโนนอลโดยสังเกตได้จากมุมเสี้ยวเบน $2\theta \sim 21.6^{\circ}, 22.3^{\circ}; 43.6^{\circ}, 44.9^{\circ}; 50.4^{\circ}, 53.4^{\circ}; 55.5^{\circ}, 56.1^{\circ}$ เมื่อทำการคำนวณหาร้อยละความบริสุทธิ์ของผงลีก $Pb(Zr_{0.52}Ti_{0.48})O_3$ ที่เตรียมโดยวิธีเกลือหลอมเหลว และเผาเคลือบไชน์ใน อุณหภูมิต่างๆ ตามสมการที่ (3.3) [27] ได้ดังตาราง 4.4 และดังกราฟในรูป 4.8

ตาราง 4.4 ค่าร้อยละความบริสุทธิ์ของผงลีก $Pb(Zr_{0.52}Ti_{0.48})O_3$ ที่เตรียมโดยวิธีเกลือหลอมเหลว เผาเคลือบไชน์ใน อุณหภูมิ $600-800^{\circ}C$

อุณหภูมิเคลือบไชน์ ($^{\circ}C$)	ร้อยละความบริสุทธิ์ (%)
600	40.91
650	95.08
700	98.38
750	98.54
800	98.57

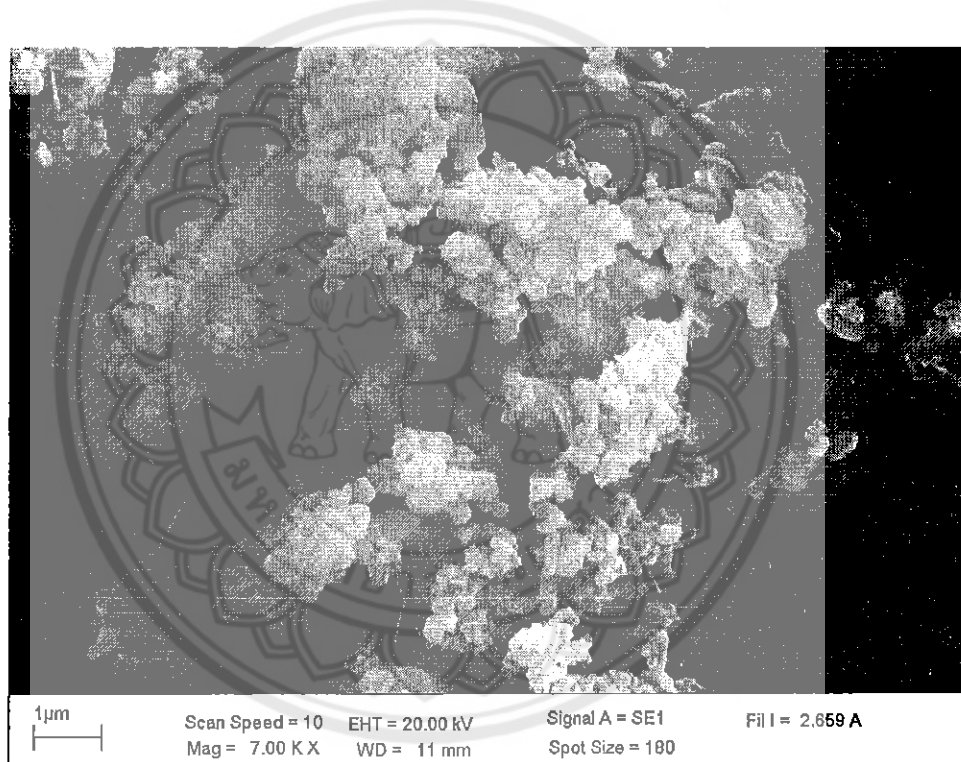


รูป 4.8 กราฟร้อยละความบริสุทธิ์ของผงผลึก $\text{Pb}(\text{Zr}_{0.52}\text{Ti}_{0.48})\text{O}_3$ ที่เผาแคลไชน์ ณ อุณหภูมิ $600 - 800^\circ\text{C}$ เป็นเวลา 2 ชั่วโมง ด้วยอัตราการให้ความร้อน $5^\circ\text{C}/\text{นาที}$ ที่เตรียมโดยวิธีเกลือหลอมเหลว

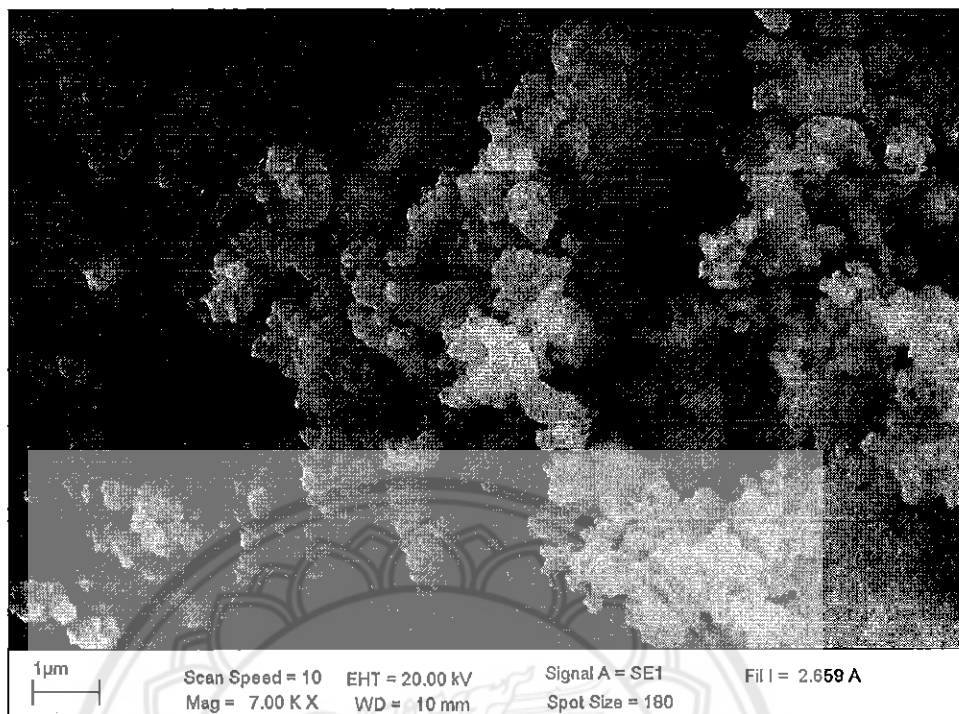
จากตาราง 4.4 และจากกราฟในรูป 4.8 พบร่วมกันว่าความบริสุทธิ์ของผงผลึก $\text{Pb}(\text{Zr}_{0.52}\text{Ti}_{0.48})\text{O}_3$ ที่เตรียมโดยวิธีเกลือหลอมเหลวนั้น มีความบริสุทธิ์ของผงผลึกเกือบเป็น 100% ตั้งแต่อุณหภูมิการเผาแคลไชน์เป็น 700°C ขึ้นไป โดยเผาแห้งนาน 2 ชั่วโมง การที่ความบริสุทธิ์ของผงผลึก $\text{Pb}(\text{Zr}_{0.52}\text{Ti}_{0.48})\text{O}_3$ ไม่เป็น 100% เนื่องจากยังมีพีคเกินที่มุมเลี้ยวบน $2\theta \sim 28.2-28.3^\circ$ ซึ่งพีคเกินนี้อนุมานว่ามาจากการล้างเกลือที่ยังไม่ดีพอ เมื่อเทียบกับวิธีการเตรียมผงผลึกเดียว กันนี้โดยวิธีมิกซ์ออกไซด์เพียงอย่างเดียวพบว่า สามารถลดอุณหภูมิในการเผาแคลไชน์ได้เพียง 50°C แต่เงื่อนไขที่เหมาะสมนี้ จะพิจารณาลักษณะของผงผลึกจากภาพถ่าย SEM ร่วมด้วย

4.5 ผลการศึกษาโครงสร้างจุลภาคของผงพลีก $(0.7)\text{BaTiO}_3-(0.3)\text{Bi}_{0.5}\text{Na}_{0.5}\text{TiO}_3$ ที่เตรียมโดยวิธีมิกซ์ออกไซด์

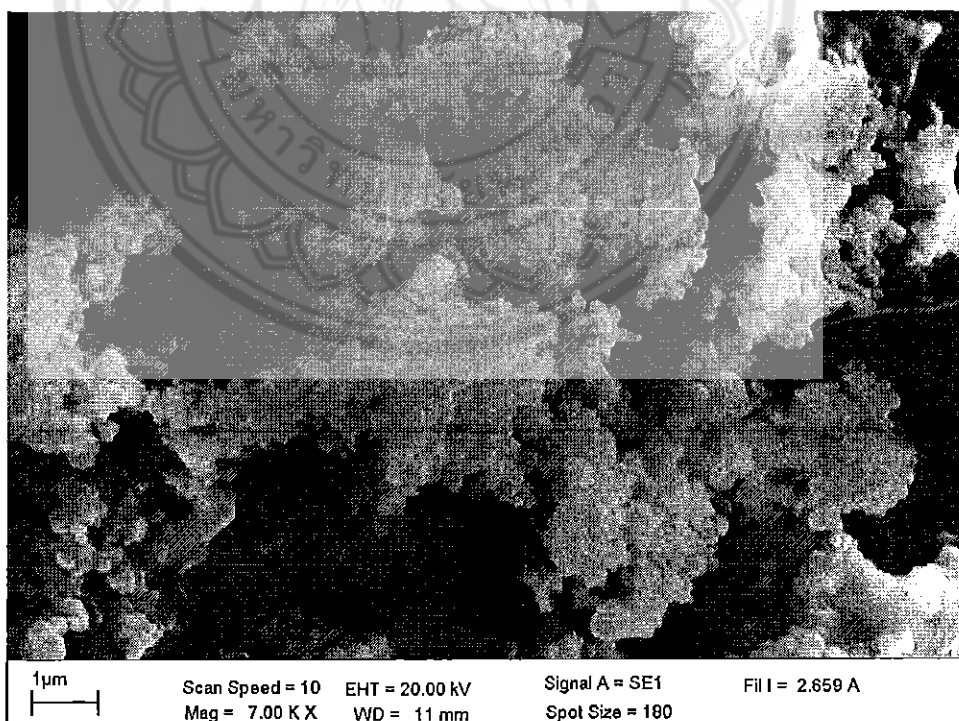
นำผงพลีก $(0.7)\text{BaTiO}_3-(0.3)\text{Bi}_{0.5}\text{Na}_{0.5}\text{TiO}_3$ ที่เตรียมโดยวิธีมิกซ์ออกไซด์ ที่เผาแคลไซน์ที่อุณหภูมิ 500, 600, 700, 800 และ $900\text{ }^{\circ}\text{C}$ นาน 2 ชั่วโมง ไปทำการถ่ายภาพด้วยกล้องจุลทรรศน์อิเล็กตรอนแบบส่องกราด (SEM) เพื่อดูลักษณะรูปร่างของผงพลีกที่ได้ ประกอบกัน กับข้อมูลที่ได้จากการวิเคราะห์ผลจากการ XRD เพื่อนำไปเลือกเงื่อนไขที่เหมาะสมในการเผา แคลไซน์ต่อไป ผลการตรวจสอบด้วยกล้องจุลทรรศน์แบบส่องกราดของผงพลีก $(0.7)\text{BaTiO}_3-(0.3)\text{Bi}_{0.5}\text{Na}_{0.5}\text{TiO}_3$ นี้ เป็นดังรูป 4.9-4.13



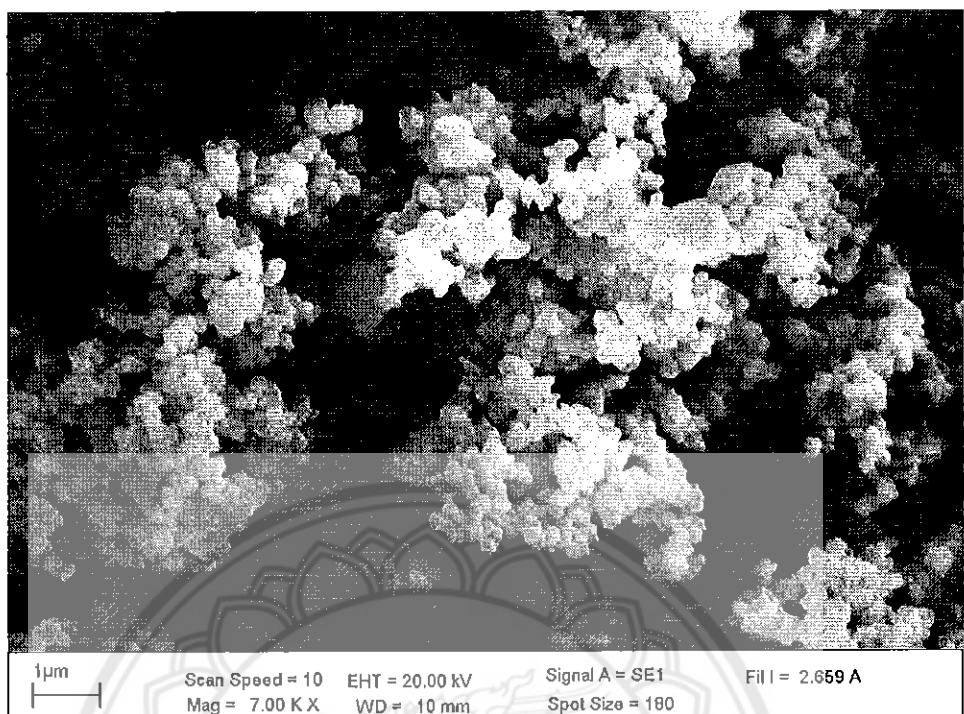
รูป 4.9 ภาพถ่ายด้วยกล้องจุลทรรศน์แบบส่องกราดของผงพลีก $(0.7)\text{BaTiO}_3-(0.3)\text{Bi}_{0.5}\text{Na}_{0.5}\text{TiO}_3$ ที่เตรียมโดยวิธีมิกซ์ออกไซด์ และเผาแคลไซน์ที่อุณหภูมิ $500\text{ }^{\circ}\text{C}$ เป็นเวลา 2 ชั่วโมง



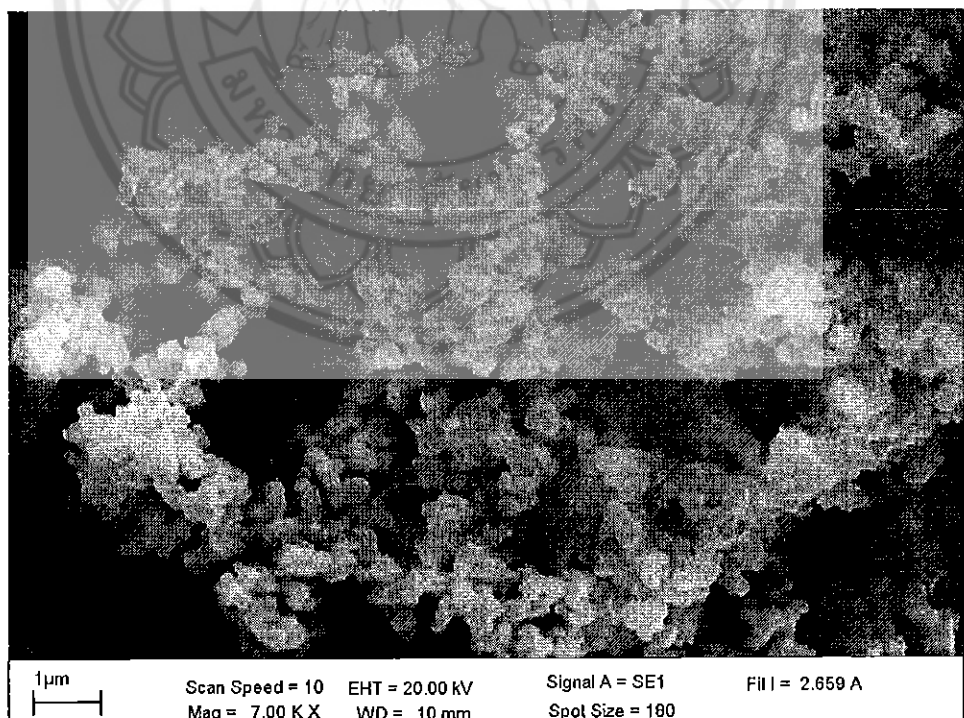
รูป 4.10 ภาพถ่ายด้วยกล้องจุลทรรศน์แบบส่องการดูของผงผลึก $(0.7)\text{BaTiO}_3-(0.3)\text{Bi}_{0.5}\text{Na}_{0.5}\text{TiO}_3$ ที่เตรียมโดยวิธีมิกซ์ออกไซด์ และเผาเคลื่อนที่อุณหภูมิ $600\text{ }^{\circ}\text{C}$ เป็นเวลา 2 ชั่วโมง



รูป 4.11 ภาพถ่ายด้วยกล้องจุลทรรศน์แบบส่องการดูของผงผลึก $(0.7)\text{BaTiO}_3-(0.3)\text{Bi}_{0.5}\text{Na}_{0.5}\text{TiO}_3$ ที่เตรียมโดยวิธีมิกซ์ออกไซด์ และเผาเคลื่อนที่อุณหภูมิ $700\text{ }^{\circ}\text{C}$ เป็นเวลา 2 ชั่วโมง



รูป 4.12 ภาพถ่ายด้วยกล้องจุลทรรศน์แบบส่องการดูของผงผลึก $(0.7)\text{BaTiO}_3-(0.3)\text{Bi}_{0.5}\text{Na}_{0.5}\text{TiO}_3$ ที่เตรียมโดยวิธีมิกซ์ออกไซด์ และเพาแคลใจน์ที่อุณหภูมิ $800\text{ }^{\circ}\text{C}$ เป็นเวลา 2 ชั่วโมง

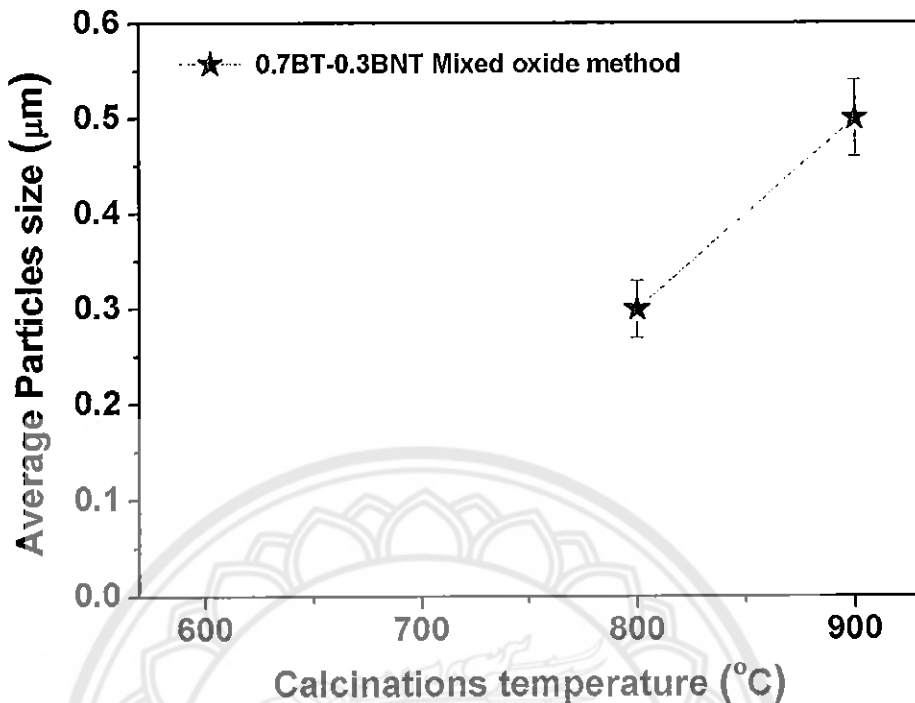


รูป 4.13 ภาพถ่ายด้วยกล้องจุลทรรศน์แบบส่องการดูของผงผลึก $(0.7)\text{BaTiO}_3-(0.3)\text{Bi}_{0.5}\text{Na}_{0.5}\text{TiO}_3$ ที่เตรียมโดยวิธีมิกซ์ออกไซด์ และเพาแคลใจน์ที่อุณหภูมิ $900\text{ }^{\circ}\text{C}$ เป็นเวลา 2 ชั่วโมง

จากรูป 4.9–4.13 ซึ่งเป็นภาพถ่ายจากกล้องจุลทรรศน์อิเล็กตรอนแบบส่องกราด (SEM) ของผงพลีก $(0.7)\text{BaTiO}_3-(0.3)\text{Bi}_{0.5}\text{Na}_{0.5}\text{TiO}_3$ และเพาแคลไชน์ที่อุณหภูมิ 500, 600, 700, 800 และ $900\ ^\circ\text{C}$ ตามลำดับ จะเห็นว่าภาพถ่ายลักษณะของอนุภาคของผงพลีก $(0.7)\text{BaTiO}_3-(0.3)\text{Bi}_{0.5}\text{Na}_{0.5}\text{TiO}_3$ เมื่อทำการเผาแคลไชน์ตั้งแต่อุณหภูมิ $500-700\ ^\circ\text{C}$ ลักษณะของผงพลีกยังคงไม่เป็นเนื้อดียวกันซึ่งสังเกตเห็นมีลักษณะเป็นก้อนเล็กผสมก้อนใหญ่ซึ่งมีรูปร่างไม่เหมือนกันผสมกันอยู่อย่างชัดเจน เมื่อเพิ่มอุณหภูมิในการแคลไชน์เป็น $800\ ^\circ\text{C}$ ขึ้นไป จะเห็นว่าลักษณะของผงพลีกนั้นมีความเป็นเนื้อดียวกัน มีลักษณะเป็นก้อนค่อนข้างกลม ถึงจะมีขนาดเล็กบ้างใหญ่บ้าง แต่ก็มีลักษณะรูปร่างเหมือนกัน และสอดคล้องกับข้อมูลที่ได้ในการวิเคราะห์โดยการเลี้ยวเบนของรังสีเอกซ์ เมื่ออุณหภูมิในการเผาแคลไชน์เป็น 800 และ $900\ ^\circ\text{C}$ ลักษณะของอนุภาคหรือผงพลีกมีความเป็นเนื้อดียวกันมากขึ้น ขนาดของอนุภาคมีแนวโน้มใหญ่ขึ้นแต่ก็ใกล้เคียงกันตั้งแต่อุณหภูมิการเผาแคลไชน์เป็น 800 และ $900\ ^\circ\text{C}$ ดังตาราง 4.5 และดังกราฟในรูป 4.14

ตาราง 4.5 ขนาดของอนุภาคเคลือบและความไม่แน่นอนของการวัดของผงพลีกในระบบ $(0.7)\text{BaTiO}_3-(0.3)\text{Bi}_{0.5}\text{Na}_{0.5}\text{TiO}_3$ เตรียมโดยวิธีมิกซ์คอกาไซด์ เพาแคลไชน์ ณ อุณหภูมิ 800 และ $900\ ^\circ\text{C}$ เป็นเวลา 2 ชั่วโมง

อุณหภูมิการเผาแคลไชน์ ($^\circ\text{C}$)	ขนาดอนุภาคเคลือบ (μm)
800	0.30 ± 0.03
900	0.50 ± 0.04

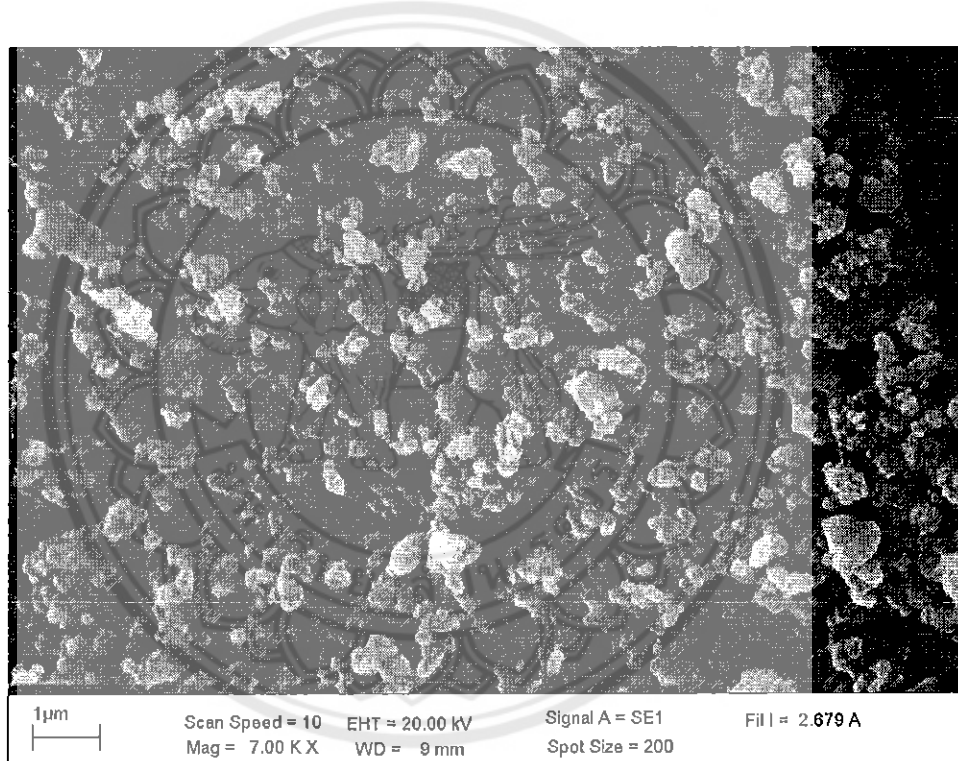


รูป 4.14 ขนาดของอนุภาคเฉลี่ยของผงพลีก $(0.7)\text{BaTiO}_3-(0.3)\text{Bi}_{0.5}\text{Na}_{0.5}\text{TiO}_3$ ที่เตรียมโดยวิธีมิกซ์ออกไซด์ และเผาแคลไชน์ที่อุณหภูมิ 800 และ 900 °C เป็นเวลา 2 ชั่วโมง

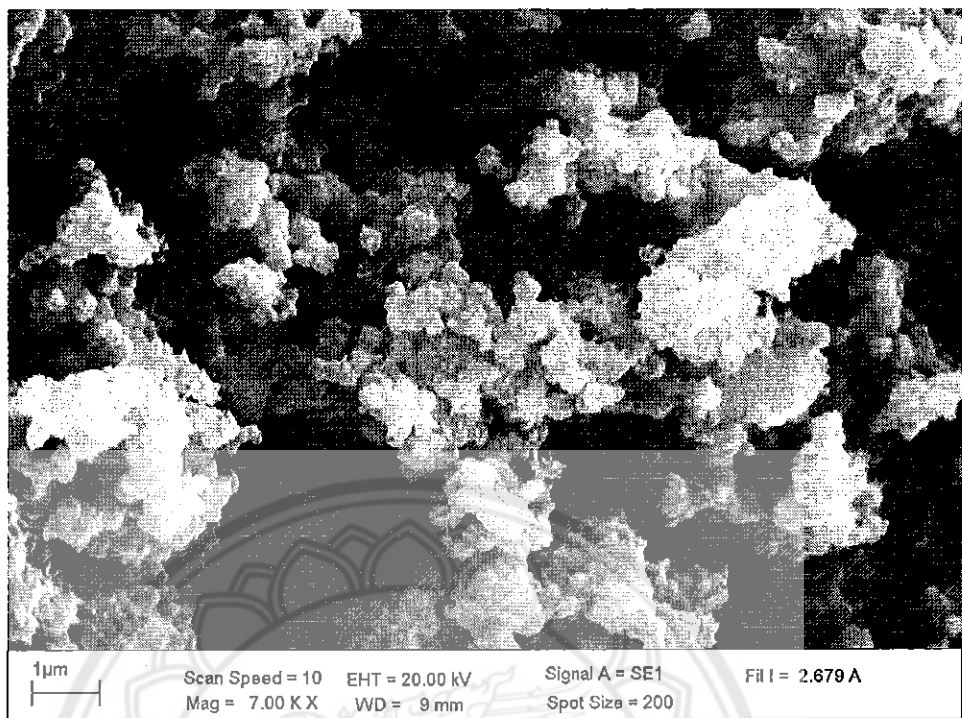
จากข้อมูล XRD ในรูป 4.1 และข้อมูล SEM ในรูป 4.9–4.13 พบร่วมกันว่า ผงพลีก $(0.7)\text{BaTiO}_3-(0.3)\text{Bi}_{0.5}\text{Na}_{0.5}\text{TiO}_3$ ที่เตรียมโดยวิธีมิกซ์ออกไซด์ ฟอร์มตัวเป็นเนื้อเดียวกันตั้งแต่ อุณหภูมิการเผาแคลไชน์เป็น 800 °C แต่ผงพลีกมีรูปร่างลักษณะใกล้เคียงกันมากเมื่ออุณหภูมิ ในการเผาแคลไชน์เป็น 900 °C ซึ่งสอดคล้องกับการคำนวณค่าร้อยละความบริสุทธิ์ของผงพลีก $(0.7)\text{BaTiO}_3-(0.3)\text{Bi}_{0.5}\text{Na}_{0.5}\text{TiO}_3$ ในตาราง 4.1 ดังนั้นเงื่อนไขที่เหมาะสมในการเผาแคลไชน์ผง พลีก $(0.7)\text{BaTiO}_3-(0.3)\text{Bi}_{0.5}\text{Na}_{0.5}\text{TiO}_3$ ที่เตรียมโดยวิธีมิกซ์ออกไซด์คือ เผาแคลไชน์ที่อุณหภูมิ 900 °C เป็นเวลา 2 ชั่วโมง

4.6 ผลการศึกษาโครงสร้างจุลภาคของผงพลีก $(0.7)\text{BaTiO}_3-(0.3)\text{Bi}_{0.5}\text{Na}_{0.5}\text{TiO}_3$ ที่เตรียมโดยวิธีเกลือหลอมเหลว

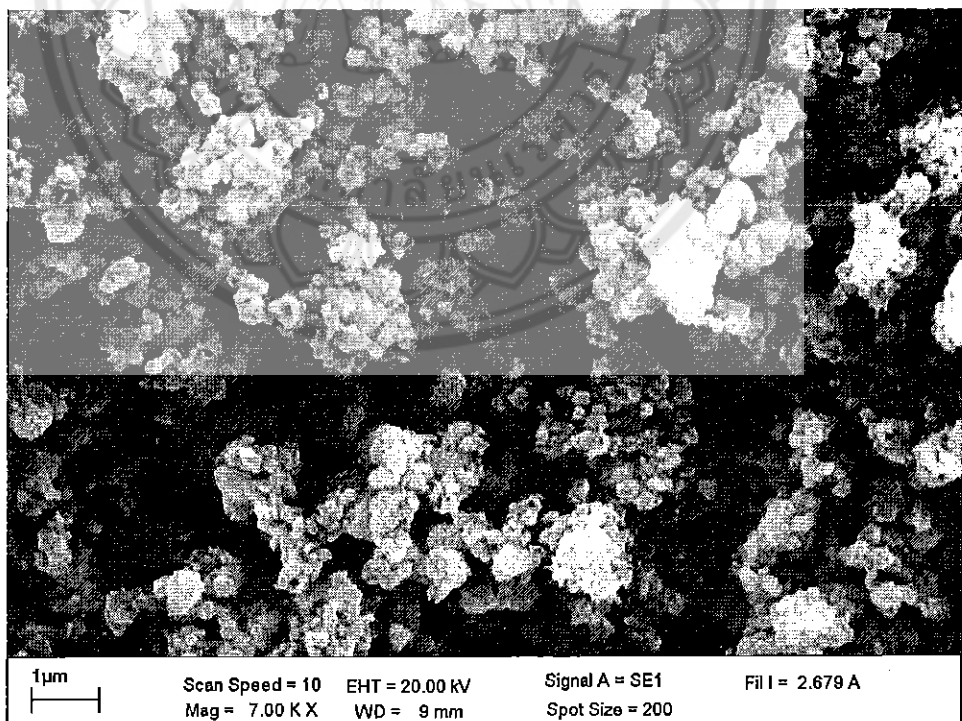
นำผงพลีก $(0.7)\text{BaTiO}_3-(0.3)\text{Bi}_{0.5}\text{Na}_{0.5}\text{TiO}_3$ ที่เตรียมโดยวิธีเกลือหลอมเหลว ที่เผาแคลไซน์ที่อุณหภูมิ 500, 600, 700, 800 และ 900°C นาน 2 ชั่วโมง ไปทำการถ่ายภาพด้วยกล้องจุลทรรศน์อิเล็กตรอนแบบส่องกราด (SEM) เพื่อดูลักษณะรูปร่างของผงพลีกที่ได้ ประกอบกัน กับข้อมูลที่ได้จากการวิเคราะห์ผลจากการ XRD เพื่อนำไปเลือกเงื่อนไขที่เหมาะสมในการเผาแคลไซน์ต่อไป ผลการตรวจสอบด้วยกล้องจุลทรรศน์แบบส่องกราดของผงพลีก $(0.7)\text{BaTiO}_3-(0.3)\text{Bi}_{0.5}\text{Na}_{0.5}\text{TiO}_3$ นี้ เป็นดังรูป 4.15–4.19



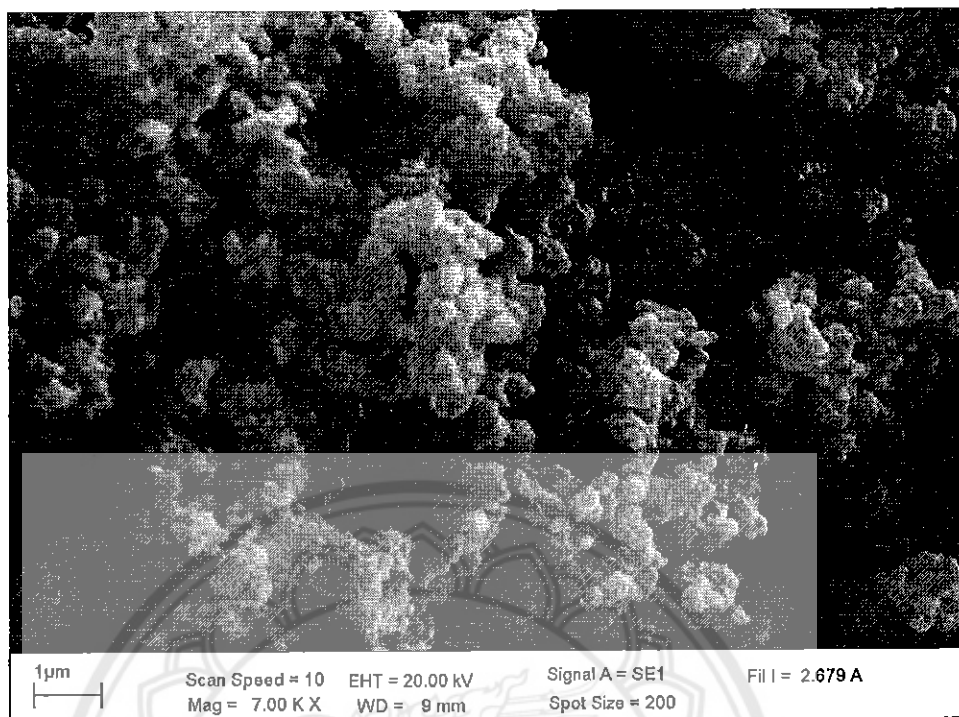
รูป 4.15 ภาพถ่ายด้วยกล้องจุลทรรศน์แบบส่องกราดของผงพลีก $(0.7)\text{BaTiO}_3-(0.3)\text{Bi}_{0.5}\text{Na}_{0.5}\text{TiO}_3$ ที่เตรียมโดยวิธีเกลือหลอมเหลว และเผาแคลไซน์ที่อุณหภูมิ 500°C เป็นเวลา 2 ชั่วโมง



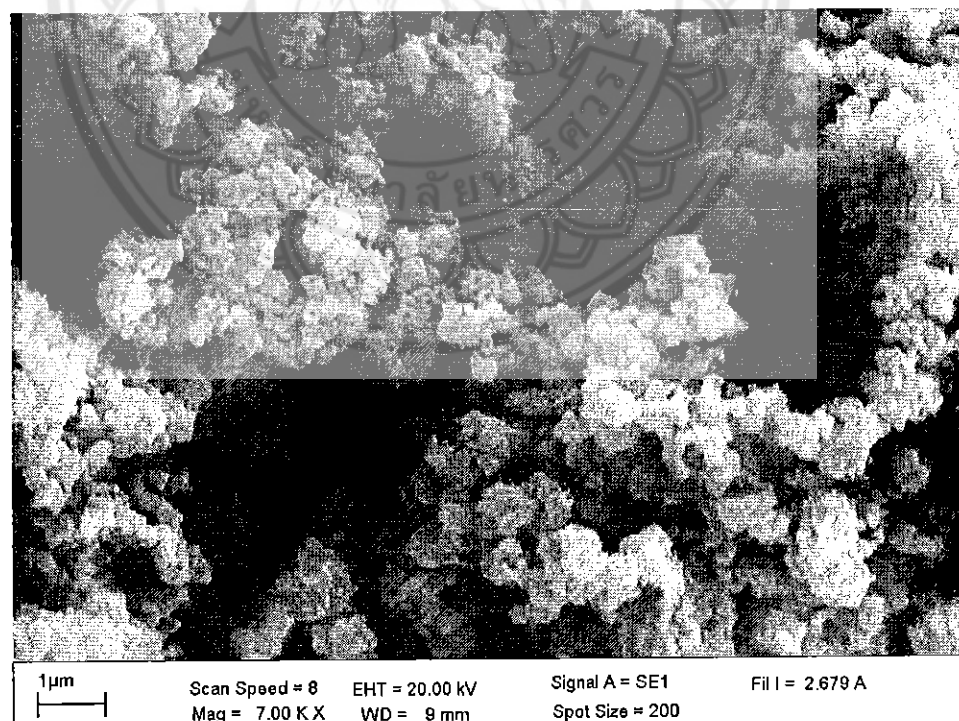
รูป 4.16 ภาพถ่ายด้วยกล้องจุลทรรศน์แบบส่องการดูของผงผลึก $(0.7)\text{BaTiO}_3-(0.3)\text{Bi}_{0.5}\text{Na}_{0.5}\text{TiO}_3$ ที่เตรียมโดยวิธีเกลือหลอมเหลว และเผาแคลไชร์ที่อุณหภูมิ $600\text{ }^{\circ}\text{C}$ เป็นเวลา 2 ชั่วโมง



รูป 4.17 ภาพถ่ายด้วยกล้องจุลทรรศน์แบบส่องการดูของผงผลึก $(0.7)\text{BaTiO}_3-(0.3)\text{Bi}_{0.5}\text{Na}_{0.5}\text{TiO}_3$ ที่เตรียมโดยวิธีเกลือหลอมเหลว และเผาแคลไชร์ที่อุณหภูมิ $700\text{ }^{\circ}\text{C}$ เป็นเวลา 2 ชั่วโมง



รูป 4.18 ภาพถ่ายด้วยกล้องจุลทรรศน์แบบส่องกราดของผงผลึก $(0.7)\text{BaTiO}_3-(0.3)\text{Bi}_{0.5}\text{Na}_{0.5}\text{TiO}_3$ ที่เตรียมโดยวิธีเกลือหลอมเหลว และเผาแคลไนซ์ที่อุณหภูมิ $800\text{ }^{\circ}\text{C}$ เป็นเวลา 2 ชั่วโมง

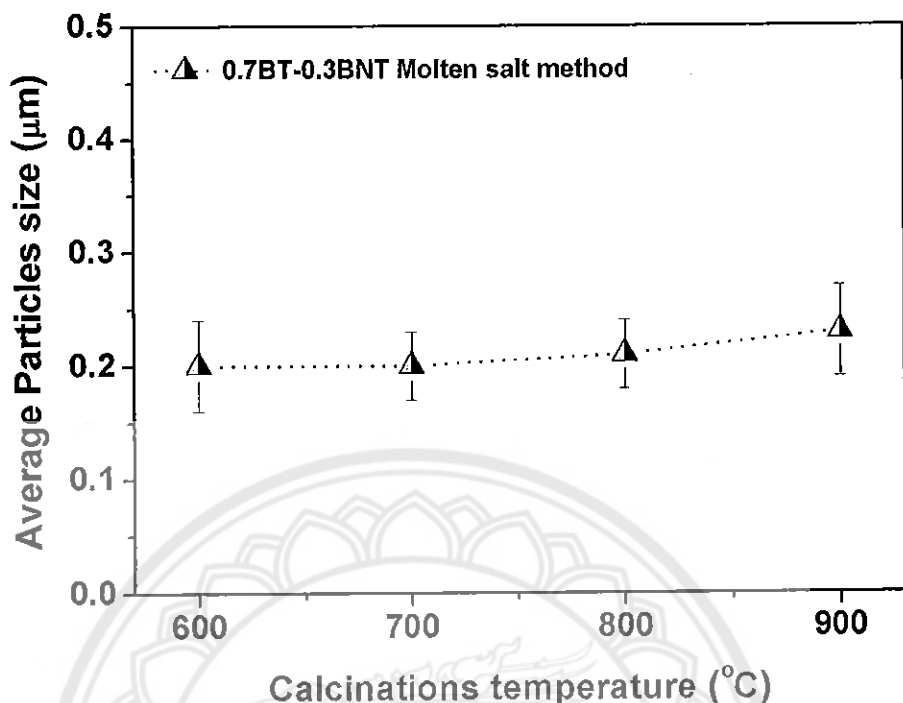


รูป 4.19 ภาพถ่ายด้วยกล้องจุลทรรศน์แบบส่องกราดของผงผลึก $(0.7)\text{BaTiO}_3-(0.3)\text{Bi}_{0.5}\text{Na}_{0.5}\text{TiO}_3$ ที่เตรียมโดยวิธีเกลือหลอมเหลว และเผาแคลไนซ์ที่อุณหภูมิ $900\text{ }^{\circ}\text{C}$ เป็นเวลา 2 ชั่วโมง

จากรูป 4.15-4.19 ซึ่งเป็นภาพถ่ายจากกล้องจุลทรรศน์อิเล็กตรอนแบบส่องการดู (SEM) ของผงพลีก $(0.7)\text{BaTiO}_3-(0.3)\text{Bi}_{0.5}\text{Na}_{0.5}\text{TiO}_3$ และที่เผาแคลไชน์ที่อุณหภูมิ 500, 600, 700, 800 และ 900°C ตามลำดับ จะเห็นว่าภาพถ่ายลักษณะของอนุภาคของผงพลีก $(0.7)\text{BaTiO}_3-(0.3)\text{Bi}_{0.5}\text{Na}_{0.5}\text{TiO}_3$ เมื่อทำการเผาแคลไชน์ตั้งแต่อุณหภูมิ 500°C ลักษณะของผงพลีกยังดูไม่เป็นเนื้อเดียว กันซึ่งสังเกตเห็นมีลักษณะเป็นก้อนเล็กผสมก้อนใหญ่ซึ่งมีรูปร่างไม่เหมือนกันผสมกันอยู่อย่างชัดเจน เมื่อเพิ่มอุณหภูมิในการเผาแคลไชน์เป็น 600°C ขึ้นไป จะเห็นว่าลักษณะของผงพลีกนั้นมีความเป็นเนื้อเดียว กัน มีลักษณะเป็นก้อนค่อนข้างกลม ขนาดของอนุภาคมีขนาดเล็กสอดคล้องกับข้อมูลที่ได้ในการวิเคราะห์โดยการเลี้ยวเบนของรังสีเอกซ์ เมื่ออุณหภูมิในการเผาแคลไชน์สูงขึ้น ขนาดอนุภาคของผงพลีกมีแนวโน้มใหญ่ขึ้นแต่ก็ใกล้เดียวกัน ดังตาราง 4.6 และกราฟในรูป 4.20

ตาราง 4.6 ขนาดของอนุภาคเฉลี่ยและความไม่แน่นอนของการวัดของผงพลีกในระบบ $(0.7)\text{BaTiO}_3-(0.3)\text{Bi}_{0.5}\text{Na}_{0.5}\text{TiO}_3$ เตรียมโดยวิธีเกลือหลอมเหลวเผาแคลไชน์ ณ อุณหภูมิ $600-900^{\circ}\text{C}$ เป็นเวลา 2 ชั่วโมง

อุณหภูมิการเผาแคลไชน์ ($^{\circ}\text{C}$)	ขนาดอนุภาคเฉลี่ย (μm)
600	0.20 ± 0.04
700	0.20 ± 0.03
800	0.21 ± 0.03
900	0.23 ± 0.04

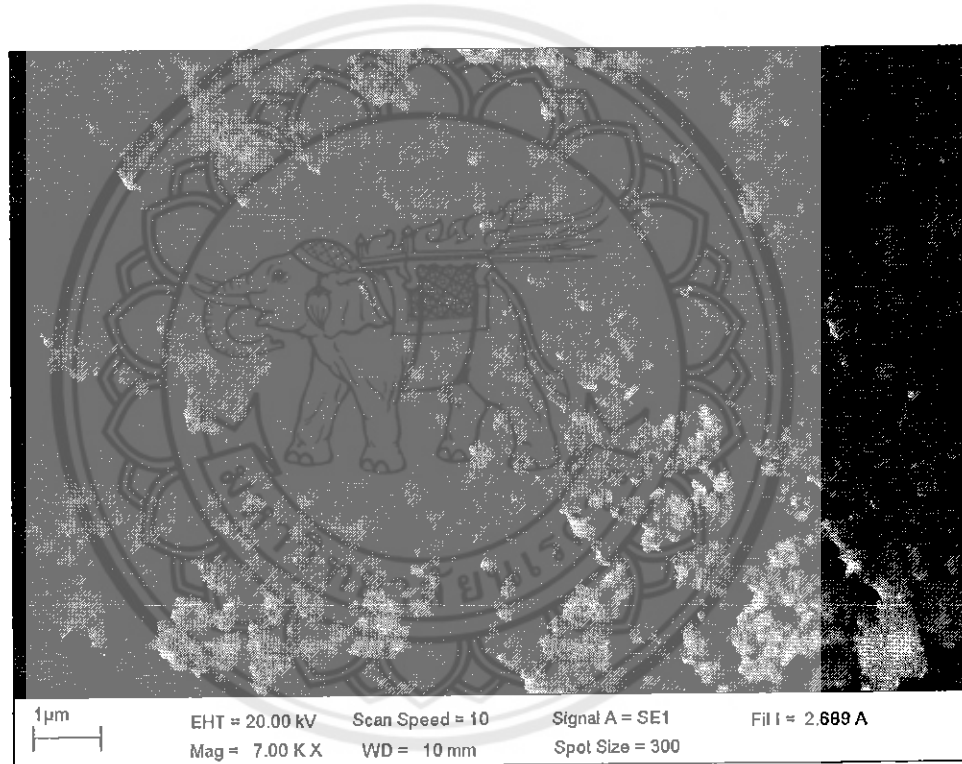


รูป 4.20 ขนาดของอนุภาคเคลือบของผงพลีก $(0.7)\text{BaTiO}_3-(0.3)\text{Bi}_{0.5}\text{Na}_{0.5}\text{TiO}_3$ ที่เตรียมโดยวิธีเกลือหลomเหลว และเผาแคล์เซนที่อุณหภูมิ $600\text{--}900\text{ }^{\circ}\text{C}$ เป็นเวลา 2 ชั่วโมง

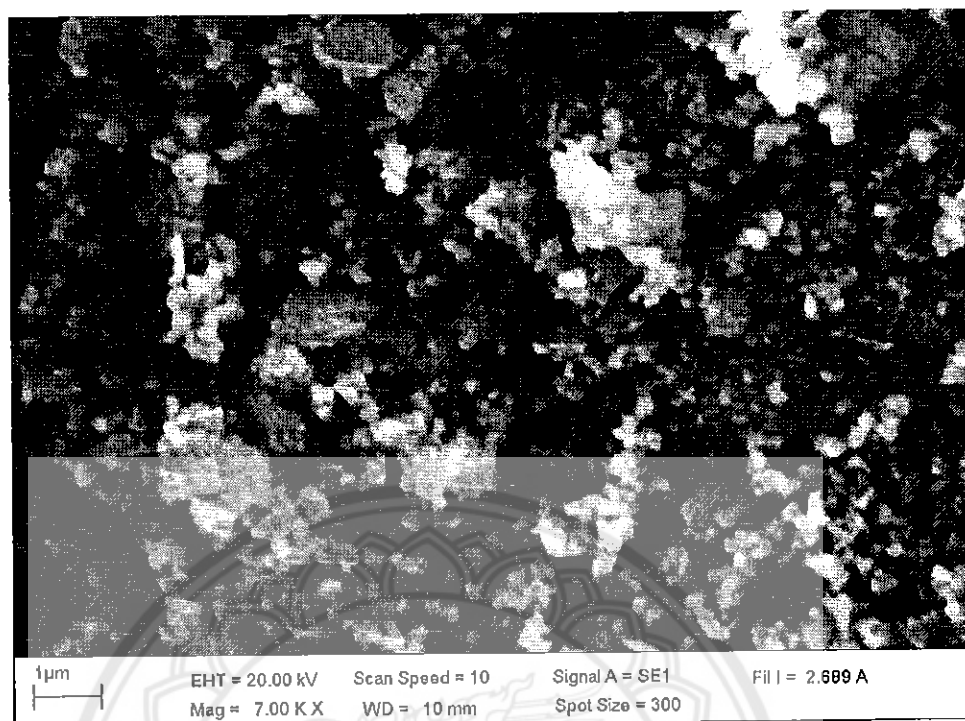
จากข้อมูล XRD ในรูป 4.3 และข้อมูล SEM ในรูป 4.15-4.19 พบร่วมกันว่า ผงพลีก $(0.7)\text{BaTiO}_3-(0.3)\text{Bi}_{0.5}\text{Na}_{0.5}\text{TiO}_3$ ที่เตรียมโดยวิธีเกลือหลomเหลว พอร์เมตัวเป็นเนื้อดียกันตั้งแต่อุณหภูมิการเผาแคล์เซนที่ $600\text{ }^{\circ}\text{C}$ และผงพลีกมีรูปร่างลักษณะใกล้เคียงกันมาก ลดคดล็องกับการคำนวณค่าร้อยละความบริสุทธิ์ของผงพลีก $(0.7)\text{BaTiO}_3-(0.3)\text{Bi}_{0.5}\text{Na}_{0.5}\text{TiO}_3$ ในตาราง 4.2 ดังนั้นเงื่อนไขที่เหมาะสมในการเผาแคล์เซนท์ผงพลีก $(0.7)\text{BaTiO}_3-(0.3)\text{Bi}_{0.5}\text{Na}_{0.5}\text{TiO}_3$ ที่เตรียมโดยวิธีมิกซ์ออกไซด์คือ เผาแคล์เซนท์ที่อุณหภูมิ $600\text{ }^{\circ}\text{C}$ เป็นเวลา 2 ชั่วโมง

4.7 ผลการศึกษาโครงสร้างจุลภาคของผงพลีก $Pb(Zr_{0.52}Ti_{0.48})O_3$ ที่เตรียมโดยวิธีมิกซ์ออกไซด์

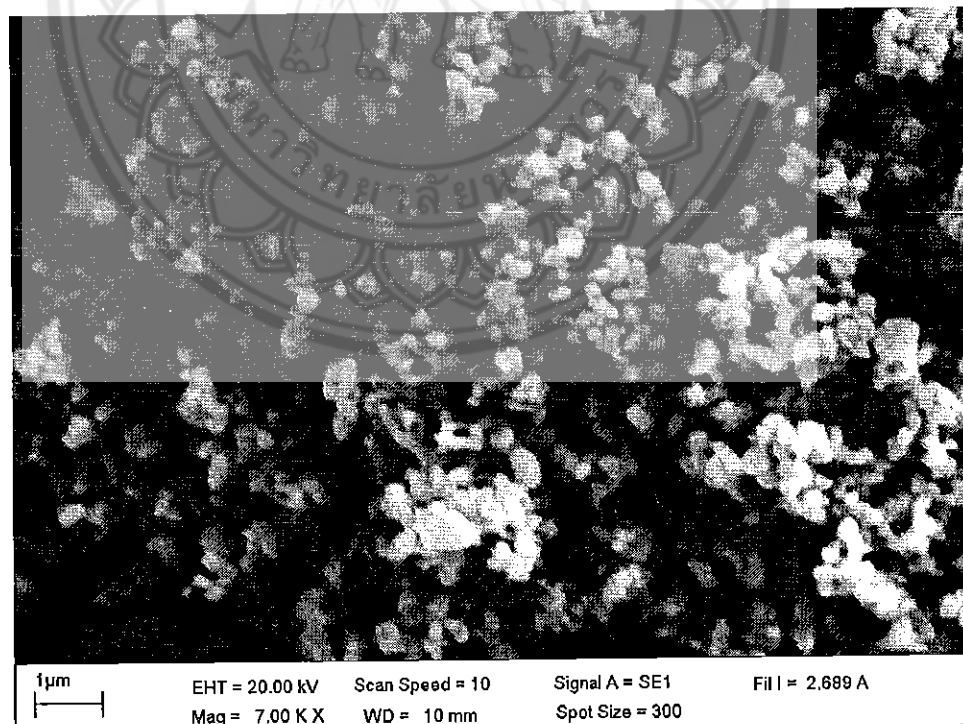
นำผงพลีก $Pb(Zr_{0.52}Ti_{0.48})O_3$ ที่เตรียมโดยวิธีมิกซ์ออกไซด์ ที่เผาแคลเซนที่อุณหภูมิ 600, 650, 700, 750 และ 800 °C นาน 2 ชั่วโมง ไปทำการถ่ายภาพด้วยกล้องจุลทรรศน์อิเล็กตรอนแบบส่องกราด (SEM) เพื่อดูลักษณะรูปร่างของผงพลีกที่ได้ ประกอบกันกับข้อมูลที่ได้จากการวิเคราะห์ผลจากการ XRD เพื่อนำไปเลือกเงื่อนไขที่เหมาะสมในการเผาแคลเซนต่อไป ผลการตรวจสอบด้วยกล้องจุลทรรศน์แบบส่องกราดของผงพลีก $Pb(Zr_{0.52}Ti_{0.48})O_3$ นี้ เป็นดังรูป 4.21–4.25



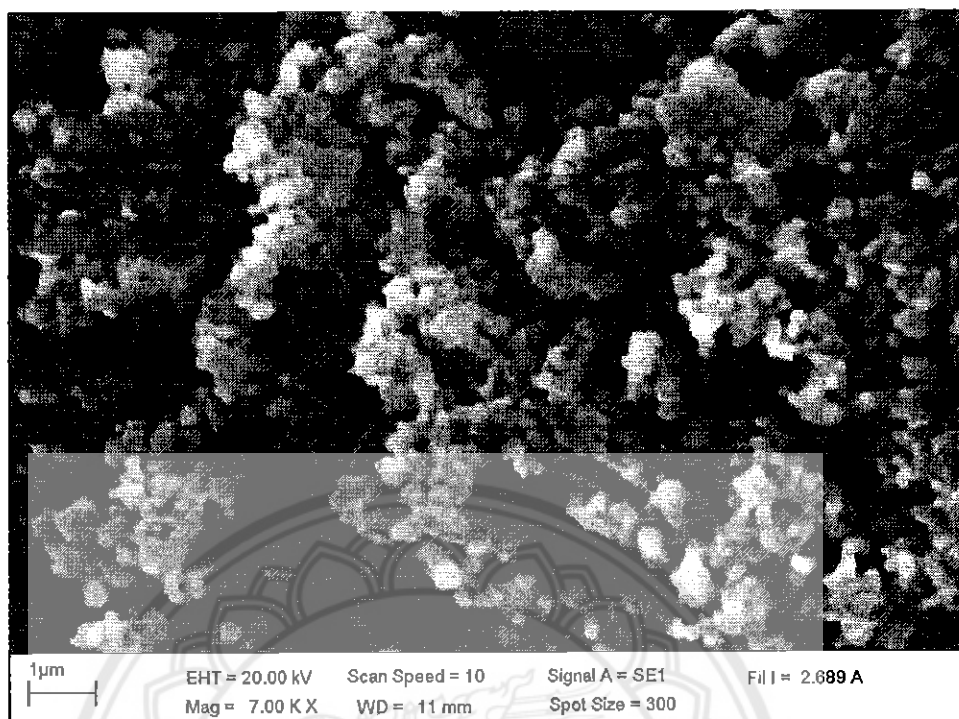
รูป 4.21 ภาพถ่ายด้วยกล้องจุลทรรศน์แบบส่องกราดของผงพลีก $Pb(Zr_{0.52}Ti_{0.48})O_3$ ที่เตรียมโดยวิธีมิกซ์ออกไซด์ และเผาแคลเซนที่อุณหภูมิ 600 °C เป็นเวลา 2 ชั่วโมง



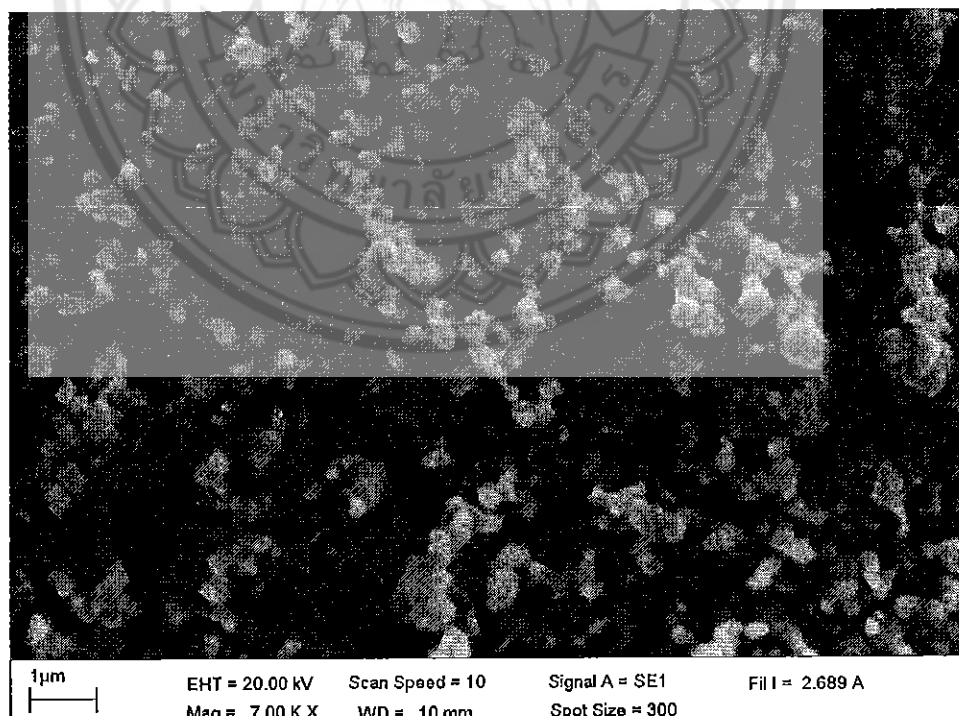
รูป 4.22 ภาพถ่ายด้วยกล้องจุลทรรศน์แบบส่องกราดของผงผลึก $\text{Pb}(\text{Zr}_{0.52}\text{Ti}_{0.48})\text{O}_3$ ที่เตรียมโดยวิธีมิกซ์ ออกไซต์ และเพาแคลลไชร์ที่อุณหภูมิ 650°C เป็นเวลา 2 ชั่วโมง



รูป 4.23 ภาพถ่ายด้วยกล้องจุลทรรศน์แบบส่องกราดของผงผลึก $\text{Pb}(\text{Zr}_{0.52}\text{Ti}_{0.48})\text{O}_3$ ที่เตรียมโดยวิธีมิกซ์ ออกไซต์ และเพาแคลลไชร์ที่อุณหภูมิ 700°C เป็นเวลา 2 ชั่วโมง



รูป 4.24 ภาพถ่ายด้วยกล้องจุลทรรศน์แบบส่องกราดของผงผลึก $\text{Pb}(\text{Zr}_{0.52}\text{Ti}_{0.48})\text{O}_3$ ที่เตรียมโดยวิธีมิกซ์ ออกไซด์ และเพาแคลโลไซน์ที่อุณหภูมิ 750°C เป็นเวลา 2 ชั่วโมง

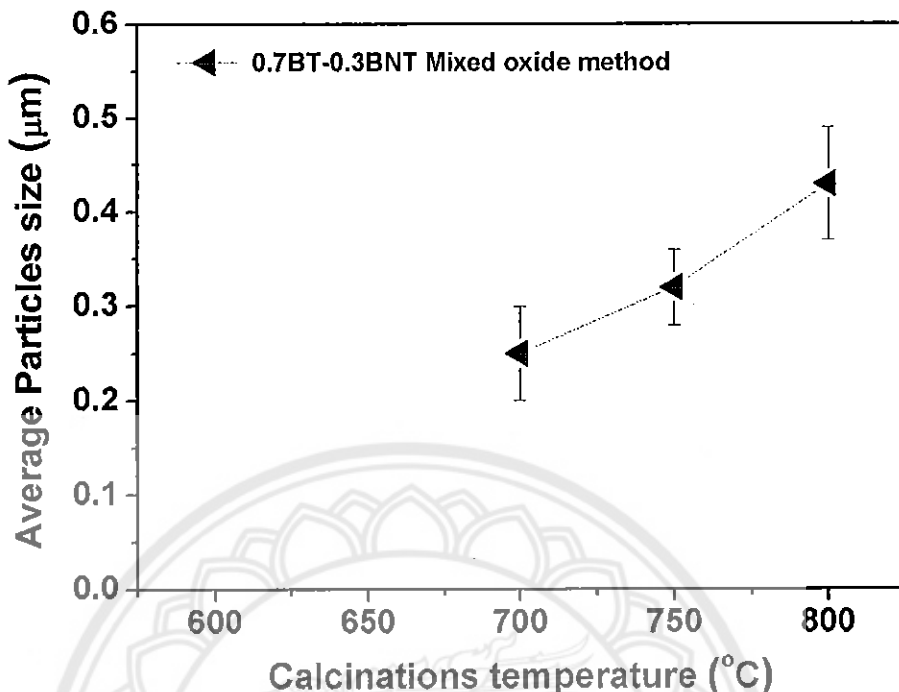


รูป 4.25 ภาพถ่ายด้วยกล้องจุลทรรศน์แบบส่องกราดของผงผลึก $\text{Pb}(\text{Zr}_{0.52}\text{Ti}_{0.48})\text{O}_3$ ที่เตรียมโดยวิธีมิกซ์ ออกไซด์ และเพาแคลโลไซน์ที่อุณหภูมิ 800°C เป็นเวลา 2 ชั่วโมง

จากรูป 4.21–4.25 ซึ่งเป็นภาพถ่ายจากกล้องจุลทรรศน์อิเล็กตรอนแบบส่องการดู (SEM) ของผงผลึก $Pb(Zr_{0.52}Ti_{0.48})O_3$ และที่เผาแคลไชน์ที่อุณหภูมิ 600, 650, 700, 750 และ 800°C ตามลำดับ จะเห็นว่าภาพถ่ายลักษณะของอนุภาคของผงผลึก $Pb(Zr_{0.52}Ti_{0.48})O_3$ เมื่อทำการเผาแคลไชน์ตั้งแต่อุณหภูมิ $600\text{--}650^{\circ}\text{C}$ ลักษณะของผงผลึกยังคงไม่เป็นเนื้อดียากันซึ่งสังเกตเห็นมีลักษณะเป็นก้อนกลมเล็กผสมก้อนใหญ่ที่มีลักษณะเป็นแผ่นซึ่งมีรูปร่างไม่เหมือนกันผสมกันอยู่อย่างชัดเจน เมื่อเพิ่มอุณหภูมิในการเผาแคลไชน์เป็น 700°C ขึ้นไป จะเห็นว่าลักษณะของผงผลึกนั้นมีความเป็นเนื้อดียากัน มีลักษณะเป็นก้อนค่อนข้างกลม ลักษณะรูปร่างเหมือนกัน มีขนาดของอนุภาคใกล้เคียงกันในแต่ละอุณหภูมิการเผาแคลไชน์ สอดคล้องกับข้อมูลที่ได้ในการวิเคราะห์โดยการเสี้ยวabenของรังสีเอกซ์ ที่มีการพร้อมตัวเป็นสาร $Pb(Zr_{0.52}Ti_{0.48})O_3$ หากขึ้นเมื่ออุณหภูมิในการเผาแคลไชน์สูงขึ้น ลักษณะของอนุภาคหรือผงผลึก มีความเป็นเนื้อดียากันมากขึ้น ขนาดของอนุภาคมีแนวโน้มใหญ่ขึ้นแต่ก็ใกล้เคียงกันตั้งแต่อุณหภูมิการเผาแคลไชน์เป็น $700, 750$ และ 800°C ดังตาราง 4.7 และดังกราฟในรูป 4.26

ตาราง 4.7 ขนาดของอนุภาคเคลือบและความไม่แน่นอนของการวัดของผงผลึกในระบบ $Pb(Zr_{0.52}Ti_{0.48})O_3$ เตรียมโดยวิธีมิกซ์ออกไซด์เผาแคลไชน์ ณ อุณหภูมิ $700, 750$ และ 800°C เป็นเวลา 2 ชั่วโมง

อุณหภูมิการเผาแคลไชน์ ($^{\circ}\text{C}$)	ขนาดอนุภาคเคลือบ (μm)
700	0.25 ± 0.05
750	0.32 ± 0.04
800	0.43 ± 0.06

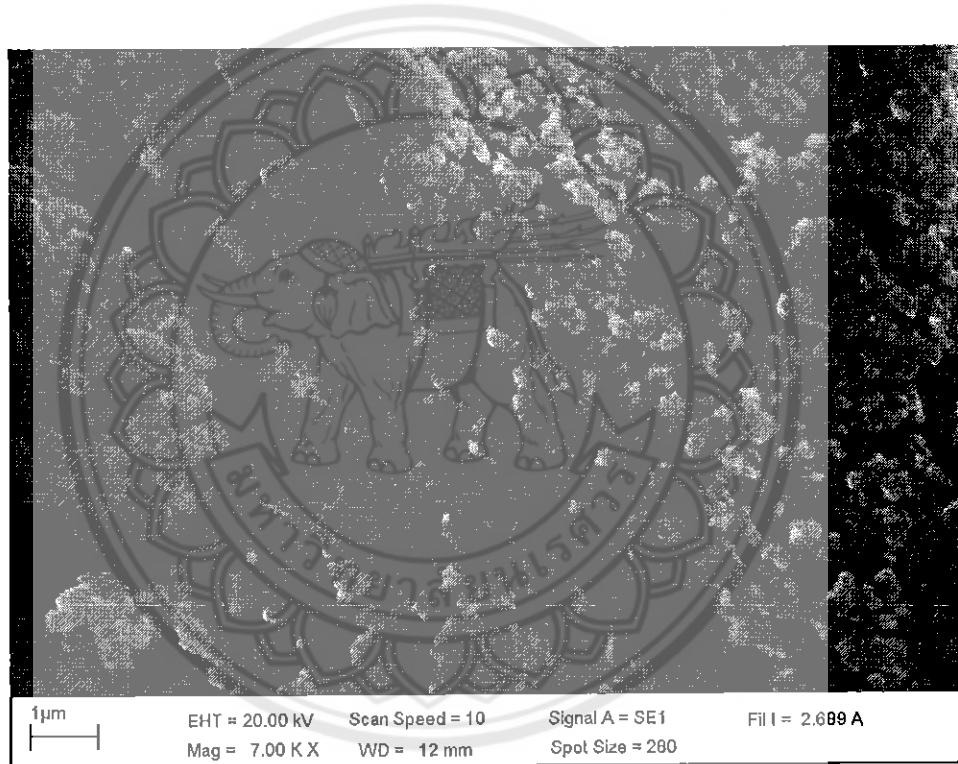


รูป 4.26 ขนาดของอนุภาคเฉลี่ยของผงผลึก $\text{Pb}(\text{Zr}_{0.52}\text{Ti}_{0.48})\text{O}_3$ ที่เตรียมโดยวิธีมิกซ์ออกไซด์ และเผาแคลไชน์ ที่อุณหภูมิ 700, 750 และ 800 $^{\circ}\text{C}$ เป็นเวลา 2 ชั่วโมง

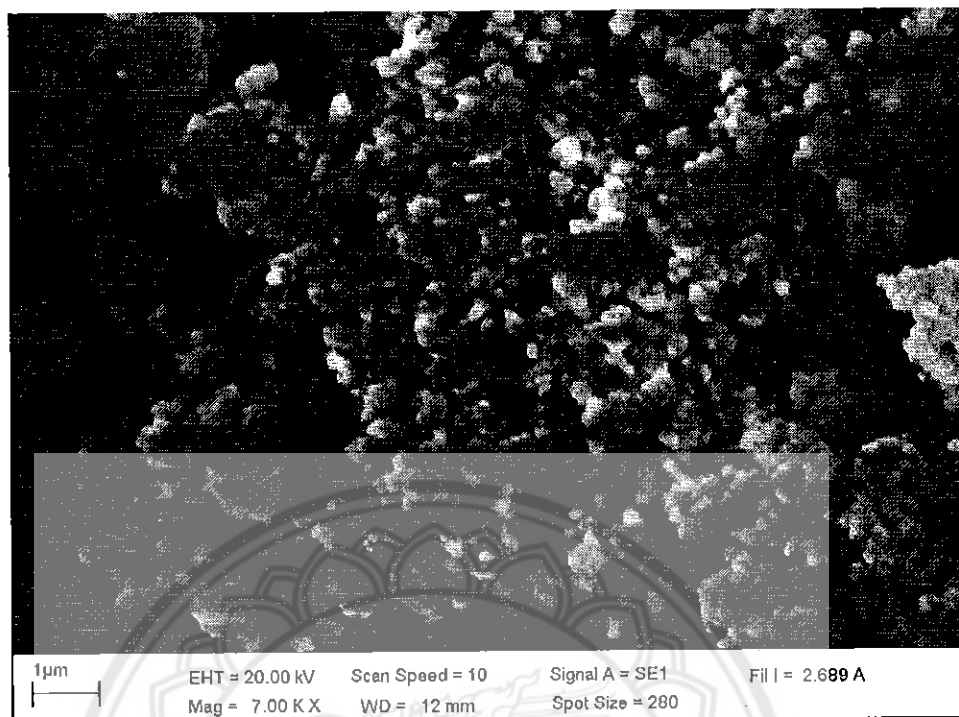
จากข้อมูล XRD ในรูป 4.5 และข้อมูล SEM ในรูป 4.21-4.25 พบร้า ผงผลึก $\text{Pb}(\text{Zr}_{0.52}\text{Ti}_{0.48})\text{O}_3$ ที่เตรียมโดยวิธีมิกซ์ออกไซด์ ฟอร์มตัวเป็นเนื้อดียากันตั้งแต่อุณหภูมิการเผาแคลไชน์เป็น 700 $^{\circ}\text{C}$ แต่ผงผลึกมีรูปร่างลักษณะใกล้เคียงกันมากเมื่ออุณหภูมิในการเผาแคลไชน์เป็น 750 $^{\circ}\text{C}$ ซึ่งสอดคล้องกับการคำนวณค่าร้อยละความบริสุทธิ์ของผงผลึก $\text{Pb}(\text{Zr}_{0.52}\text{Ti}_{0.48})\text{O}_3$ ในตาราง 4.3 ดังนั้นเงื่อนไขที่เหมาะสมในการเผาแคลไชน์ผงผลึก $\text{Pb}(\text{Zr}_{0.52}\text{Ti}_{0.48})\text{O}_3$ ที่เตรียมโดยวิธีมิกซ์ออกไซด์คือ เผาแคลไชน์ที่อุณหภูมิ 750 $^{\circ}\text{C}$ เป็นเวลา 2 ชั่วโมง

4.8 ผลการศึกษาโครงสร้างจุลภาคของผงสีก $Pb(Zr_{0.52}Ti_{0.48})O_3$ ที่เตรียมโดยวิธีเกลือหลomเหลว

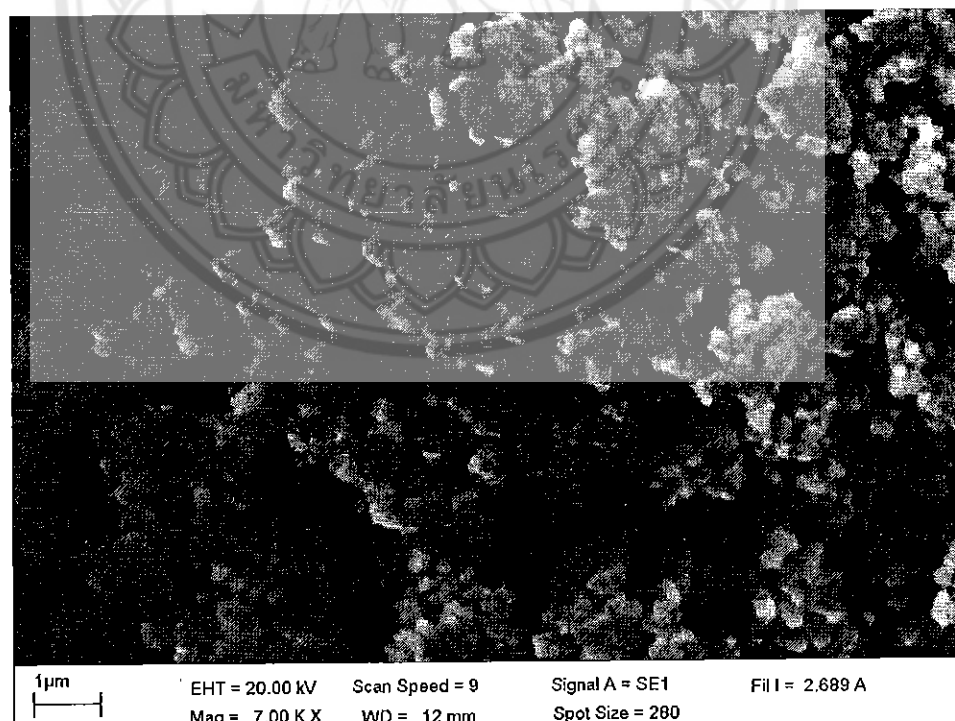
นำผงสีก $Pb(Zr_{0.52}Ti_{0.48})O_3$ ที่เตรียมโดยวิธีเกลือหลomเหลว ที่เผาแคลไชน์ที่อุณหภูมิ 600, 650, 700, 750 และ 800 °C นาน 2 ชั่วโมง ไปทำการถ่ายภาพด้วยกล้องจุลทรรศน์ อิเล็กตรอนแบบส่องกราด (SEM) เพื่อศึกษาณะรูปร่างของผงสีกที่ได้ ประกอบกันกับข้อมูลที่ได้จากการวิเคราะห์ผลจากการ XRD เพื่อนำไปเลือกเงื่อนไขที่เหมาะสมในการเผาแคลไชน์ ต่อไป ผลการตรวจสอบด้วยกล้องจุลทรรศน์แบบส่องกราดของผงสีก $Pb(Zr_{0.52}Ti_{0.48})O_3$ นี้ เป็นดังรูป 4.27-4.31



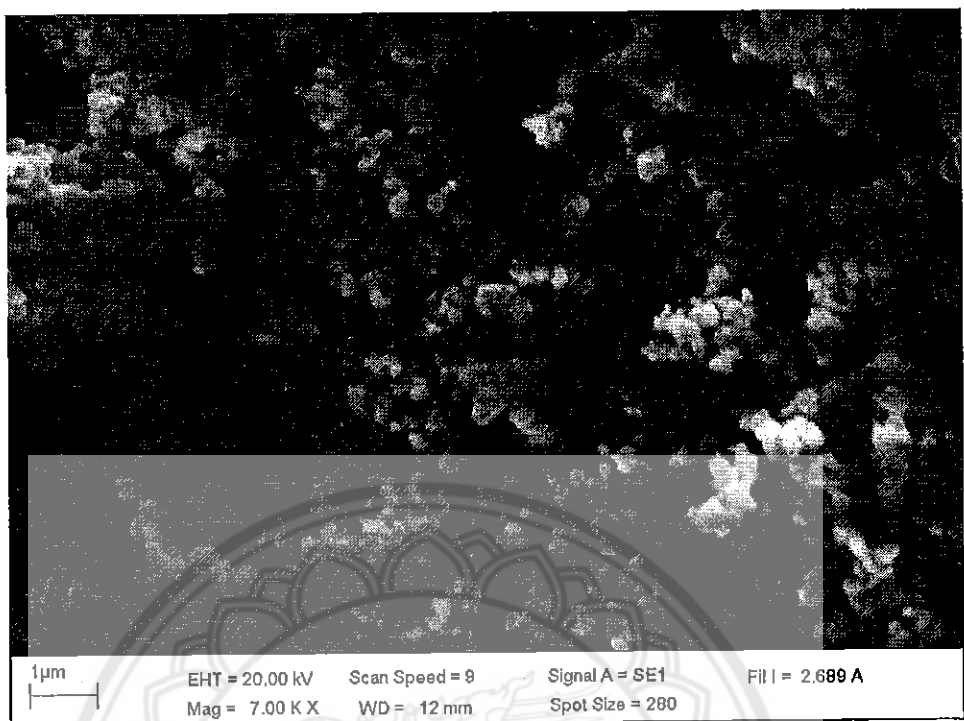
รูป 4.27 ภาพถ่ายด้วยกล้องจุลทรรศน์แบบส่องกราดของผงสีก $Pb(Zr_{0.52}Ti_{0.48})O_3$ ที่เตรียมโดยวิธีเกลือหลomเหลว และเผาแคลไชน์ที่อุณหภูมิ 600 °C เป็นเวลา 2 ชั่วโมง



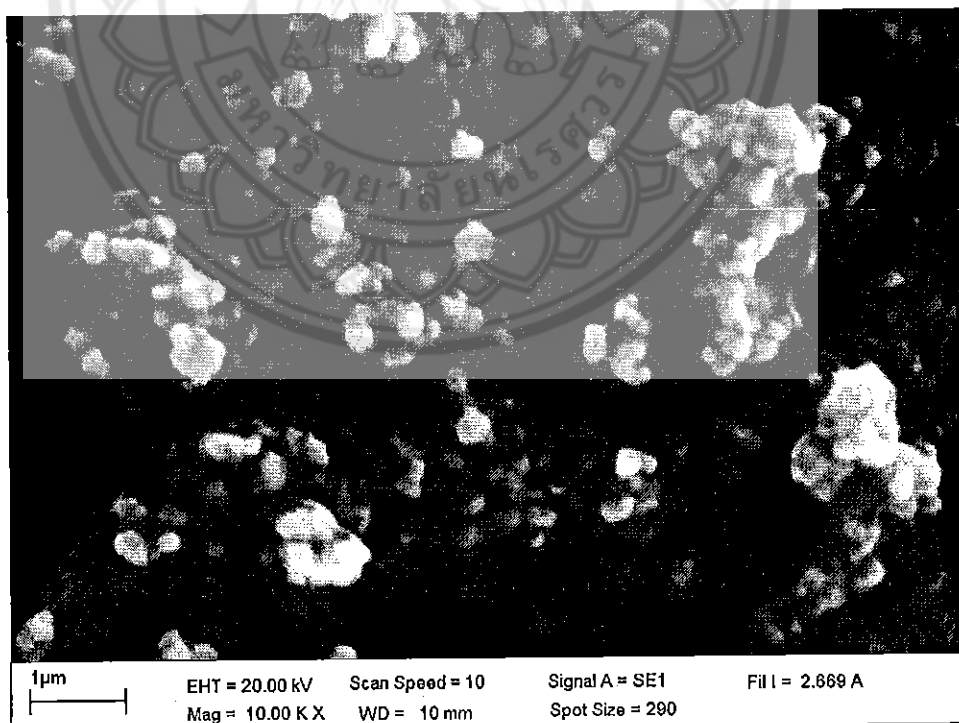
รูป 4.28 ภาพถ่ายด้วยกล้องจุลทรรศน์แบบส่องการดูของผงผลึก $\text{Pb}(\text{Zr}_{0.52}\text{Ti}_{0.48})\text{O}_3$ ที่เตรียมโดยวิธีเกลือหลomเหลว และเผาแคลเซนที่อุณหภูมิ 650°C เป็นเวลา 2 ชั่วโมง



รูป 4.29 ภาพถ่ายด้วยกล้องจุลทรรศน์แบบส่องการดูของผงผลึก $\text{Pb}(\text{Zr}_{0.52}\text{Ti}_{0.48})\text{O}_3$ ที่เตรียมโดยวิธีเกลือหลomเหลว และเผาแคลเซนที่อุณหภูมิ 700°C เป็นเวลา 2 ชั่วโมง



รูป 4.30 ภาพถ่ายด้วยกล้องจุลทรรศน์แบบส่องกราดของผงพลีก $\text{Pb}(\text{Zr}_{0.52}\text{Ti}_{0.48})\text{O}_3$ ที่เติร์ยมโดยวิธีเกลือหลอมเหลว และเผาเคลือบในฟurnace ที่อุณหภูมิ 750°C เป็นเวลา 2 ชั่วโมง

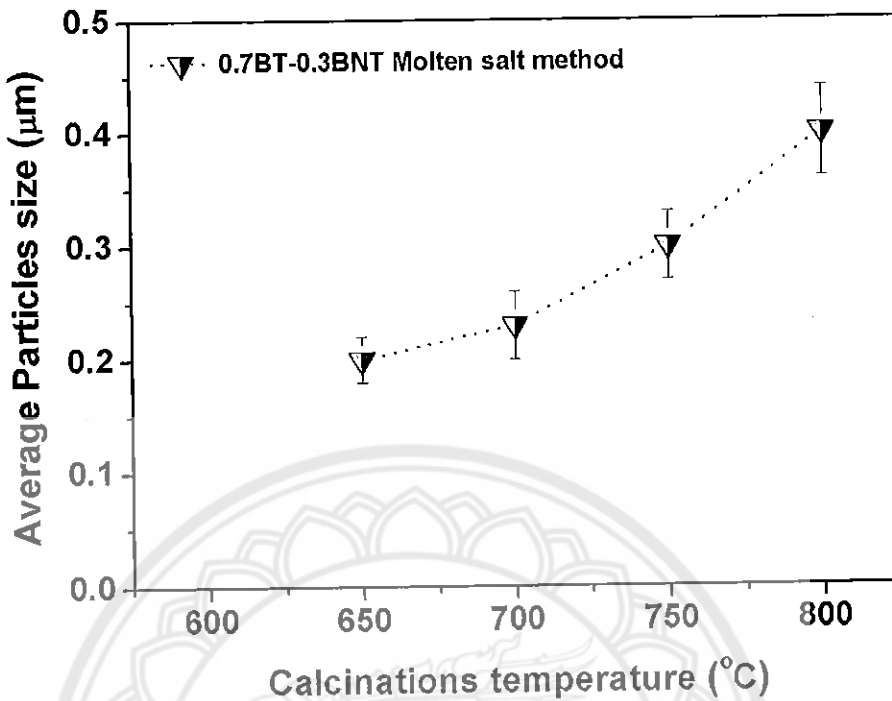


รูป 4.31 ภาพถ่ายด้วยกล้องจุลทรรศน์แบบส่องกราดของผงพลีก $\text{Pb}(\text{Zr}_{0.52}\text{Ti}_{0.48})\text{O}_3$ ที่เติร์ยมโดยวิธีเกลือหลอมเหลว และเผาเคลือบในฟurnace ที่อุณหภูมิ 800°C เป็นเวลา 2 ชั่วโมง

จากรูป 4.27–4.31 ซึ่งเป็นภาพถ่ายจากกล้องจุลทรรศน์อิเล็กตรอนแบบส่องกราด (SEM) ของผงลีก $Pb(Zr_{0.52}Ti_{0.48})O_3$ และที่เผาแคลไซน์ที่อุณหภูมิ 600, 650, 700, 750 และ 800°C ตามลำดับ จะเห็นว่าภาพถ่ายลักษณะของอนุภาคของผงลีก $Pb(Zr_{0.52}Ti_{0.48})O_3$ เมื่อทำการเผาแคลไซน์ ณ อุณหภูมิ 600°C ลักษณะของผงลีกยังดูไม่เป็นเนื้อเดียวกันซึ่งสังเกตเห็นมีลักษณะเป็นก้อนเล็กผสมก้อนใหญ่ซึ่งมีรูปร่างไม่เหมือนกันผสมกันอยู่อย่างชัดเจน เมื่อเพิ่มอุณหภูมิในการแคลไซน์เป็น 650°C ขึ้นไป จะเห็นว่าลักษณะของผงลีกนั้นมีความเป็นเนื้อเดียวกัน มีลักษณะเป็นก้อนค่อนข้างกลม ขนาดของอนุภาคมีขนาดเล็กลดคลั่งกับข้อมูลที่ได้ในการวิเคราะห์โดยการเลี้ยวเบนของรังสีเอกซ์ เมื่ออุณหภูมิในการเผาแคลไซน์สูงขึ้น ขนาดอนุภาคของผงลีกมีแนวโน้มใหญ่ขึ้นแต่ก็ใกล้เคียงกัน ดังตาราง 4.8 และกราฟในรูป 4.32

ตาราง 4.8 ขนาดของอนุภาคเคลือบและความไม่แน่นอนของการวัดของผงลีกในระบบ $Pb(Zr_{0.52}Ti_{0.48})O_3$ เตรียมโดยวิธีแก๊สหลุ่มเหลว เผาแคลไซน์ ณ อุณหภูมิ 650 – 800°C เป็นเวลา 2 ชั่วโมง

อุณหภูมิการเผาแคลไซน์ ($^{\circ}\text{C}$)	ขนาดอนุภาคเคลือบ (μm)
650	0.20 ± 0.02
700	0.23 ± 0.03
750	0.30 ± 0.03
800	0.40 ± 0.04



รูป 4.32 ขนาดของอนุภาคเฉลี่ยของผงพลีก $\text{Pb}(\text{Zr}_{0.52}\text{Ti}_{0.48})\text{O}_3$ ที่เตรียมโดยวิธีเกลือหลอมเหลว และเผาแคลไซน์ที่อุณหภูมิ $650\text{--}800\text{ }^{\circ}\text{C}$ เป็นเวลา 2 ชั่วโมง

จากข้อมูล XRD ในรูป 4.5 และข้อมูล SEM ในรูป 4.27-4.31 พบร่วมผงพลีก $\text{Pb}(\text{Zr}_{0.52}\text{Ti}_{0.48})\text{O}_3$ ที่เตรียมโดยวิธีเกลือหลอมเหลว พอร์มตัวเป็นเนื้อเดียวกันตั้งแต่อุณหภูมิการเผาแคลไซน์เป็น $650\text{ }^{\circ}\text{C}$ และผงพลีกมีรูปร่างลักษณะใกล้เคียงกันมาก สอดคล้องกับการคำนวณค่าร้อยละความบริสุทธิ์ของผงพลีก $\text{Pb}(\text{Zr}_{0.52}\text{Ti}_{0.48})\text{O}_3$ ในตาราง 4.4 ดังนั้นเงื่อนไขที่เหมาะสมในการเผาแคลไซน์ผงพลีก $\text{Pb}(\text{Zr}_{0.52}\text{Ti}_{0.48})\text{O}_3$ ที่เตรียมโดยวิธีเกลือหลอมเหลวคือ เผาแคลไซน์ที่อุณหภูมิ $700\text{ }^{\circ}\text{C}$ เป็นเวลา 2 ชั่วโมง

บทที่ 5

สรุปผลการทดลอง และข้อเสนอแนะ

5.1 สรุปผลการทดลอง

ในงานวิจัยเรื่องการลดอุณหภูมิในการเตรียมผงพลีกสารจำพวกเฟอร์โรอิเล็กทริก ได้ทำการหาเงื่อนไขในการเตรียมผงพลีกที่มีแล่ ไม่มีสารตะกั่วเป็นองค์ประกอบ ใช้วิธีการเตรียมผงพลีกแบบมิกซ์ออกไซด์ เปรียบเทียบกับวิธีการเตรียมผงพลีกแบบเกลือหลomเหลว โดยผงพลีกที่ไม่มีสารตะกั่วเป็นองค์ประกอบ ในงานวิจัยนี้ใช้ $(0.7)\text{BaTiO}_3-(0.3)\text{Bi}_{0.5}\text{Na}_{0.5}\text{TiO}_3$ โดยปริมาณ อยู่ที่ 0.7 โมล ให้ผงพลีกที่มีความบริสุทธิ์ 100% อยู่ที่ อุณหภูมิแคลไชน์ 500, 600, 700, 800 และ 900°C เป็นเวลา 2 ชั่วโมง และทำการตรวจความบริสุทธิ์ของผงพลีก พบว่าอุณหภูมิการเผาแคลไชน์ในการเตรียมผงพลีก $(0.7)\text{BaTiO}_3-(0.3)\text{Bi}_{0.5}\text{Na}_{0.5}\text{TiO}_3$ โดยวิธีการเกลือหลomเหลวให้มีความบริสุทธิ์ 100% อยู่ที่ อุณหภูมิแคลไชน์ 600°C ขณะที่อุณหภูมิในการเผาแคลไชน์ในการเตรียมผงพลีกเดียวกันนี้โดยวิธีมิกซ์ออกไซด์ ให้ได้ความบริสุทธิ์ 100% เช่นเดียวกัน อยู่ที่ 900°C ดังนั้นจึงสามารถลด อุณหภูมิในการเตรียมผงพลีก $(0.7)\text{BaTiO}_3-(0.3)\text{Bi}_{0.5}\text{Na}_{0.5}\text{TiO}_3$ ได้ถึง 300°C

สำหรับผงพลีกที่มีสารตะกั่วเป็นองค์ประกอบ ในงานวิจัยนี้ใช้ $\text{Pb}(\text{Zr}_{0.52}\text{Ti}_{0.48})\text{O}_3$ โดยปริมาณ 0.52 โมล ให้ผงพลีกที่มีความบริสุทธิ์ 100% อยู่ที่ อุณหภูมิแคลไชน์ 600, 650, 700, 750 และ 800°C เป็นเวลา 2 ชั่วโมง และทำการตรวจความบริสุทธิ์ของผงพลีก พบว่าอุณหภูมิการเผาแคลไชน์ในการเตรียมผงพลีก $\text{Pb}(\text{Zr}_{0.52}\text{Ti}_{0.48})\text{O}_3$ โดยวิธีการเกลือหลomเหลวให้มีความบริสุทธิ์ 100% อยู่ที่ อุณหภูมิแคลไชน์ 700°C ขณะที่อุณหภูมิในการเผาแคลไชน์ในการเตรียมผงพลีกเดียวกันนี้โดยวิธีมิกซ์ออกไซด์ ให้ได้ความบริสุทธิ์ 100% เช่นเดียวกัน อยู่ที่ 750°C ดังนั้นจึงสามารถลดอุณหภูมิในการเตรียม ผงพลีก $\text{Pb}(\text{Zr}_{0.52}\text{Ti}_{0.48})\text{O}_3$ ได้ 50°C

การเตรียมผงพลีกด้วยวิธีเกลือหลomเหลวจะต้องภาคของผงพลีกมีขนาดเล็กกว่า การ เตรียมผงพลีกด้วยวิธีมิกซ์ออกไซด์เพียงอย่างเดียว ทั้งสารที่มีแล่ ไม่มีตะกั่วเป็นองค์ประกอบ

5.2 ข้อเสนอแนะ

จากการวิจัยนี้ได้พบว่าวิธีการเตรียมผงพลีกแบบเกลือหลomเหลวสามารถลดอุณหภูมิที่ ใช้ในการเผาแคลไชน์ให้ได้ผงพลีกที่มีความบริสุทธิ์ ใช้ได้สำหรับผงพลีกที่ไม่มีตะกั่วเป็น องค์ประกอบ แต่ผงพลีกที่มีตะกั่วเป็นองค์ประกอบนั้น วิธีเตรียมผงพลีกแบบเกลือหลomเหลว สามารถลดอุณหภูมิที่ใช้ในการเผาแคลไชน์ได้เพียง 50°C ซึ่งเมื่อเทียบกับการเพิ่มขั้นตอนการ เตรียมที่เพิ่มขึ้นแล้ว พบว่าผงพลีกที่มีตะกั่วเป็นองค์ประกอบไม่เหมาะสมที่จะใช้การเตรียมผง

ผลลัพธ์ด้วยวิธีเกลี่อหลอมเหลว อาจทดสอบโดยการเตรียมตัวอย่างเช่นนี้ เช่นวิธีการเตรียมโดยการตากตะกอนร่วม การเตรียมแบบโซล-เจล เป็นต้น



เอกสารอ้างอิง

- [1] C.C. Homes, T. Vogt, S.M. Shaprio, S. Wakimoto, M.A. Subramanian and A.P. Ramirez, "Charge transfer in the high dielectric constant materials $\text{CaCu}_3\text{Ti}_4\text{O}_{12}$ and $\text{CdCu}_3\text{Ti}_4\text{O}_{12}$ ", *Phys Rev B.*, 67: 092106 1–4, 2003.
- [2] M.A. Subramanian, D. Li, N. Duran, B.A. Reisner and A.W. Sleight, "RAPID COMMUNICATION High Dielectric Constant in $\text{ACu}_3\text{Ti}_4\text{O}_{12}$ and $\text{ACu}_3\text{Ti}_3\text{FeO}_{12}$ Phases", *J. Sol. State Chem.*, 151: 323–325, 2000.
- [3] S. Saha and T.P. Sinha, "Low temperature scaling behaviour of $\text{BaFe}_{0.5}\text{Nb}_{0.5}\text{O}_3$ ", *Phys Rev B.*, 65: 134103 1–7, 2002.
- [4] A.J. Moulson and J.M. Herrbert, *Electroceramics: Material, Properties and Applications*, 2003; (2nd ed.), John Wiley and Sons Ltd, West Sussex, England.
- [5] D.L. Hankey and J.V. Biggers, "Solid-State Reaction in the System $\text{PbO}-\text{TiO}_2-\text{ZrO}_2$ ", *J. Am. Ceram. Soc.*, 64: c172–c173, 1981.
- [6] S.S. Chandratreya, R.M. Fulrath and J.A. Pasle, "Reaction Mechanisms in the Formation of PZT Solid Solution", *J. Am. Ceram. Soc.*, 64: 422–425, 1981.
- [7] S.H. Cho and J.B. Biggers, "Characterization and Sintering of Lead Zirconate Titanate Powders", *J. Am. Ceram. Soc.*, 66: 743–746, 1983.
- [8] S. Eitssayeam, U. Intatha, K. Pengpat and T. Tunkasiri, "Preparation and characterization of barium iron niobate ($\text{BaFe}_{0.5}\text{Nb}_{0.5}\text{O}_3$) ceramics", *Current Applied Physics*, 6: 316–318, 2006.
- [9] U. Intatha, S. Eitssayeam, K. Pengpat, K.J.D. MacKenzie and T. Tunkasiri, "Dielectric properties of low temperature sintered LiF doped $\text{BaFe}_{0.5}\text{Nb}_{0.5}\text{O}_3$ ", *Metterials Letters*, 61: 196–200, 2007.
- [10] รัตติกร อิ้มณิรัณย์, เอกสารประกอบการสอนวิชาคุณลักษณะเฉพาะและสมบัติของวัสดุ, 2545, มหาวิทยาลัยเชียงใหม่: เชียงใหม่.
- [11] Ferroelectric Random Access memories. สืบคันเมื่อ 23 มกราคม 2557 สืบคันจาก http://physics.cusat.ac.in/oed/research_area.htm.
- [12] Generalic, Eni. "Ball mill" Croatian–English Chemistry Dictionary & Glossary. 24 Jan. 2015. KTF–Split. (March 25, 2015). <http://glossary.periodni.com>

- [13] โครงสร้างผลึกของแบเรียมไททาเนต สีบดันเมื่อ 1 กรกฎาคม 2558 สืบคันจาก http://fr.wikipedia.org/wiki/Fichier:BaTiO3_oxygen_coordination.png
- [14] รัชฎาภรณ์ เตชะอ้าย, “การศึกษาสมบัติ และโครงสร้างจุลภาคของปิล็อกโซเดียมทิทาเนต”, การค้นคว้าอิสระวิทยาศาสตร์บัณฑิต (วัสดุศาสตร์), มหาวิทยาลัยเชียงใหม่, 2546.
- [15] I. P. Pronin, P. P. Syrnikov, V. A. Egorov, N. V. Zaitseva and A. F. Jaffe, “Peculiarities of phase transitions in sodium–bismuth titanate”, *Ferroelectrics*, 25: 395–397, 1980.
- [16] G.H. Hearting, “Ferroelectric Ceramics: History and Technology”, *J. Am. Ceram. Soc.*, 82: 797–818, 1999.
- [17] K.R. Han, H.J. Koo, M.J. Hong and C.S. Lim, “Simple Synthesis of Submicrometer Lead Titanate Powder by Precipitation of TiO₂ Precursor on PbO Particulates”, *J. Am. Ceram. Soc.*, 83: 971–973, 2000.
- [18] Phase diagram of PZT, สืบคันเมื่อ 1 กรกฎาคม 2558 สืบคันจาก <http://www.doitpoms.ac.uk/tplib/piezoelectrics/pzt.php>
- [19] C. Bao-Jin, C. Da-Ren, L. Guo-Rong and Y. Qing-Rui, “Electrical properties of Na_{1/2}Bi_{1/2}TiO₃–BaTiO₃ ceramics”, *J. of the European Ceramic Society*, 22: 2115–2121, 2002.
- [20] H. Xing, G. Chunhua, C. Zhigang and L. Huiping “Influence of Composition on Properties of BNT–BT Lead-Free Piezoceramics”, *J. of Rare Earths*, 24: 321–324, 2006.
- [21] S-H.Lee, J-Y.Sug, G.Sa-Gong, T-K. Song and M-H. Kim “The Investigation on the Heat-generation Phenomenon of BNT–BT Ceramics” *Applications of ferroelectrics, 2006. isaf '06. 15th ieee international symposium*, 176–181, DOI: 10.1109/ISAF.2006.4387854.
- [22] L. Gao, Y. Huang, Y. Hu and H. Du “Dielectric and ferroelectric properties of (1-x)BaTiO₃–xBi_{0.5}Na_{0.5}TiO₃ ceramics” *Ceramics International*, 33: 1041–1046, 2007.
- [23] H. Bruncková, L'. Medvecký, J. Briančin, K. Saksl, “Influence of hydrolysis conditions of the acetate sol-gel process on the stoichiometry of PZT powders”, *Ceramics International*, 30(3): 453–460, 2004.
- [24] F. Bortolani and R.A. Dorey, “Molten salt synthesis of PZT powder for direct write inks”, *Journal of the European Ceramic Society*, 30(10): 2073–2079, 2010.

- [25] Z. Cai, X. Xing, L. Li and Y. Xu, "Molten salt synthesis of lead lanthanum zirconate titanate ceramic powders". *Journal of Alloys and Compounds*, 454(1-2): 466-470, 2008.
- [26] S. Zhao, Q. Li, L. Wang and Y. Zhang, "Molten salt synthesis of lead lanthanum zirconate titanate stannate powders and ceramics", *Materials Letters*, 60(3): 425-430, 2006.
- [27] S.L. Swart and T.R. Shrout, "Fabrication of Perovskite Lead Magnesium Niobate", *Materials Research Bulletin*, 17: 1245-1250, 1982.
- [28] E.J. Kramer, P. Haasen and R. Cahn, Materials Science and Technology. New York: VCH, 1992.
- [29] Powder Diffraction File, Card No. 33-1880. Joint Committee for Powder Diffraction Standards (JCPDS) PDF-4. International Centre for Diffraction Data (ICDD), 2000.
- [30] Powder Diffraction File, Card No. 36-0340. Joint Committee for Powder Diffraction Standards (JCPDS) PDF-4. International Centre for Diffraction Data (ICDD), 2000.
- [31] Powder Diffraction File, Card No. 36-0340. Joint Committee for Powder Diffraction Standards (JCPDS) PDF-4. International Centre for Diffraction Data (ICDD), 2000.

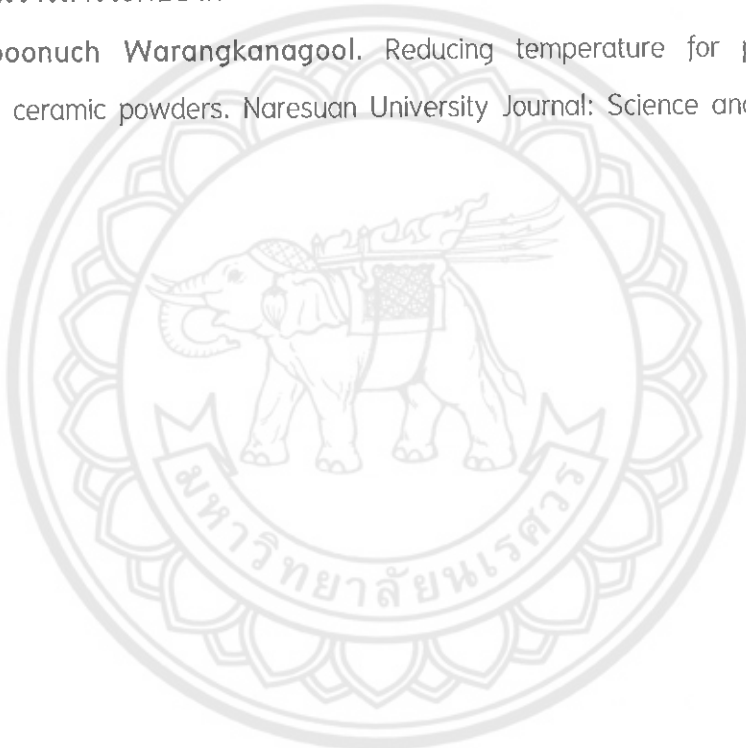
Output ที่ได้จากการคิด

1. นำเสนอผลงานในที่ประชุมวิชาการ ที่มีการตีพิมพ์เฉพาะ Abstract

Chompoonuch Warangkanagool. Preparations of 0.7BT–0.3BNT powders by mixed oxide method compared with molten salt method. The 7th National Science Research Conference 30–31 March 2015, Naresuan University, Phitsanulok, Thailand 2015; 162.

2. ตีพิมพ์ในวารสารระดับชาติ

Chompoonuch Warangkanagool. Reducing temperature for preparation 0.7BT–0.3BNT ceramic powders. Naresuan University Journal: Science and Technology 2015; 23(2).





การประชุมวิชาการระดับชาติ "วิทยาศาสตร์วิจัย" ครั้งที่ 7

PY-P-025

การเตรียมผงผลึก 0.7BT-0.3BNT โดยวิธีมิกซ์ออกไซด์ เทียบกับวิธีเกลือน恪омเหลว Preparations of 0.7BT-0.3BNT powders by mixed oxide method compared with molten salt method



หมายเหตุ: งานทุกชุด

‘ภาควิชาพิสิกส์ คณะวิทยาศาสตร์ มหาวิทยาลัยแม่ฟ้าหลวง จังหวัดเชียงใหม่ 65000’

‘สถาบันวิจัยเพื่อการเปลี่ยนพัฒนาวิชาการด้านพิสิกส์ประจำปี คณะวิทยาศาสตร์ มหาวิทยาลัยแม่ฟ้าหลวง จังหวัดเชียงใหม่ 65000’

บทคัดย่อ

ในงานนี้ได้ศึกษาการเตรียมผงผลึกแบบเที่ยมให้กับวิธีเกลือน恪омเหลว (0.7BaTiO₃-0.3Bi₆Na₃TiO₅; 0.7BT-0.3BNT) โดยวิธีมิกซ์ออกไซด์เที่ยบกับวิธีเกลือน恪омเหลว การใช้ปืนไอน้ำการเผาเผาในอุณหภูมิ 500-900 °C เป็นเวลา 2 ชั่วโมง ด้วยอัตราการให้ความร้อน 5 °C/min. ทดสอบโครงสร้างเฟสเดียวโดยการถ่ายร่องรอย (XRD) ผู้คนใช้อุณหภูมิที่เหมาะสมสำหรับการเผาผ่านกําริมของผงผลึก 0.7BT-0.3BNT ที่ศึกษาโดยวิธีมิกซ์ออกไซด์ และที่ศึกษาโดยวิธีเกลือน恪омเหลวที่อุณหภูมิ 900 °C และ 600 °C ความล่าสุด จะเป็นวิธีเกลือน恪омเหลวที่ใช้ลดอุณหภูมิในการเผาเผาลงได้ ตรวจสอบโครงสร้างของผลิตภัณฑ์ด้วยกล้องจุลทรรศน์แบบส่องกล้อง (SEM) นำเข้าไปตรวจขนาดของอนุภาค หน่วยอนุภาคของผงผลึก 0.7BT-0.3BNT ที่ศึกษาทั้งสองชนิดนี้ ผู้คนพบว่าเป็นอนุภาคเม็ดที่เข้มงวดที่สุดจากภาพที่ SEM พบว่าขนาดอนุภาคเพิ่บขึ้นของผงผลึก 0.7BT-0.3BNT ที่อุณหภูมิแกตต์ไว 600-900 °C อยู่ในช่วง 0.2-0.3 μm.

ภาษาตัวย่อ : ผงผลึก 0.7BaTiO₃-0.3Bi₆Na₃TiO₅ / วิธีมิกซ์ออกไซด์ / วิธีเกลือน恪омเหลว

Abstract

In this research, the preparation of barium titanate - bismuth sodium titanate (0.7BaTiO₃-0.3Bi₆Na₃TiO₅; 0.7BT-0.3BNT) powders by mixed oxide method compared with molten salt method were investigated. These powders were calcined at 500 – 900 °C for 2 h with heating rate of 5 °C/min. The phase structure was examined by x-ray diffraction (XRD). It was found that, the optimum calcination temperature of 0.7BT-0.3BNT powders prepared by mixed oxide method and molten salt method were found at 900 and 600 °C, respectively. It was clear that the molten salt method could be reduced calcination temperature. The microstructure was examined by scanning electron microscopy (SEM) and measurement the average particle sizes from SEM micrographs. The results showed that the particles of 0.7BT-0.3BNT powders with both methods are agglomerated. The average particle sizes of 0.7BT-0.3BNT powders at 600-900 °C were between 0.2 to 0.3 μm.

Keywords: 0.7BaTiO₃-0.3Bi₆Na₃TiO₅ powders/ mixed oxide method / molten salt method

*Corresponding author. E-mail : chompoonuchp@cmu.ac.th



บันทึกข้อความ

ส่วนราชการ สำนักงานเลขานุการบันทึกวิทยาลัย งานวิจัยและวิเทศสัมพันธ์ โทร.๘๘๗๕

ที่ ศธ ๐๔๗๗.๐๖/๒๖๒๖

วันที่ ๑๖ กรกฎาคม ๒๕๕๘

เรื่อง ตอบรับการตีพิมพ์บทความ

เรียน ผู้ช่วยศาสตราจารย์ ดร.ชนพูนช วงศ์ภานุกูล

ตามที่ท่านได้ส่งผลงานนิพนธ์เรื่อง “การลดอุณหภูมิในการเตรียมผงถั่วเชรามิก อ.ต-อ.ตNT” เพื่อขอลงตีพิมพ์ในวารสารมหาวิทยาลัยนเรศวร: วิทยาศาสตร์และเทคโนโลยี (Naresuan University Journal: Science and Technology) นั้น

ผลงานนิพนธ์ของท่านได้ผ่านการพิจารณาโดยผู้ทรงคุณวุฒิเรียบร้อยแล้ว และได้รับ การพิจารณาให้ลงตีพิมพ์ในวารสารมหาวิทยาลัยนเรศวร: วิทยาศาสตร์และเทคโนโลยี ปีที่ ๒๓ ฉบับที่ ๒ ประจำเดือนพฤษภาคม – สิงหาคม ๒๕๕๘ กลุ่มสาขาวิทยาศาสตร์และเทคโนโลยี หากดำเนินการดังรูปถ่ายตามแบบ ของการสารเรียบร้อยแล้ว จะจัดส่งให้ท่านตรวจสอบความถูกต้องของบทความอีกครั้ง ก่อนตีพิมพ์ต่อไป

จึงเรียนมาเพื่อโปรดทราบ

(รองศาสตราจารย์ ดร.สักดีชัย วิทยาภรณ์กุล)

รองคณบดีฝ่ายวิจัยและวิเทศสัมพันธ์ ปฏิบัติราชการแทน

คณบดีบัณฑิตวิทยาลัย


มหาวิทยาลัยมหิดล
RESEARCH & INNOVATION

จุฬน้อนวิทยาการและนวัตกรรมเพื่อสังคมฯ

มหาวิทยาลัยแม่ฟ้าหารี
จุฬาลงกรณ์มหาวิทยาลัย

“การลดอุณหภูมิในการเติร์ยมผงหลักเชโรบิก 0.7BT-0.3BNNT”
การประชุมวิชาการ “นวัตกรรมเพื่อสังคมฯ” ครั้งที่ ๑
Research & Innovation
22-23 กรกฎาคม ๒๕๕๘


ศ.ดร.ศรีนาวนะ ชินะ ศรีนิเวศน์ จันญายะ
รองศาสตราจารย์ ดร.สุรัตน์ จันญายะ



การลดอุณหภูมิในการเตรียมผงผลึกเซรามิก 0.7BT-0.3BNT

ឧមពុជ វរោកណាក្រល

Reducing temperature for preparation 0.7BT-0.3BNT ceramic powders

Chompoonuch Warangkanagool

ຄວາມສັບສົນທີ່ຈະໄດ້ຮັບອະນຸຍາກຕ່າງໆ ທີ່ມີຄວາມສັບສົນທີ່ສຳເນົາ

ส่วนวิสาหกิจชุมชนที่ได้รับการคุ้มครองคือสหกรณ์ประชาร์ท กลุ่มวิทยาศาสตร์ มหาวิทยาลัยนเรศวร จำนวนพี่น้อง ๔๕๐๐

Department of Physics, Faculty of Science, Naresuan University, Phitsanulok, 65000, Thailand

Research Center for Academic Excellent in Applied Physics, Faculty of Science, Naresuan University, Phitsanulok, 65000, Thailand

Corresponding author. E-mail address: chempeo@zjhu.edu.cn

หน้าที่

คำสำคัญ: (0.7)BaTiO₃-(0.3)Bi₂Na_{0.5}TiO₃, การเติร์ยงโดยวิธีมิกซ์อ็อกไซด์, การเติร์ยงโดยวิธีเกลือหกออกไซด์

Abstract

In the present study, the phase structure and microstructure of $(0.7)\text{BaTiO}_3-(0.3)\text{Bi}_{0.8}\text{Na}_{0.2}\text{TiO}_2$ or 0.7BT-0.3BNT ceramic powders prepared by mixed oxide and molten salt methods were investigated. Reagent grade BaCO_3 , TiO_2 , Bi_2O_3 , and Na_2CO_3 powders were used as starting materials. The mixture of these powders was ground for 24 hrs in ethanol using zirconia grinding media. The suspension was dried, sieved and subsequently calcined at 500–900°C for 2 hrs with heating rate of 5°C/min for both methods. The phase structure was examined by x-ray diffraction (XRD). It was found that the optimum calcination temperature of 0.7BT-0.3BNT ceramic powders prepared by mixed oxide method and molten salt method were found at 900 and 800 °C, respectively. It was clear that the molten salt method could reduce the calcination temperature. The microstructure was examined by scanning electron microscopy (SEM) and the average particle sizes was measured from SEM micrographs. The results showed that the particles of 0.7BT-0.3BNT powders with both methods were rounded and agglomerated. The average particle sizes of 0.7BT-0.3BNT powders at 600–900 °C were between 0.2 to 0.3 μm .

Keywords: (0.7)BaTiO₃-(0.3)Bi₂Na_{0.5}TiO₃, powder, Mixed oxide method, Molten salt method

၁၁၀

เป็นวัสดุที่ได้รับการคัดเลือกให้นำมาใช้แทนวัสดุที่มีโครงสร้างแบบเพอร์ฟไกต์ที่มีตัวถ่วงเป็นองค์ประกอบ

แบบเรียนภาษาเนต (BT) และบิสิมพ์ไซเดินภาษาเนต (BNT) เป็นวิถีสุดปราศจากภาระต้องก้าวสองชนิดที่น่าสนใจ

เนื่องจากสามารถลอกเลี่ยงผลพิษของตะกั่วในขั้นตอนการผลิตได้ BT เป็นวัสดุเพื่อประโยชน์ทางทักษะที่สำคัญที่สุด



โครงสร้างแบบเพอร์อฟส์ไกต์ มีสมบัติพิโซเล็กทริก และเพอร์โอะเล็กทริกที่ดี แต่มีอุณหภูมิครึ่งที่ต่ำกว่าประมาณ 120°C ตามด้วยการเปลี่ยนเฟสครั้งที่สองประมาณที่ อุณหภูมิ 5°C ซึ่งนำไปสู่การเสียร率ที่อุณหภูมิต่ำ (Miyake, & Ueda, 1984, p. 709; Merz, 1949, pp. 1221-1225; Moulson, & Herbert, 2003) การนำวัสดุเพอร์โอะเล็กทริก BT ที่ไม่มีตะกั่วเป็นองค์ประกอบมาใช้งานจึงจำเป็นต้องเพิ่มอุณหภูมิครึ่ง และเพื่อสนับสนุนอุณหภูมิในการเปลี่ยนเฟสครั้งที่สองให้สูงขึ้น ส่าหรับ BNT เป็นวัสดุเพอร์โอะเล็กทริกซึ่งมีอุณหภูมิครึ่งที่ต่ำกว่าของ BNT ประมาณ 320°C มีโพลาไรเซชันคงด้าวที่สูง 38 nC/cm² และมีสนามไฟฟ้าลับด้าว 73 kV/cm ณ อุณหภูมิห้อง (Smolenskii, Isupov, Agranovskaya, & Krasnitsk, 1961, pp. 2651-2654) อย่างไรก็ตาม การจัดเรียงชั้นใน BNT บริสุทธิ์นั้นทำได้ยาก เพราะมีค่าสกัดไฟฟ้าลับสูงมาก และสมบัติการนำไฟฟ้าล่อนช้าสูง การพัฒนาสมบัติด้านนี้จึงมีศักยภาพในการเติมสารประกอบของเหลวหลาย ๆ ประเภทเข้าไปใน BNT เช่นเดิน SiTiO₃ (Sakata, & Masuda, 1974, pp. 347-349) เติม La₂(TiO₃)₃ (Herabut, & Safar, 1997, pp. 2954-2958) เติม NaNbO₃ (Li, Feng, & Yao, 2004, pp. 1194-1198) หรือเติม BaTiO₃ (Takenaka, et al., 1991) ในระบบที่มี BNT เป็นองค์ประกอบพื้นฐาน จะมี (1-x)BNT-(x)BT มีรอยต่อเฟสสัณฐาน (MPB) ที่ x = 0.06-0.07 ซึ่งสารในระบบนี้จะแสดงสมบัติพิโซเล็กทริก และสมบัติให้อเล็กทริกที่โดดเด่น (Takenaka, Maruyama, & Sakata, 1991, pp. 2236-2239) จึงมีงานวิจัยจำนวนมากที่ถูกนำไปยังองค์ประกอบที่ใกล้ MPB (Takenaka, Huzumi, Hata, & Sakata, 1993, pp. 136-142; Hosono, Harada, & Yamashita, 2001, pp. 5722-5726; Chu, Chen, Li, & Yin, 2002, pp. 2115-2121; Li,

et al., 2004, pp. 5-9) มีงานวิจัยเพียงไม่กี่งานที่รายงานในช่วงที่ไม่ใกล้กับ MPB การเตรียมสารในระบบเดียวกับด้วยวิธีที่แตกต่างกันจะทำให้ได้สารที่มีสมบัติแตกต่างกัน ส่าหรับงานวิจัยนี้ได้ทำการเตรียมผงผลึกของเซรามิก 0.7BT-0.3BNT ด้วยวิธีมิกซ์ออกไซด์ และวิธีเกลือกอลомнเหลา เปรียบเทียบกัน เพื่อลดอุณหภูมิในการเผาแคลไชน์

วัสดุอุปกรณ์และวิธีการ

ผสมสารตั้งต้นโดยการนำสารตั้งต้นได้แก่ BaCO₃, TiO₂, Bi₂O₃, และ Na₂CO₃ โดยค่าน้ำวน และปั๊บชั่วโมง ตามปริมาณสารสัมพันธ์ นำไปบดผสมเป็นก้อนโดยใช้เจล นอลเป็นตัวกลาง นาน 24 ชั่วโมง จากนั้นทำแท่งและคัดขนาด นำผงผสมที่ได้แบ่งออกเป็น 2 ส่วน ส่วนแรกจะนำไปเผาแคลไชน์ที่อุณหภูมิ 500-900°C เป็นเวลา 2 ชั่วโมง ด้วยอัตราการให้ความร้อน 5°C/นาที เนยกาวาร์เตรียมด้วยวิธีมิกซ์ออกไซด์ ส่วนที่ 2 นำผงผสมที่ทำแท่งและคัดขนาดแล้วไปผสมกับผงกลีโคสม (ที่เตรียมโดยการบดผสม NaCl และ KCl ในสัดส่วน 1:1 โดยโนล ในครกหยก) จากนั้นบดผสมผงกลีโคและผงผสมสารตั้งต้นในสัดส่วน 1:1 โดยน้ำหนัก นำไปเผาแคลไชน์ด้วยอุ่นไขเดย์กันกับการเตรียมโดยวิธีมิกซ์ออกไซด์ หลังการเผาแคลไชน์ทำการแยกเกลือออกจากสารตัวการถังด้วยการรื้อเศษจากการเผาและล้างด้วยน้ำอ่อนๆ ที่สะอาดจากไอลอนจนคลอไรต์ไอออนหมดแล้วก็ให้แห้ง เนยกาวาร์เตรียมนี้ว่าการเตรียมโดยวิธีเกลือกอลомнเหลา นำผงผลึกเซรามิกที่เตรียมได้ทั้งสองวิธี ตรวจสอบโครงสร้างเฟสด้วยเทคนิคการเลี้ยวเบนของรังสีเอกซ์ (XRD) นำช้อมูลที่ได้ไปคำนวณหาค่าความบริสุทธิ์ของผงผลึกที่ได้โดยใช้สมการที่ (1) (Swart, & Shroud, 1982, pp. 1245-1250)

$$\text{ร้อยละความบริสุทธิ์ (\%)} = \frac{I_p}{(I_p + I_t)} \times 100 \quad (1)$$

โดยที่

I_p แทนค่าความเข้มสูงสุดของพีค X-ray ของเฟสหลัก

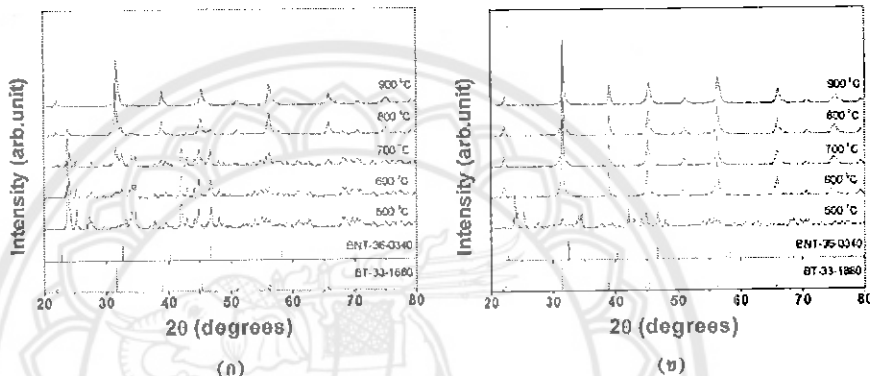
I_t แทนค่าความเข้มสูงสุดของพีค X-ray ของเฟสเปลกปลอก



ตรวจสอบลักษณะรูปร่าง หรือโครงสร้างจุลภาคด้วยกล้องจุลทรรศน์อิเล็กตรอนแบบส่องกราด (SEM) นำข้อมูลที่ได้จากการส่องกล้องจุลทรรศน์อิเล็กตรอนแบบส่องกราดมาคำนวณหาขนาดของอนุภาคเคลื่อนตัวโดยโปรแกรมอิมเมเนเจ

ผลการวิจัย และการอภิปรายผล

นำผงผลึก 0.7BT-0.3BNT ที่เตรียมโดยวิธีมิกซ์ออกไซด์ และวิธีเกลือหลomเหลว เผาแคลไชน์ที่อุณหภูมิ 500-900°C เป็นเวลา 2 ชั่วโมง นวิเคราะห์การก่อเกิดเฟสตัวยเทคนิคการเลี้ยงแบบวงรังสีเอกซ์ ได้ผลดังรูปที่ 1(ก) และ 1(ข) ตามลำดับ



รูปที่ 1 รูปแบบการเลี้ยงแบบวงรังสีเอกซ์ของผงผลึกเซรามิก 0.7BT-0.3BNT ที่เผาแคลไชน์ ณ อุณหภูมิ 500-900°C เป็นเวลา 2 ชั่วโมง ด้วยวิธีการเตรียม (ก) มิกซ์ออกไซด์ (ข) เกลือหลomเหลว

จากรูปที่ 1 จะเห็นได้ชัดว่า การเตรียมผงผลึกเซรามิก 0.7BT-0.3BNT ด้วยวิธีมิกซ์ออกไซด์ดามรูป (ก) นั้น ต้องใช้อุณหภูมิในการเผาแคลไชน์สูงถึง 900°C จึงจะทำให้ผงผลึกเซรามิกที่ได้มีความบริสุทธิ์ ในขณะที่การเตรียมผงผลึกเซรามิกนิดเดียว กันด้วยวิธีเกลือหลomเหลวตามรูป (ข) นั้น ใช้อุณหภูมิในการเผาแคลไชน์เพียง 600°C ก็ได้ผงผลึกเซรามิกที่บริสุทธิ์แล้ว จึงกล่าวได้ว่าเกลือผงสมที่ใส่ลงไปหน้าไปช่วยลดอุณหภูมิในการเผาแคลไชน์ หรือเกลือท่าน้ำที่เป็นพลักซ์ (flux) โดยเกลือผงสมที่ใส่ลงไปในผงสมนั้นมีจุดหลอมเหลวที่

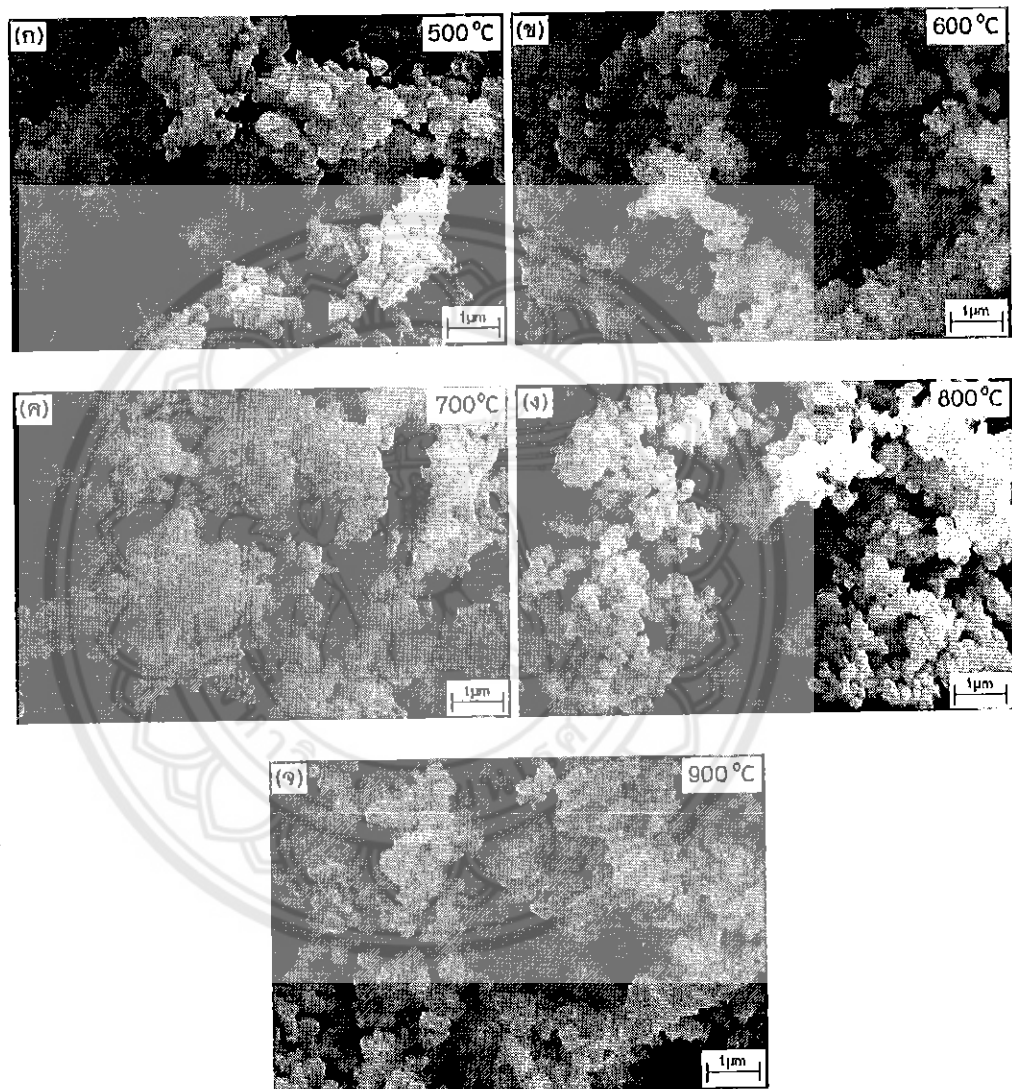
ต่ำกว่าผงสม 0.7BT-0.3BNT มาก เมื่อจะได้รับความร้อนจะทำให้เกลือเกิดการละลายกลายเป็นของเหลว และปลดปล่อยความร้อนให้แก่ผงสม 0.7BT-0.3BNT ทำให้ผงสมดังกล่าวได้รับความร้อนมากกว่าความร้อนที่ได้จากการเผาแคลไชน์ จึงทำให้ผงสม 0.7BT-0.3BNT มีความบริสุทธิ์โดยใช้อุณหภูมิแคลไชน์ต่ำกว่าวิธีมิกซ์ออกไซด์ ดังนั้นวิธีเกลือหลomเหลวนี้จึงช่วยประหยัดพลังงานในการเผาแคลไชน์ เมื่อค่ากอนหาความบริสุทธิ์ของผงผลึกเซรามิก 0.7BT-0.3BNT จากการเตรียมทั้งสองวิธี จะได้ร้อยละความบริสุทธิ์ ดังตารางที่ 1

ตารางที่ 1 ร้อยละความบริสุทธิ์ของผงผลึกเซรามิกที่เตรียมโดยวิธีมิกซ์ออกไซด์ เพื่อบันทึกวิธีเกลือหลomเหลว

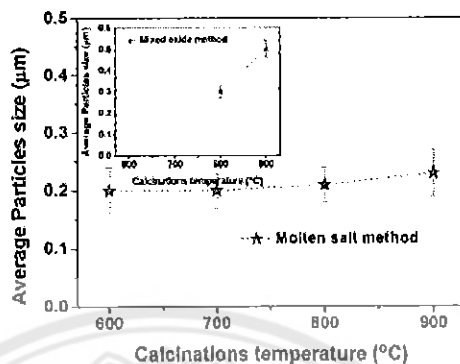
อุณหภูมิแคลไชน์ (°C)	ร้อยละความบริสุทธิ์ของผงผลึก 0.7BT-0.3BNT	
	วิธีมิกซ์ออกไซด์	วิธีเกลือหลomเหลว
500	7.32	8.54
600	9.69	100
700	20.82	100
800	51.69	100
900	100	100



4
นำผงผลึก $0.7\text{BT}-0.3\text{BNT}$ ที่เตรียมได้ทั้ง 2 วิธี มา จุลทรรศน์อิเล็กตรอนแบบส่องกราด (SEM) ได้ผลดัง
เผาขั้นต่ำขณะร้อน หรือโถงสร้างจุลภาคตัวยกด้อง รูปที่ 2 และรูปที่ 3



รูปที่ 2 ภาพด้วยตัวยกด้องจุลทรรศน์แบบส่องกราดของผงผลึกเซรามิก $0.7\text{BT}-0.3\text{BNT}$ ที่เผาเต็มไซน์ ณ อุณหภูมิ $500-900^\circ\text{C}$ เป็นเวลา 2 ชั่วโมง ด้วยวิธีการเติร์นแบบบีกซ์ออกไซด์



รูปที่ 4 ขนาดอนุภาคเดลี่ยของผงผลึกเซรามิก 0.7BT-0.3BNT ที่เผาแคลอไซน์ ณ อุณหภูมิ 500-900°C เป็นเวลา 2 ชั่วโมง ด้วยวิธีการเตรียมแบบเกลือห้อง窑แล้ว และในภาพเล็กเป็นวิธีการเตรียมแบบนิเกิลซ์ออกไซด์

วิจารณ์และสรุปผลการศึกษา

ผงผลึก 0.7BT-0.3BNT ที่เตรียมโดยวิธีเกลือห้อง窑แล้ว จะใช้อุณหภูมิการเผาแคลอไซน์ 600°C ต่ำกว่าที่เตรียมโดยวิธีนิเกิลซ์ออกไซด์ ประมาณ 300°C ลักษณะของผลึกที่ได้ทั้ง 2 วิธีมีรูปร่างค่อนข้างกลม แต่ขนาดอนุภาคเฉลี่ยของผงผลึก 0.7BT-0.3BNT ที่เตรียมโดยวิธีเกลือห้อง窑แล้วมีขนาดเฉลี่กกว่าอนุภาคเฉลี่ยของผงผลึกเดียวกันที่เตรียมโดยวิธีนิเกิลซ์ออกไซด์

กิตติกรรมประกาศ

ผู้ว่าจังหวัดคุณมหาวิทยาลัยนเรศวร ที่ได้อุดหนุนทุนวิจัย ปีงบประมาณ 2557 ขอพระคุณศาสตราจารย์เกียรติคุณ ดร. กว. ตันชมศิริ ภาควิชาฟิสิกส์และวัสดุศาสตร์ มหาวิทยาลัยเชียงใหม่ ที่อ่านวิทยานิพนธ์ใน การใช้อุปกรณ์ในห้องปฏิบัติการ และภาควิชาฟิสิกส์ มหาวิทยาลัยนเรศวร ที่อ่านวิทยานิพนธ์ในการใช้อุปกรณ์ในห้องปฏิบัติการ เช่นกัน

เอกสารอ้างอิง

- Chu, B. J., Chen, D. R., Li, G. R., & Yin, Q. R. (2002). Electrical properties of $\text{Na}_{1/2}\text{Bi}_{1/2}\text{TiO}_3-\text{BaTiO}_3$ ceramics. *Journal of the European Ceramic Society*, 22, 2115–2121.
- Herabet, A., & Safarri, A. (1997). Processing and electromechanical properties of $(\text{Bi}_{0.5}\text{Na}_{0.5})_{(1-x)}\text{La}_x\text{TiO}_3$ ceramics. *Journal of the American Ceramic Society*, 80(11), 2954–2958.
- Hosono, Y., Harada, K., & Yamashita, Y. (2001). Crystal growth and electrical properties of lead-free piezoelectric material $(\text{Na}_{1/2}\text{Bi}_{1/2})\text{TiO}_3-\text{BaTiO}_3$. *Japanese Journal Applied Physics*, 40(9B), 5722–5726.
- Li, H. D., Feng, C. D., & Yao, W. L. (2004). Some effects of different additives on dielectric and piezoelectric properties of $(\text{Bi}_{1/2}\text{Na}_{1/2})\text{TiO}_3-\text{BaTiO}_3$ morphotropic-phase-boundary composition. *Materials Letters*, 58, 1194–1198.
- Li, Y., Chen, W., Zhou, J., Xu, Q., Sun, H., & Xu, R. (2004). Dielectric and piezoelectric properties of lead-free $(\text{Na}_{0.5}\text{Bi}_{0.5})\text{TiO}_3-\text{NaNbO}_3$ ceramics. *Materials Science Engineering B*, 112, 5–9.
- Merz, W. J. (1949). The electric and optical behavior of BaTiO_3 single-domain crystals. *Physical Review*, 76, 1221–1225.



- Miyake, S., & Ueda, R. (1948). On transitional region in phase change of barium titanate. *Journal of Physical Society of Japan*, 6, 709.
- Moulson, A. J., & Herbert, J. M. (2003). *Electrocermics: Material, Properties and Applications* (2nd ed.). London: Chapman & Hall.
- Sakata, K., & Masuda, Y. (1974). Ferroelectric and antiferroelectric properties of $(\text{Bi}_{1/2}\text{Na}_{1/2})\text{TiO}_3 - \text{SrTiO}_3$ solid solution ceramics. *Ferroelectric*, 7, 347–349.
- Smolenskii, G. A., Isupov, V. A., Agranovskaya, A. I., & Krainik, N. N. (1961). New ferroelectrics of complex composition. *Soviet Physics – Solid State*, 2(11), 2651–2654.
- Swart, S. L., & Shrout, T. R. (1982). Fabrication of Perovskite Lead Magnesium Niobate. *Materials Research Bulletin*, 17, 1245–1250.
- Takenaka, T., Maruyama, K.-I., & Sakata, K. (1991). $\text{Na}_{1/2}\text{Bi}_{1/2}\text{TiO}_3$ system for lead-free piezoelectric ceramics. *Japanese Journal Applied Physics*, 30(9B), 2236–2239.
- Takenaka, T., Huzumi, A., Hata, T., & Sakata, K. (1993). Mechanical properties of $(\text{BiNa})1/2\text{TiO}_3$ -based piezoelectric ceramics. *Silicates Industriel*s, 7(8), 136–142.